

TÁBLÁK — TAFELN

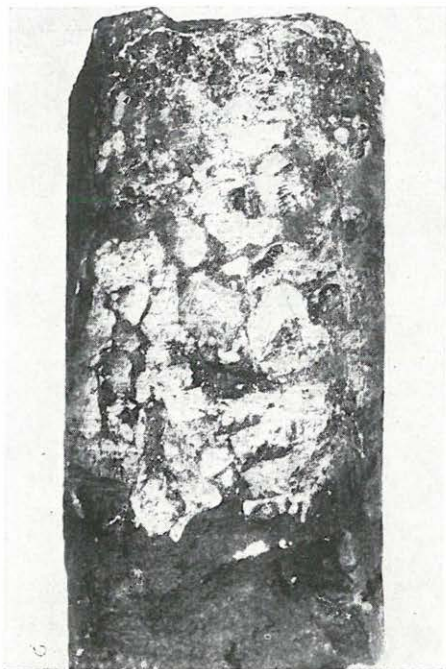
I. Tábla — Tafel I

1. Konglomerátum (P-26. sz. f. 1101,5—1102,7 m). 1/3
2. Az előbbi magminta másik oldala. 1/3
3. Mészőkavics szöveti képe (*Foraminifera* metszetével) (P-26. sz. f. 965,0—965,3 m).
|| Nic. 100×
4. Ooidos mészkőkavics (P-26. sz. f. 976,4—977,1 m). || Nic. 35×

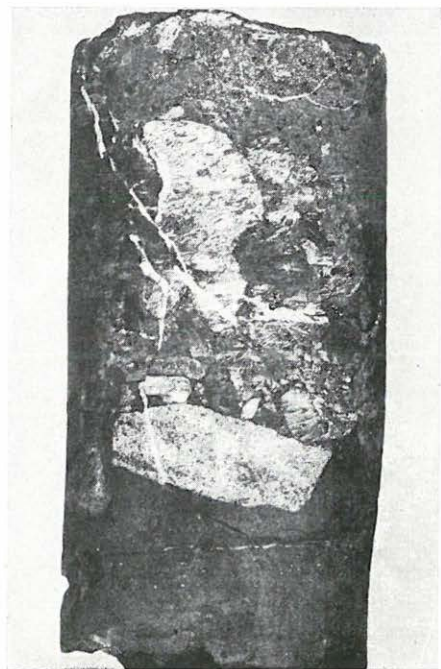
* * *

1. Konglomerat
2. Andere Seite der obigen Kernprobe
3. Texturbild eines Kalkschotters (mit einem Foraminiferen-Schnitt)
4. Ooidisches Kalkschotter

(Foto: 1—2. PELLÉRDYNÉ, 3—4. NOSKENÉ)



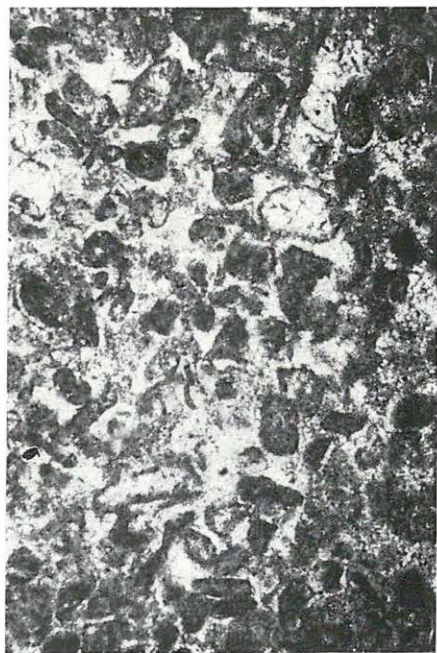
1



2



3



4

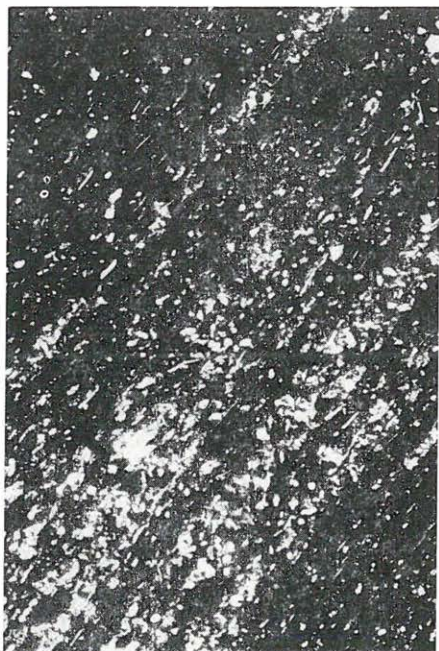
II. Tábla — Tafel II

1. Kőzetlisztes palás agyagkő (András-akna No. 203). || Nic. 36×
2. Lumasellaszerűen összehalmozott héjtörmelék márgában (P-28. sz. f. 262,6—264,0 m).
|| Nic. 35×
3. Gyűrődött szerkezetű aleurit *Molluscum* héjtöredékekkel (Komló, Zobák-akna No. 58).
+ Nic. 35×
4. Kalcidonosodott *Molluscum* héjmaradvány finom szemű homokkőben (Komló, Zobák-akna No. 86). + Nic. 35×

* * *

1. Schluffiger, schiefriger Tonstein
2. Lumaschellenartig zusammengehäufte Schalenrümmern in Mergel
3. Schluff gefalteter Struktur mit Schalenrümmern von Mollusken
4. Chalzedonisierte Schalenreste von Mollusken in feinkörnigem Sandstein

(Foto: 1. PELLÉRDYNÉ, 2—4. NOSKENÉ)



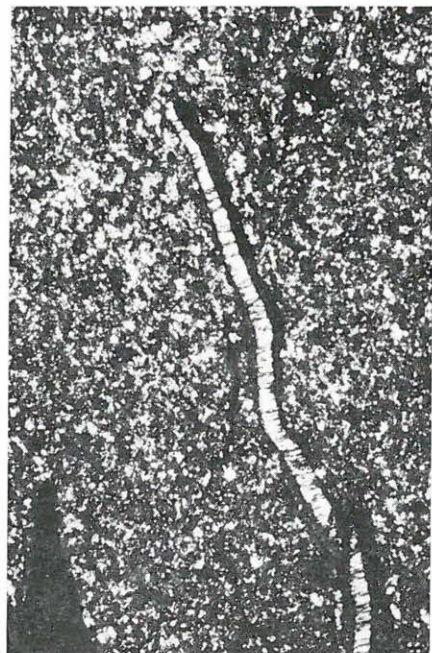
1



2



3



4

III. Tábla — Tafel III

1. Agyagásványosodott hajlított földpát (Komló, Zobák-akna No. 2). +Nic. 35×
2. Fonolit törmelék (Komló, Zobák-akna No. 43). +Nic. 35×
3. Rekrisztallizálódott kvare, erősen gyűrt kőszenes rétegek között (Komló, Zobák-akna No. 42). +Nic. 35×
4. Sziderites agyagkő (Komló, Zobák-akna No. 180). +Nic 35×

* * *

1. Tonmineralisierter, gekrümmter Feldspat
2. Phonolitrümmer
3. Rekristallisierter Quarz zwischen stark gefalteten Kohlenschichten
4. Sideritisierter Tonstein

(Foto: 1—4. NOSKENÉ)



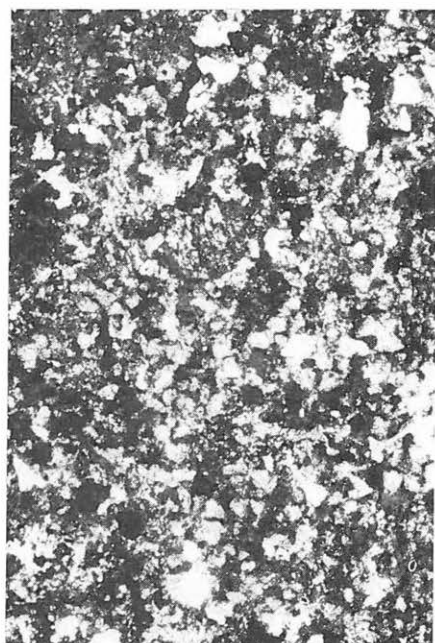
1



2



3



4

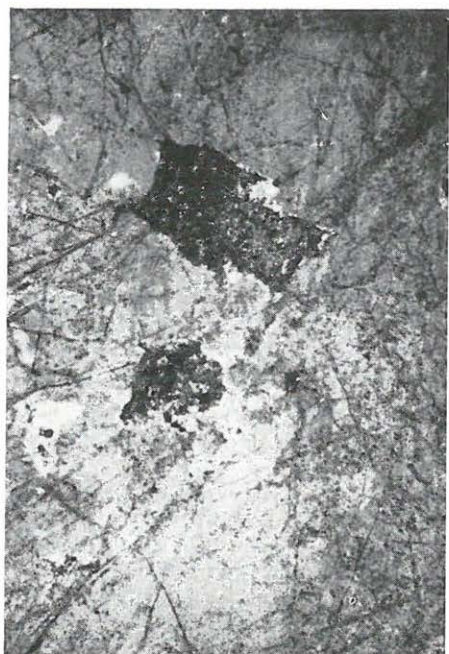
IV. Tábla — Tafel IV

1. Zárványokkal erősen telített kvarc (András-akna No. 201c., durva szemű homokkő). +Nic. 35×
2. Földpátzárvány kvarcban (Szászvár No. 34., kőzettörmelékes durva szemű homokkő). +Nic. 75×
3. Muszkovitzárvány kvarcban (András-akna No. 191., kőzettörmelékes durva szemű homokkő). +Nic. 35×
4. Füzérszerűen sorakozó gáz- és folyadékzárvány kvarcban (András-akna No. 40., kőzettörmelékes durva szemű homokkő). +Nic. 47×

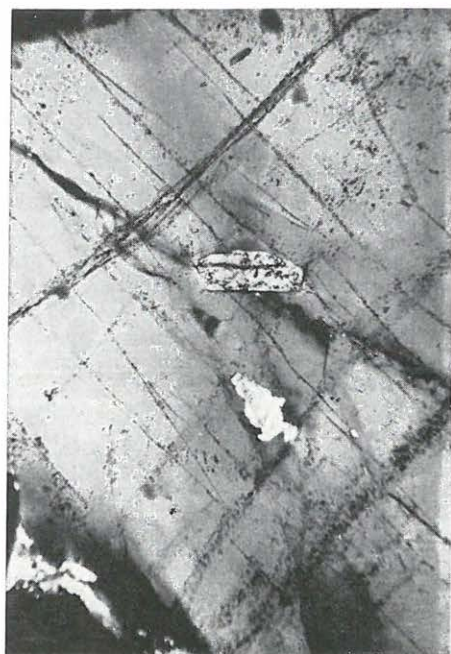
* * *

1. Durch Einschlüsse übersättigter Quarz (grobkörniger Sandstein)
2. Feldspateinschluss in Quarz (klastischer grobkörniger Sandstein)
3. Muskoviteinschluss in Quarz (klastischer grobkörniger Sandstein)
4. Girlandenartig angeordnete Gas- und Flüssigkeitseinschlüsse in Quarz (klastischer grobkörniger Sandstein)

(Foto: 1—4. NOSKENÉ)



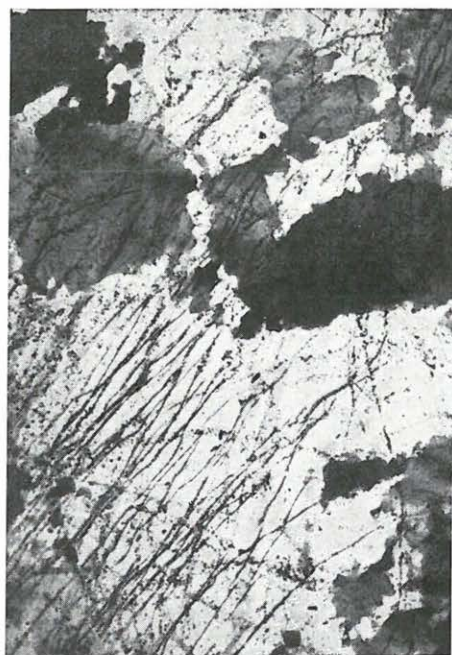
1



2



3



4

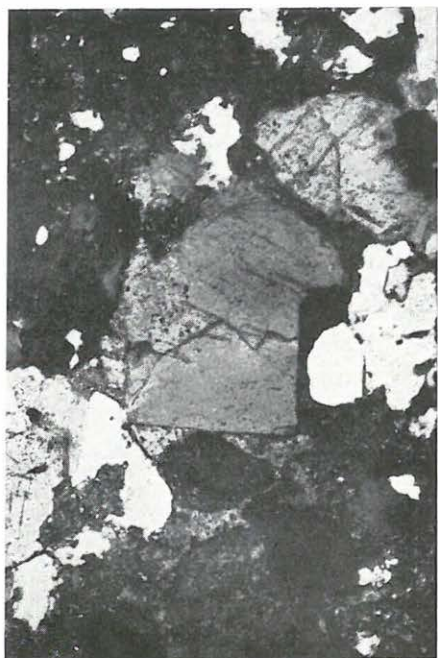
V. Tábla — Tafel V

1. Fogazott kvarcösszenövés (András-akna No. 12., durva szemű homokkő). + Nic. 47×
2. Sejtés kvarcsezemeschalmaz (András-akna No. 42., kőzettörmelékes durva szemű homokkő). + Nic. 47×
3. Kvarc-földpát tollszerű, mirmekites összenövése (András-akna No. 40., kőzettörmelékes, durva szemű homokkő). + Nic. 47×
4. Kvarc-földpát összenövés (P-28. sz. f. 47,4—48,3 m, középszemű homokkő). + Nic. 100×

* * *

1. Verzahnte Quarzverwachsung (grobkörniger Sandstein)
2. Zelliges Quarzaggregat (klastischer grobkörniger Sandstein)
3. Federartige Myrmekitverwachsung von Quarz und Feldspat (klastischer, grobkörniger Sandstein)
4. Quarz-Feldspatverwachsung (mittelkörniger Sandstein)

(Foto: 1—4. NOSKENÉ)



1



2



3



4

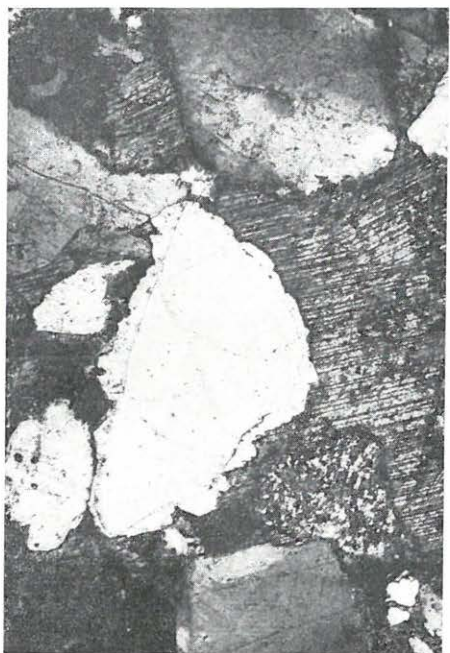
VI. Tábla — Tafel VI

1. A kőzettéválás során továbbnövekedett kvarc (András-akna No. 64., durva szemű homokkő). + Nic. 47×
2. Gázzárványra emlékeztető nagy zárványok kvarcban (Nagymányok, Újakna No. 21., apró szemű homokkő). + Nic. 195×
3. Csipkés körvonaltú oldott kvarczszemesék (András-akna No. 38., durva szemű homokkő). + Nic. 47×
4. Erősen oldott kvarcfelület (Nagymányok, Újakna No. 34., durva szemű homokkő). + Nic. 30×

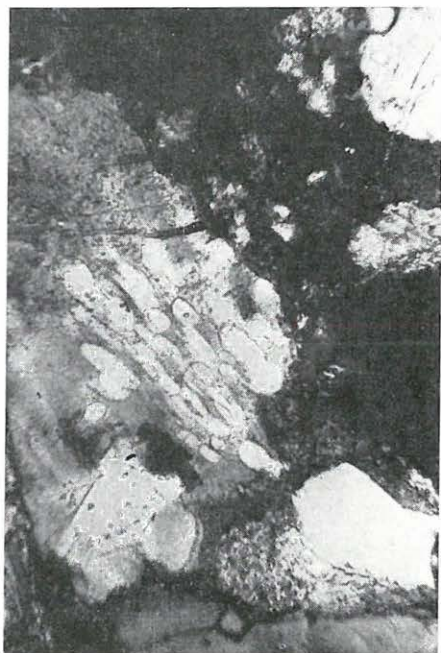
* * *

1. Bei der Diagenese weitergewachsener Quarz (grobkörniger Sandstein)
2. Gaseinschlüssen ähnliche, grosse Einschlüsse in Quarz (kleinkörniger Sandstein)
3. Aufgelöste Quarzkörner zackiger Kontur (grobkörniger Sandstein)
4. Stark aufgelöste Quarzoberfläche (grobkörniger Sandstein)

(Foto: 1—4. NOSKENÉ)



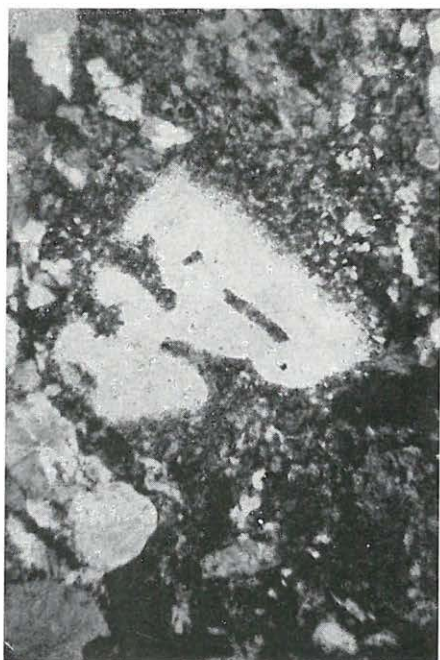
1



2



3



4

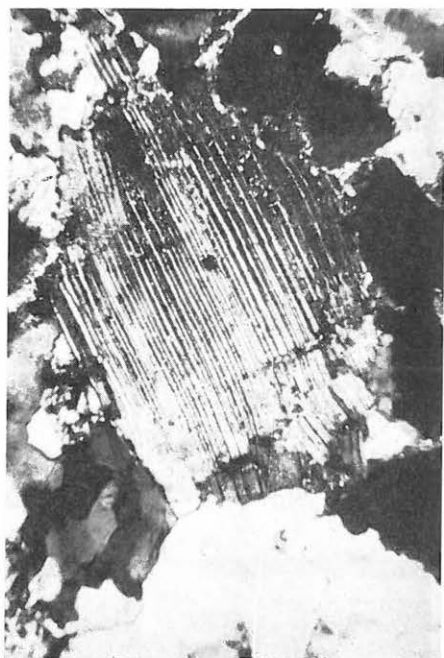
VII. Tábla — Tafel VII

1. Sűrűn ikerlemezes savanyú plagioklász (Szászvár No. 35., durva szemű homokkő).
+ Nic. 75×
2. Hajlított plagioklász (András-akna No. 17., közettörmelékes durva szemű homokkő).
+ Nic. 47×
3. Töréssel elmozdított plagioklász (András-akna No. 9., durva szemű homokkő). + Nic.
36×
4. Szericitesedő mikroklin (Szászvár No. 32., közettörmelékes durva szemű homokkő).
+ Nic. 75×

* * *

1. Sauer Plagioklas mit dichten Zwillingslamellen (grobkörniger Sandstein)
2. Gekrümmter Plagioklas (klastischer, grobkörniger Sandstein)
3. Durch Verwerfung verschobener Plagioklas (grobkörniger Sandstein)
4. Serizitisierter Mikroklin (klastischer, grobkörniger Sandstein)

(Foto: 1., 2., 4. NOSKENÉ, 3. PELLÉRDYNÉ)



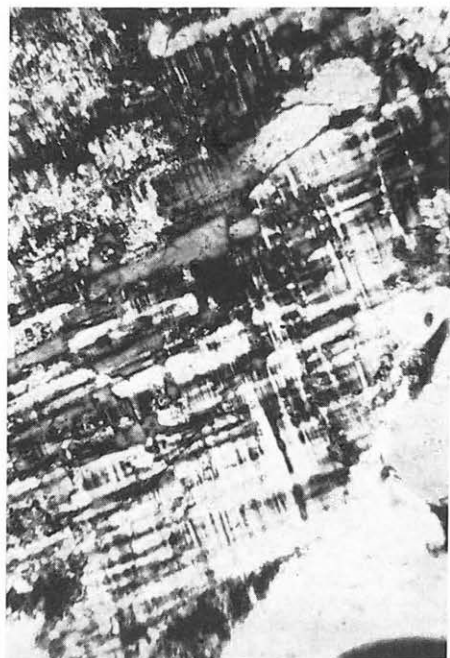
1



2



3



4

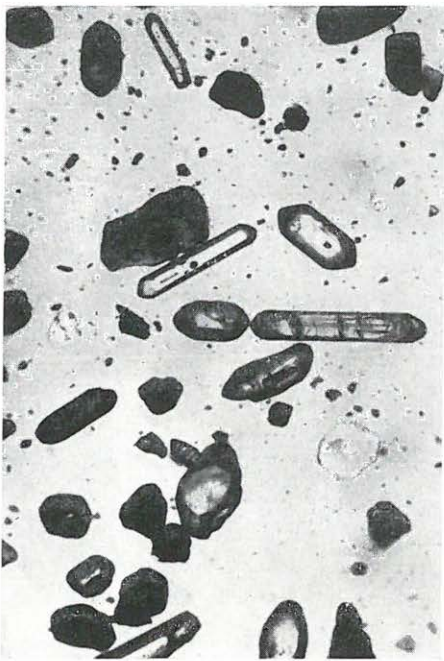
VIII. Tábla — Tafel VIII

1. Üde cirkon és rutilkristályok (P-26. sz. f. 571,7—574,2 m, ankerites apró szemű homokkő). || Nic. 100×
2. Homokkő lazításával kapott erősen koptatott nehézásványok (cirkon, rutil, pirit stb.) (P-26. sz. f. 571,7—574,2 m, ankerites apró szemű homokkő). || Nic. 100×
3. Szericites kvarcitpala töredék (András-akna No. 42., közettörmelékes durva szemű homokkő). + Nic. 47×
4. Gránitzemese (P-28. sz. f. 14,5—16,8 m, meszes középszemű homokkő). + Nic. 100×

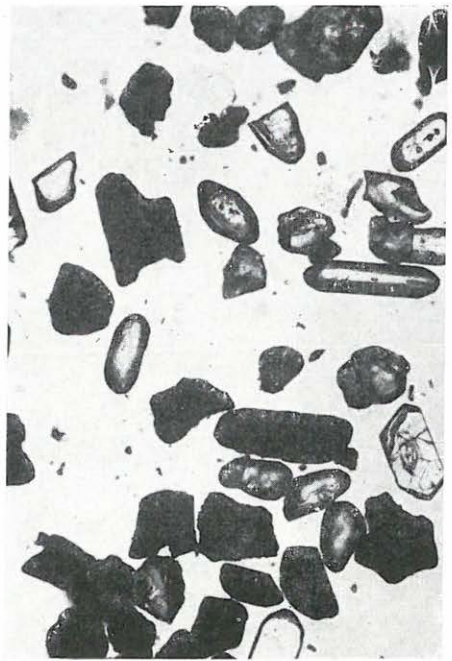
* * *

1. Frische Zirkon- und Rutilkristalle (ankeritisierter feinkörniger Sandstein)
2. Stark abgerollte Schwerminerale, entstanden durch Auflockerung von Sandstein (Zirkon, Rutil, Pyrit, usw.) (ankeritisierter, feinkörniger Sandstein)
3. Serizitisierte Quarzschiefertrümmer (klastischer, grobkörniger Sandstein)
4. Granitkorn (kalkiger, mittelkörniger Sandstein)

(Foto: 1—4. NOSKENÉ)



1



2



3



4

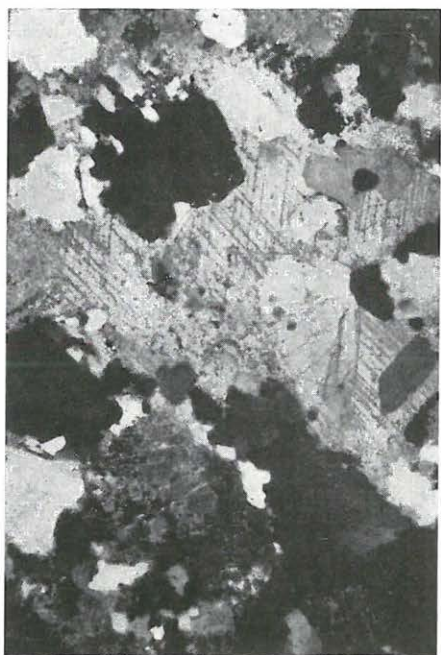
IX. Tábla — Tafel IX

1. Nyomási ikerlemezes, bőséges kalcit-kötőanyag (András-akna No. 64., durva szemű homokkő). + Nic. 40×
2. Aprózemesés kalcit-kötőanyag és sűrűn elhelyezkedő epigén kalcitérhálózat homokkőben (P-26. sz. f. 1199,5—1200,0 m). + Nic. 100×
3. Szideritkristálykák agyagvaskőben (András-akna No. 14.). || Nic. 250×
4. Szferosziderit (András-akna No. 65., kőzetlisztes agyagkő). || Nic. 100×

* * *

1. Reiches Kalzitbindemittel mit auf Druck entstandenen Zwillingslamellen (grobkörniger Sandstein)
2. Kleinkörniges Kalzitbindemittel und Netzdichter epigenetischer Kalzitadern in Sandstein
3. Sideritkristalle in Toneisenstein
4. Sphärosiderit (schluffiger Tonstein)

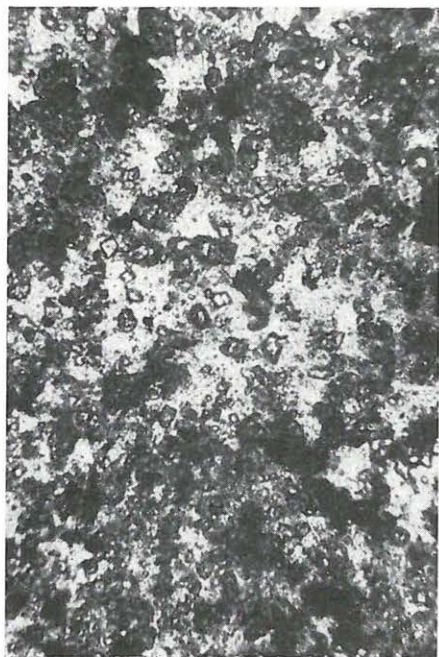
(Foto: 1—4. NOSKENÉ)



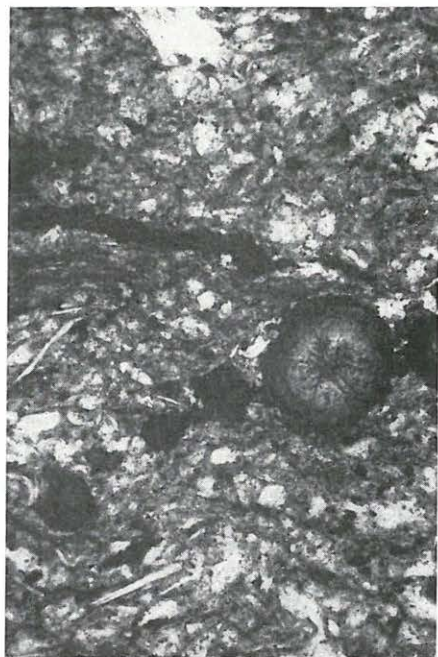
1



2



3



4

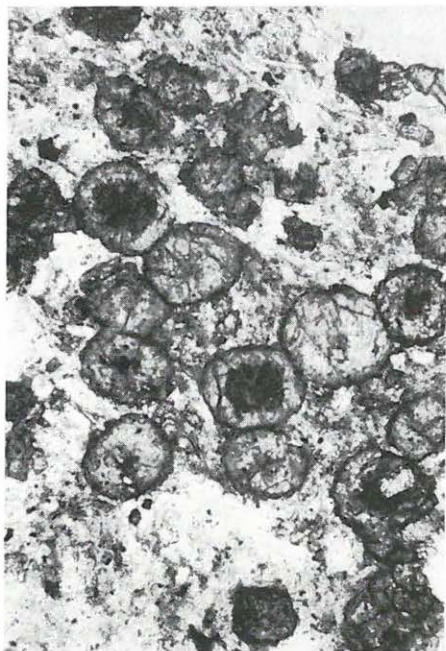
X. Tábla — Tafel X

1. Sziderit-szferolitek agyagkőben (P-28. sz. f. 28,5--30,4 m). || Nic. 100×
2. Szferolitek agyagvaskőben (Szászvár No. 82.). || Nic. 75×
3. Aprógömbös pirithalmaz (András-akna No. 226., kőzetlisztes agyagmárga). || Nic. 36×
4. Csillagszerű gipsz kristály-csoport (Nagymányok, Újakna No. 85., kőzetlisztes agyagkő). + Nic. 75×

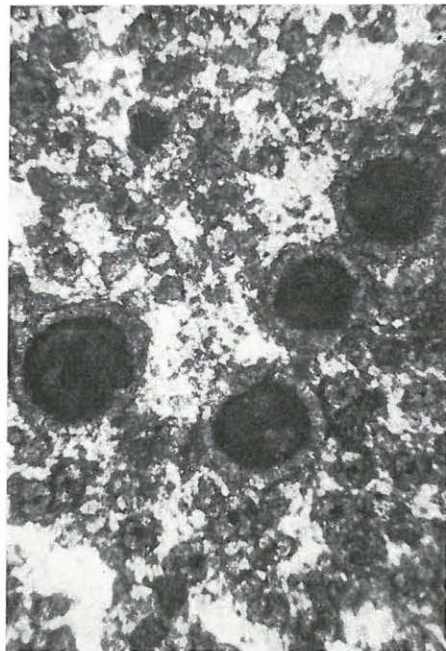
* * *

1. Sideritsphärolite in Tonstein
2. Sphärolite in Toneisenstein
3. Aggregat von Pyritkugeln (schluffiger Tonmergel)
4. Sternförmiges Gypskristallaggregat (schluffiger Tonstein)

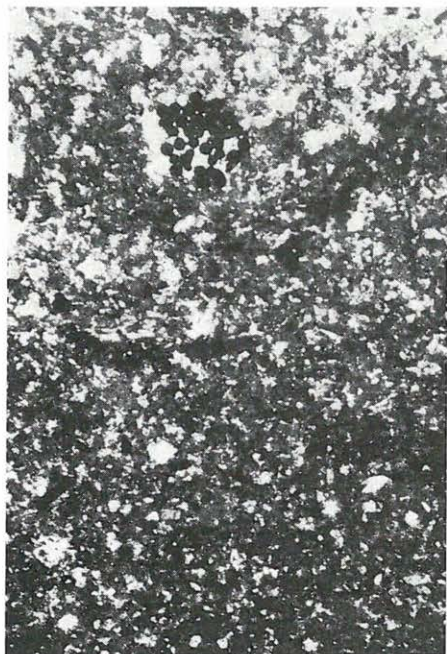
(Foto: 1., 2., 4. NOSKENÉ, 3. PELLÉRDYNÉ)



1



2



3



4

XI. Tábla — Tafel XI

1. Albitosodó földpát, tufitból (Pécs, István-akna III. szint, 2. K-i keresztvágat). + Nic. 75×
2. Ikerlemezes és albitosodó földpátok, tufitból (Pécs, István-akna, táróművelés). + Nic. 195×
3. Karbonátosodó földpát, tufitból (Pécs, István-akna III. szint, 2. K-i keresztvágat). + Nic. 195×
4. Albitosodó földpátrészlet, tufitból (Pécs, István-akna, táróművelés). + Nic. 75×

* * *

1. Feldspat aus Tuffit in Albitisierung begriffen
2. Zwillinglamellierte und albitisierende Feldspäte aus Tuffit
3. Feldspat aus Tuffit, in Karbonatisierung begriffen
4. Detail von Feldspat aus Tuffit in Albitisierung begriffen

(Foto: 1—4. NOSKENÉ)



1



2



3



4

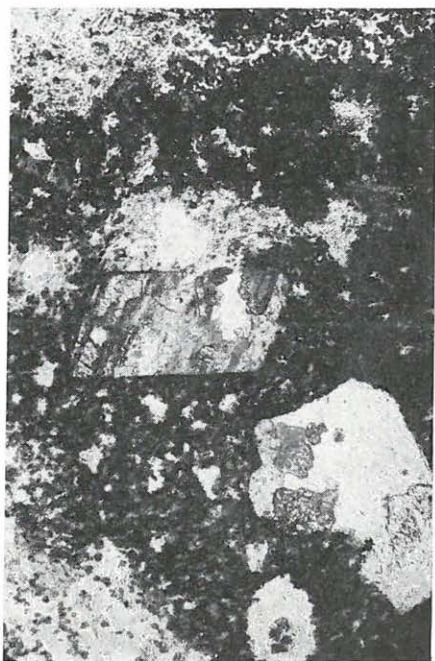
XII. Tábla — Tafel XII

1. Karbonát pszeudomorfóza földpát után, tuffitban (Rücker 14/a sz. f. 781,6—782,6 m). || Nic. 85×
2. Szericites földpátbomlás, tuffitban (Rücker 14/a sz. f. 947,9—951,1 m). || Nic. 85×
3. Kvarcsezemese agyagos alapanyagban, tuffitból (Rücker 14/a sz. f. 947,9—951,1 m). +Nic. 32×
4. Kvarcsezemesék a tuffitban (Pécs 30. sz. f. 977,0—978,4 m). +Nic. 32×

* * *

1. Karbonatpseudomorphose nach Feldspat in Tuffit
2. Serizitische Feldspatzersetzung in Tuffit
3. Quarzkörner in toniger Grundmasse, aus Tuffit
4. Quarzkörner in Tuffit

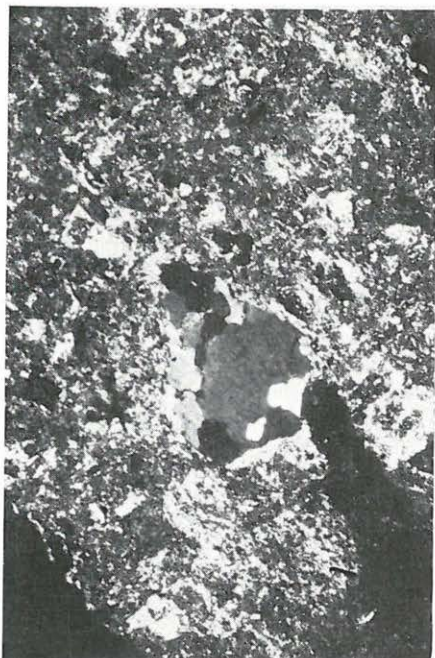
(Foto: 1—4. NOSKENÉ)



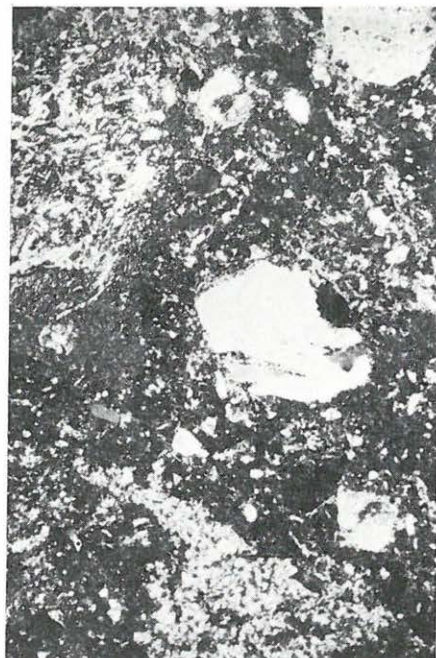
1



2



3



4

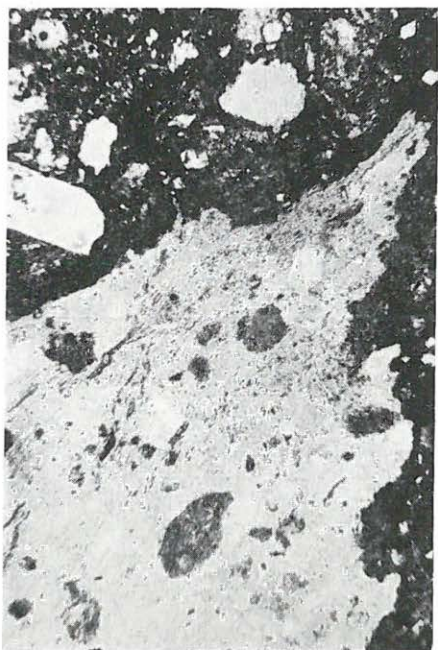
XIII. Tábla — Tafel XIII

1. Agyagásványosodott lávafosztlány, tuffitban (Pécs, István-akna, táróművelés). || Nic. 30×
2. Lávafosztlány földpátzárványokkal, tuffitban (Rücker 14/a sz. f. 780,5—781,6 m). || Nic. 32×
3. Rekrisztallizálódott üveganyagú lávadarab részlete földpátzárványokkal, tuffitból (Rücker 14/a sz. f. 947,9—951,1 m). || Nic. 32×
4. Karbonátszemcsés lávafosztlány, földpátzárvánnyal (Rücker 14/a sz. f. 780,5—781,6 m, tuffit). || Nic. 32×

* * *

1. Tonmineralisierte Lavafetzen in Tuffit
2. Lavafetzen mit Feldspateinschlüssen in Tuffit
3. Lavateil aus rekristallisiertem Glasmaterial mit Feldspateinschlüssen, aus Tuffit
4. Karbonatkörniger Lavafetzen mit Feldspateinschlüssen

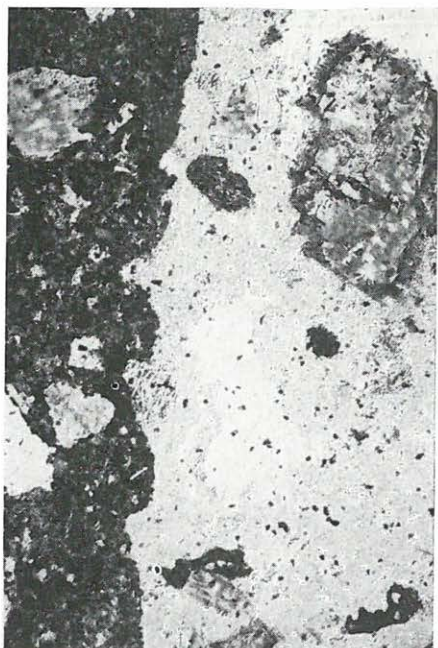
(Foto: 1—4. NOSKENÉ)



1



2



3



4

XIV. Tábla — Tafel XIV

1. Nagy lávadarab részlete földpátokkal (Rücker 14/a sz. f. 780,5—781,6 m, tufit). || Nic.
32×
2. Ua. + Nic.
3. Rekrisztallizálódott lávafoszlány (Rücker 14/a sz. f. 780,5—781,6 m, tufit). || Nic.
32×
4. Ua. + Nic.

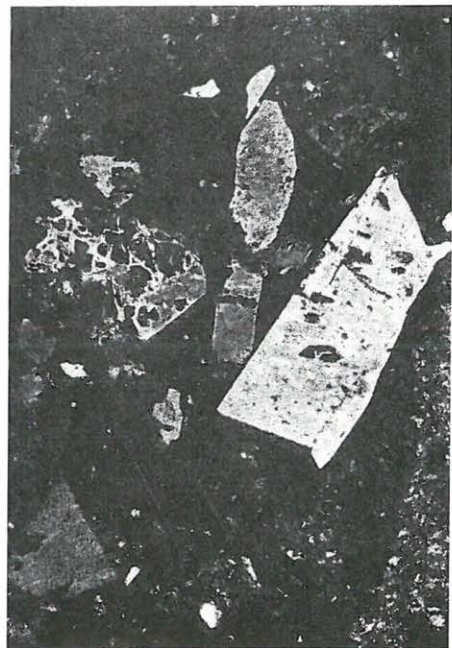
* * *

1. Detail eines grossen Lavabruchstückes mit Feldspäten
2. D. s.
3. Rekrystallisierte Lavafetzen
4. D. s.

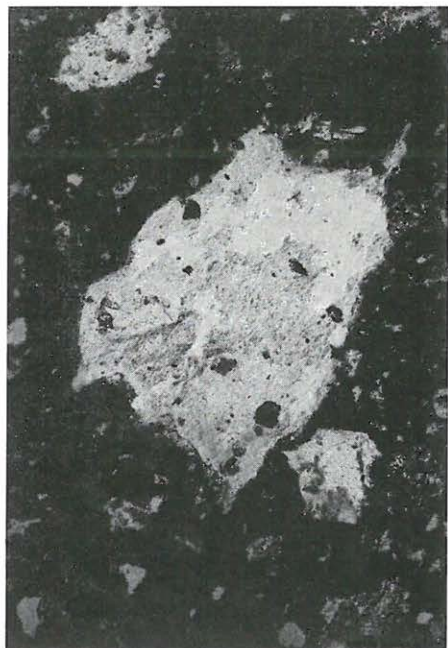
(Foto: 1—4. NOSKENÉ)



1



2



3



4

XV. Tábla — Tafel XV

1. Karbonátosodó lávafosztlány (Rücker 14/a sz. f. 780,5—781,6 m, tufit). || Nic. 32×
2. Ua. + Nic.
3. Karbonátosodó, gyengén rekrisztallizálódott lávafosztlány (Rücker 14/a sz. f. 781,6—782,6 m, tufit). || Nic. 32×
4. Ua. + Nic.

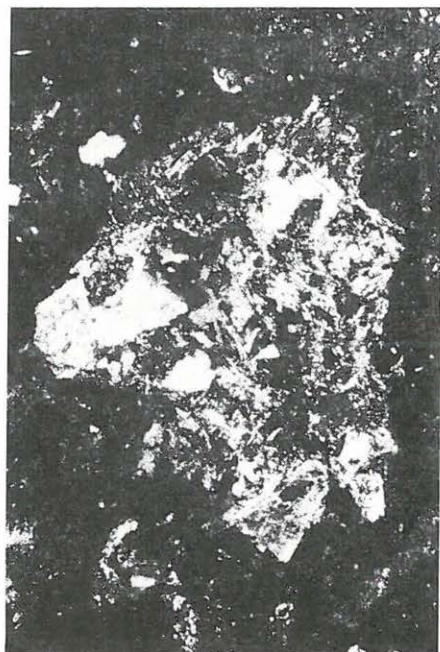
* * *

1. Lavafetzen in Karbonatisierung begriffen
2. D. s.
3. Leicht rekristallisierter Lavafetzen, in Karbonatisierung begriffen (Tuffit)
4. D. s.

(Foto: 1—4. NOSKENÉ)



1



2



3



4

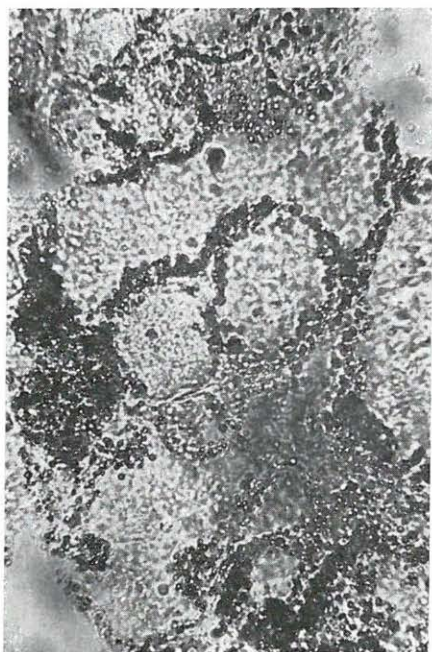
XVI. Tábla — Tafel XVI

1. Tuffitból származó üveganyagú lávafoszlány erősen nagyított képe, aprószemesés karbonátkiválással, amely többnyire követi az üveg hólyagszerkezetének vonalait (Pécs, István-akna III. szint, 2. K-i keresztvágat). || Nic. 480×
2. Hólyagszerkezetű üveges lávadarab, tuffitból (Pécs, István-akna III. szint, 2. K-i keresztvágat). || Nic. 480×
3. Hólyagos üveg, szénült szervesanyag zárvánnyal, tuffitból (Pécs, István-akna III. szint, 2. K-i keresztvágat). || Nic. 195×
4. „Combesont” alakú rekrisztallizálódott vulkáni üveganyag, tuffitból (Rücker 14/a sz. f. 780,5—781,6 m). || Nic. 85×

* * *

1. Stark vergrößertes Bild eines, aus Tuffit stammenden Lavafetzen von Glasmaterial, mit kleinkörniger Karbonatausscheidung, meist an die Linien der Glasblasenstruktur gebunden
2. Glasiges Lavastück von Blasenstruktur aus Tuffit
3. Blasiges Glas mit Einschluss von inkohltem, organischem Material, aus Tuffit
4. „Schenkelbein förmiges“ rekristallisiertes vulkanisches Glas aus Tuffit

(Foto: 1—4. NOSKENÉ)



1



2



3



4

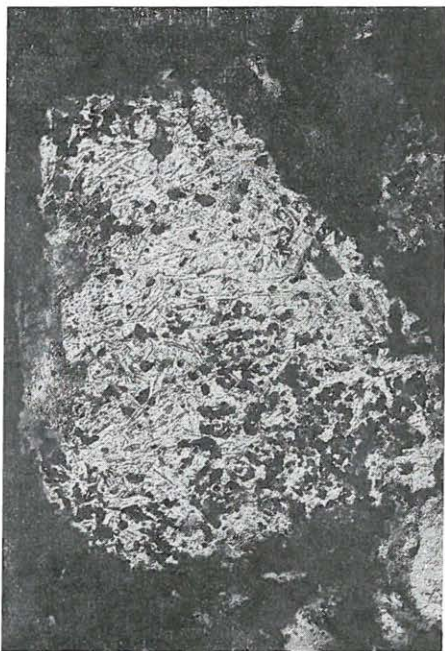
XVII. Tábla — Tafel XVII

1. Bosztonit (?) gyengén karbonátosodva, tufitból (Rücker 14/a sz. f. 780,5—781,6 m).
|| Nic. 85×
2. Ua. + Nic.
3. Lávafozlányba zárt bosztonit, tufitból (Rücker 14. sz. f. 780,5—781,6 m). || Nic.
32×
4. Ua. + Nic.

* * *

1. Schwach karbonatisierter Bostonit (?) aus Tuffit
2. D. s.
3. Im Lavafetzen eingeschlossener Bostonit aus Tuffit
4. D. s.

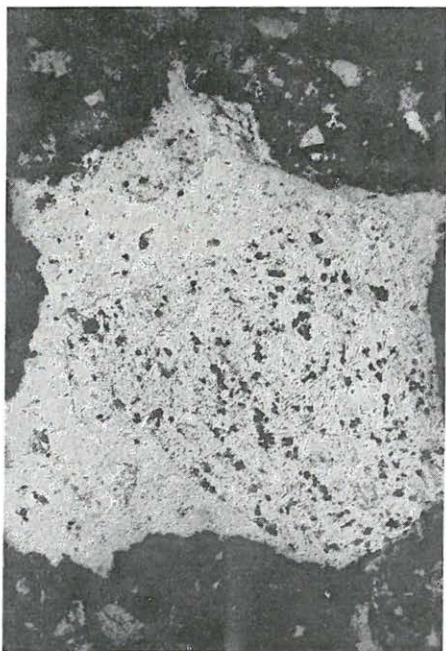
(Foto: 1—4. NOSKENÉ)



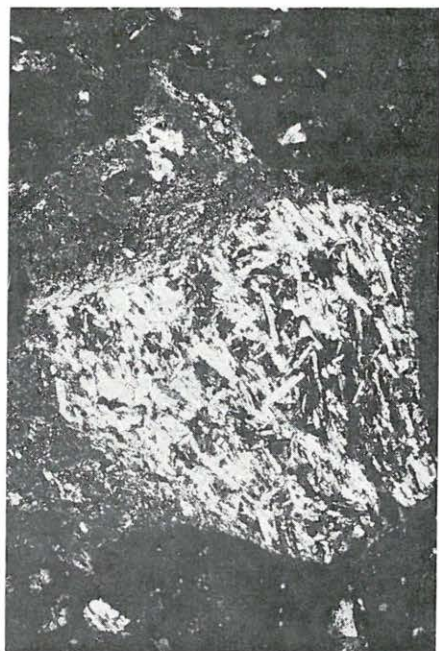
1



2



3



4

XVIII. Tábla — Tafel XVIII

- 1—2. Bosztonittörmelék (?) részlete, tufitból (Szászvár, III. mélyszint Ny-i fővágat).
+ Nic. 75×
3. Különleges alakú, növényi eredetre utaló karbonátanyagú képződmény, rekrisztallizálódott kovagél anyaggal kitöltve, tufitból (Rücker 14. sz. f. 947,9—951,1 m).
|| Nic. 32×
4. Mirmekites szövetű törmelék, tufitból (Rücker 14. sz. f. 780,5—781,6 m). + Nic. 85×

* * *

- 1—2. Teil von Bostonittrümmer (?) aus Tuffit
3. Eine aus Karbonat bestehende, auf pflanzliche Herkunft hinweisende Bildung besonderer Form, ausgefüllt mit rekrystallisiertem Kiesgelmateriale, aus Tuffit
4. Trümmer von Myrmekittextur aus Tuffit

(Foto: 1—4. NOSKENÉ)



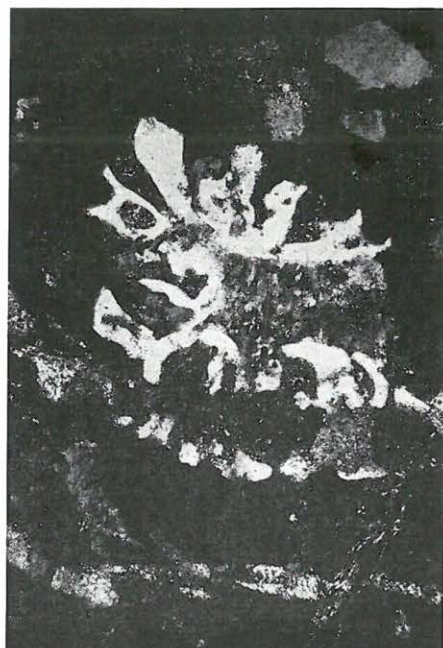
1



2



3



4

XIX. Tábla — Tafel XIX

1. Szénült növényi rész agyagásványos környezetben, tufitból (Rücker 14. sz. f. 947,9–951,1 m). || Nic. 85×
2. Növénymaradvány szenesedett sejtfalakkal, gyengén kettőtörő, kristályosodó kovával kitöltve, tufitból (Rücker 14. sz. f. 780,5–781,6 m). || Nic. 85×
3. Szénült növényi rész és dús piritkiválás karbonátos alanyagban, tufitból (Szászvár, III. mélyszint, Ny-i fővágat). || Nic. 75×
4. Erősen piritesedett karbonátos alanyag és porfiroz földpát, tufitban (Szászvár, III. mélyszint, Ny-i fővágat). || Nic. 75×

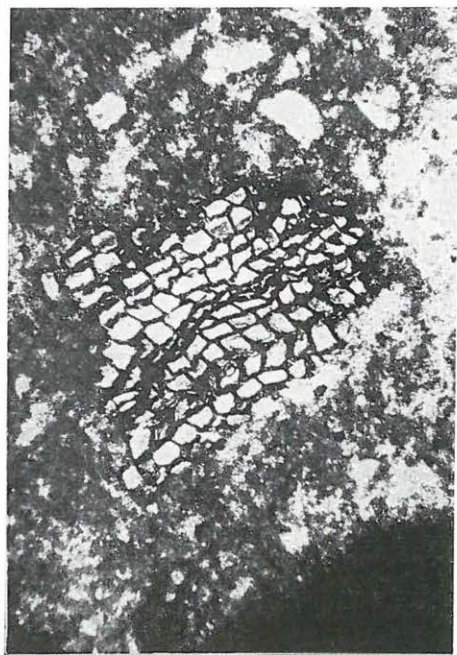
* * *

1. Verkohlter Pflanzenteil, durch Tonmineralien umgeben aus Tuffit
2. Pflanzenrest mit verkohlten Zellwänden, ausgefüllt mit leicht birefringentem Kiesel in Kristallisierung begriffen, aus Tuffit
3. Verkohlter Pflanzenteil und reiche Pyritausscheidung in karbonatischer Grundmasse, aus Tuffit
4. Stark pyritisierte, karbonatische Grundmasse und porphyrischer Feldspat in Tuffit

(Foto: 1–4. NOSKENÉ)



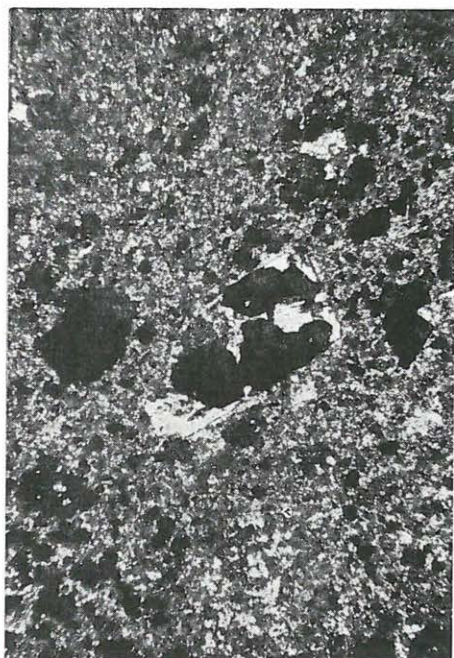
1



2



3



4

1. Tábla — Tafel 1*

Telinitek, xilovitritek

1. Nagymányok 17. minta, telinit
2. Zobák 210/a 3. minta, telinit hőbomlás-jelenségekkel
3. Zobák 7. telep alsó pad 10. minta, túlevelű xilovitrit, kevés rezinittel
4. Nagymányok 27. minta, rezinites túlevelű Xilovitrit
5. Zobák 10. telep 5. minta, xilovitrit
6. Zobák 7. telep alsó pad 1. minta, rezinites Xilovitrit

°

* * *

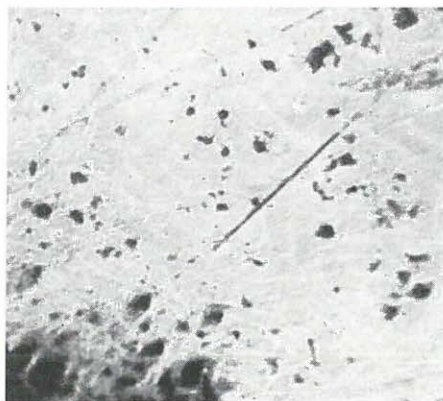
Telinite, Xylovitrite

1. Telinit
2. Telinit mit thermischen Zersetzungerscheinungen
3. aus Nadelbaum entstandener Xylovitrit mit wenig Resinit
4. aus Nadelbaum entstandener resinitreicher Xylovitrit
5. Xylovitrit
6. resinitreicher Xylovitrit

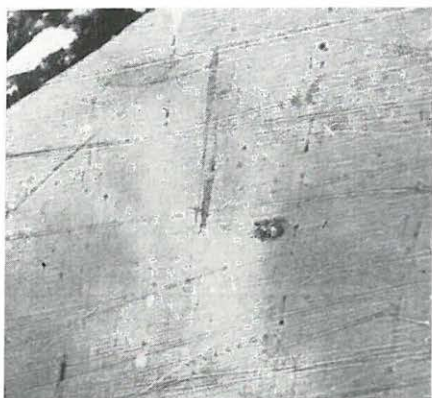
* A mikroszkópi fényképfelvételek (1–80. tábla) kevés kivétellel olajimmerziós objektívvel készültek. Lineáris nagyításuk 330×-os. Az ettől eltérő nagyítást és száraz objektív alkalmazását adott esetben a szövegben megemlítjük. — Die Mikrophotographien (Taf. 1–80) wurden mit weniger Ausnahme mit einem Objektiv in Ölimmersions verfertigt. Die lineare Vergrößerung ist 330×. Die davon abweichenden Vergrößerung oder die Anwendung von Trockenobjektiv wird jeweils im Text erwähnt.



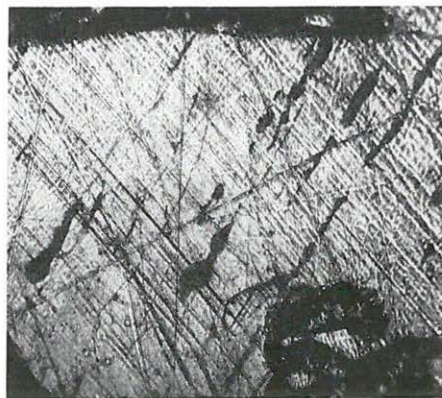
1



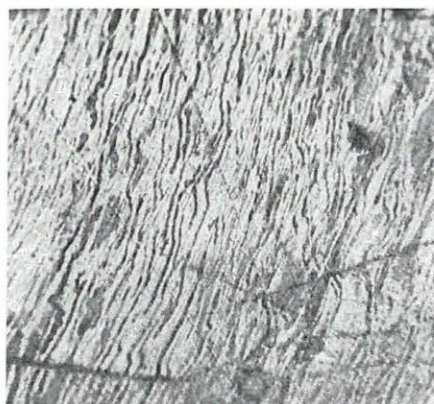
2



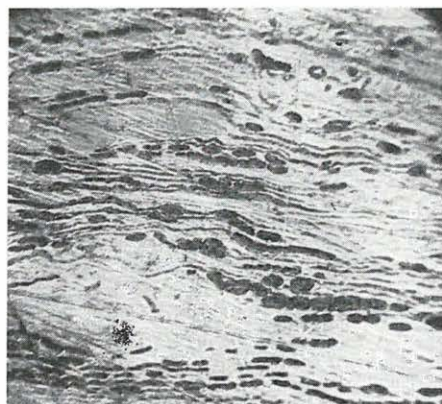
3



4



5



6

2. Tábla — Tafel 2*Teliniték, xilovitriték*

1. Zobák 10. telep 11. minta, dúsan rezinites túlevelű xilovitrit keresztmetszete
2. Zobák 10. telep 5. minta, rezinites xilovitrit ferde metszete
3. Zobák 10. telep 5. minta, túlevelű xilovitrit hosszmetszete
4. Zobák 10. telep 15. minta, sávós, rezinites xilovitrit
5. Zobák 10. telep 39. minta, rezinites telinit
6. Zobák 10. telep 5. minta, rezinites xilovitrit

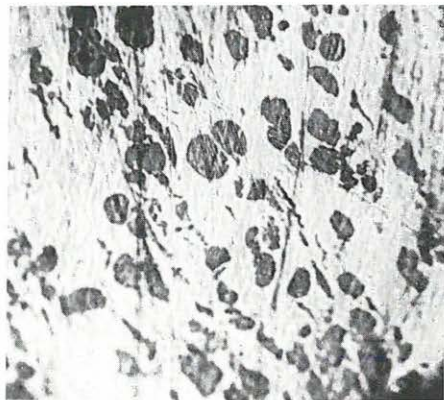
* * *

Telinite, Xylovitrite

1. resinitreicher Nadelholz-Xylovitrit, Horizontalschnitt
2. resinitreicher Xylovitrit, Querschnitt
3. Nadelholz-Xylovitrit, Längsschnitt
4. gestreifter, resinitreicher Xylovitrit
5. resinitreicher Telinit
6. resinitreicher Xylovitrit



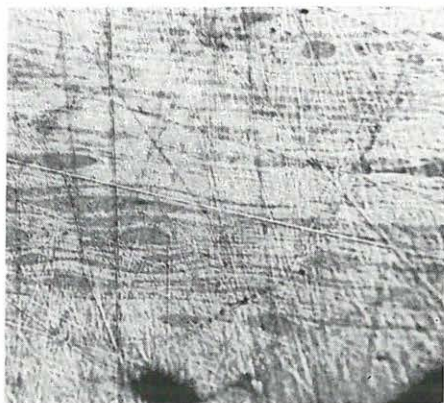
1



2



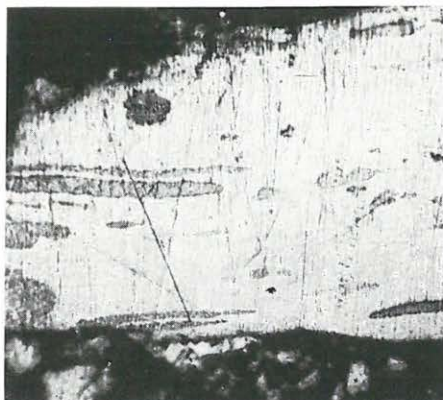
3



4



5



6

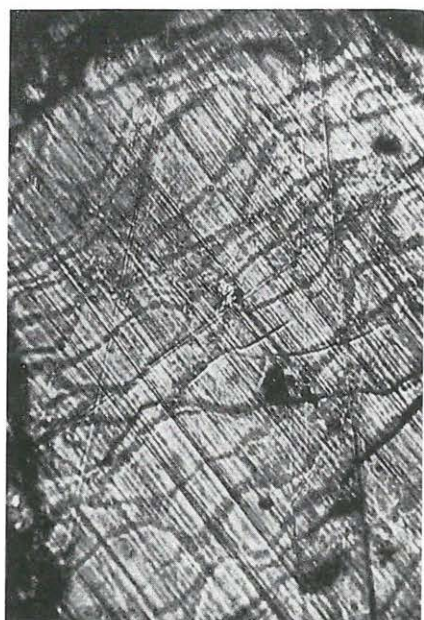
3. Tábla — Tafel 3*Telinitek, xilovitritek*

1. Nagymányok 17. minta, telinit sötétebb sejtfalakkal
2. Nagymányok 4. minta, telinit valószínűleg suberinites sejtfalakkal
3. Nagymányok 80. minta, detritizálódó telinit
4. Szászvár 86/1. minta, telinit—vitrit átmenet

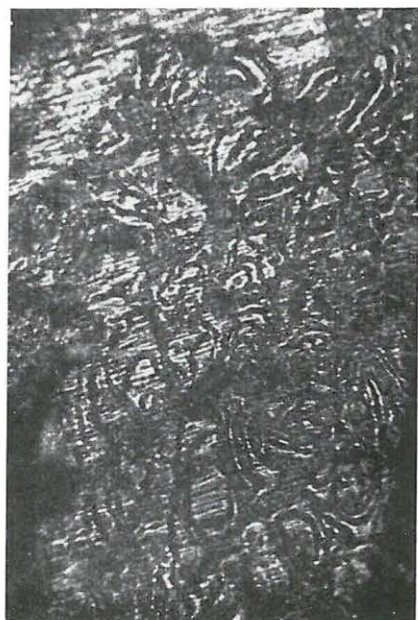
* * *

Telinite, Xylovitrite

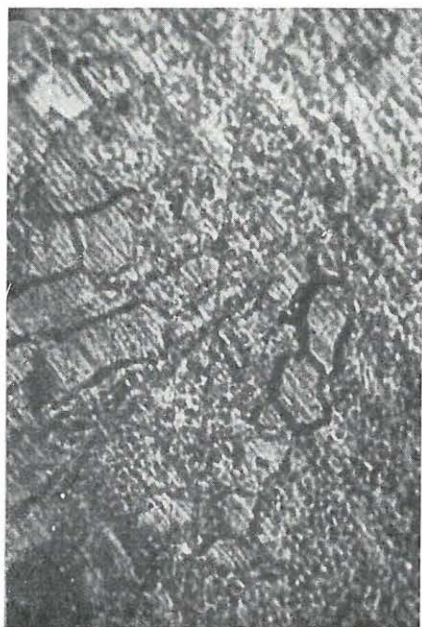
1. Telinit mit dunkleren Zellwänden
2. Telinit, wahrscheinlich mit suberinitisierten Zellwänden
3. in Detritisierung begriffener Telinit
4. Telinit—Vitrinit-Übergang



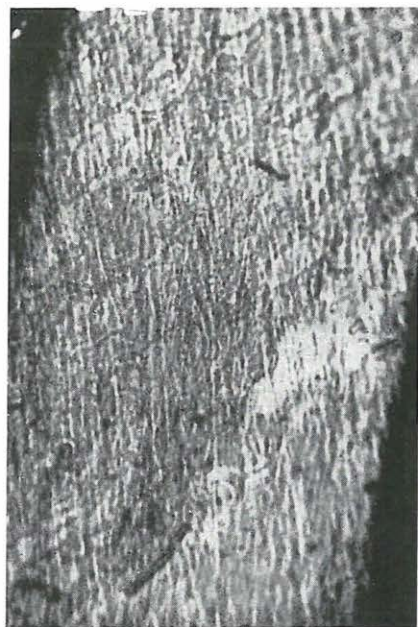
1



2



3



4

4. Tábla — Tafel 4*Ismeretlen telinitrészletek*

1. István-akna 15. telep 64. minta, ismeretlen telinit
- 2—4. István-akna 15. telep 62. minta, ismeretlen, részben karbonátosodó szövetrészletek a vitritben

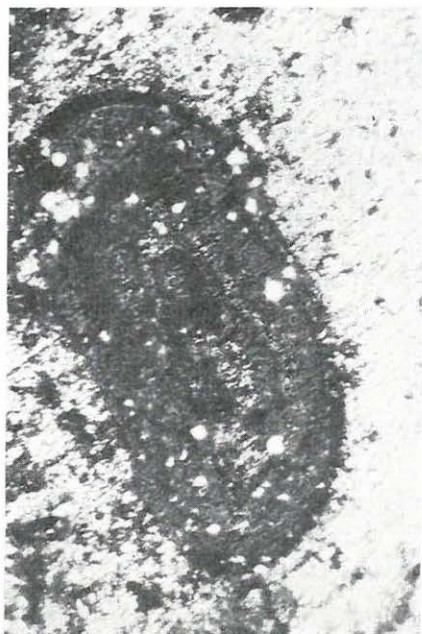
* * *

Telinite unbekannter Herkunft

1. unbekannter Telinit
- 2—4. unbekannte, z. T. in Karbonatisierung begriffene Gewebeteile im Vitrit



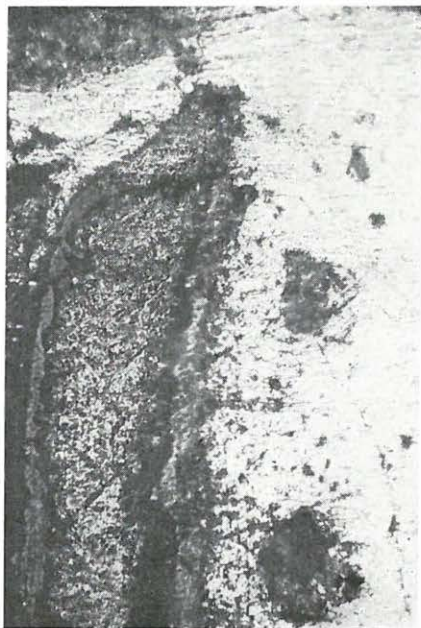
1



2



3



4

5. Tábla — Tafel 5*A faszövet különböző megtartási és lebontási formái*

1. Szászvár 87/2. minta, faszöveti eredetű vitrit
2. Zobák 10. telep 16. minta, kovakitöltésű tangenciális faszöveti szerkezetnyomok a vitritben
3. András-akna 69. minta, faszöveti eredetű szemifuzinit piritbetelepülésekkel
4. András-akna 40. minta, faszöveti eredetű gélfuzit tangenciális metszete

* * *

Holzgewebeprodukte verschiedener Erhaltung und Zersetzung

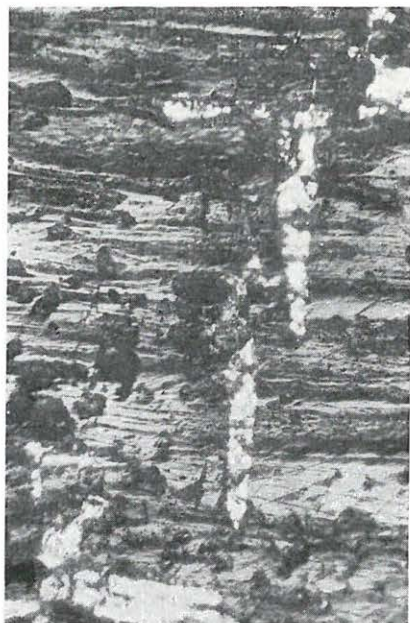
1. aus Holzgewebe entstandener Vitrit
2. Spuren tangentialer Holzgewebetextur im Vitrit mit Kieselausfüllung
3. aus Holzgewebe entstandener Semifusinit mit Pyriteinlagerungen
4. aus Holzgewebe entstandener Gelfusit, Längsschnitt



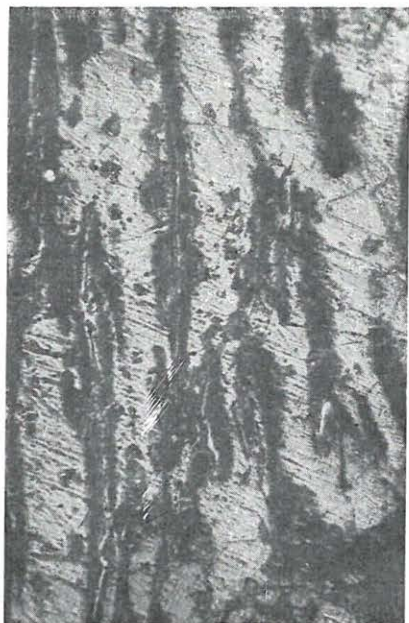
1



2



3



4

6. Tábla — Tafel 6*A faszövet különböző megtartási és lebontási formái*

1. Zobák 48. minta, faszöveti eredetű vitrit agyagos sejtfalnyomokkal
2. Zobák 48. minta, ua. kifejezettebb szerkezettel
3. Zobák 48. minta, ua. felismerhetőbb metszésben
4. Zobák 48. minta, a szenes agyagban a fenti növény fuzitosodott lebontási maradékai

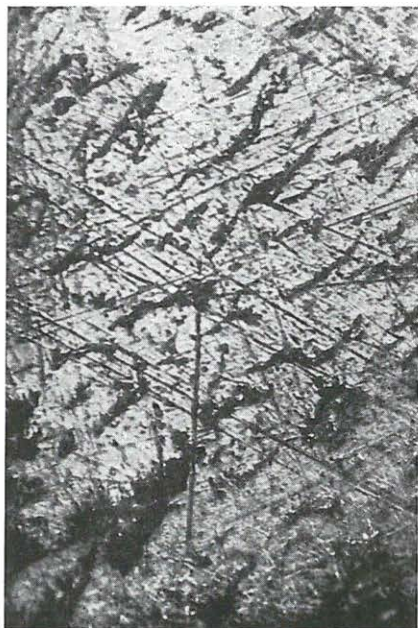
* * *

Holzgewebeprodukte verschiedener Erhaltung und Zersetzung

1. aus Holzgewebe entstandener Vitrit mit tonigen Zellwandspuren
2. d. s. mit ausgeprägter Textur
3. d. s. in einem deutlicher erkennbaren Schnitt
4. fusitisierten Zersetzungsreste der obigen Pflanze im Lettenkohle



1



2



3



4

7. Tábla — Tafel 7

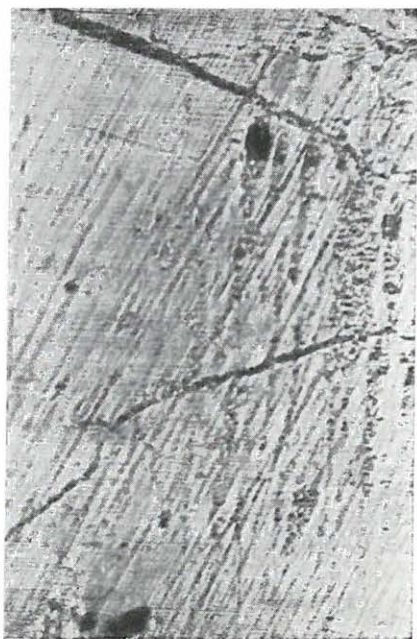
A faszövet különböző megtartási és lebontási formái

1. István-akna 15. telep 61. minta, létrás vastagodás fuzitosodó nyomai a faszöveti vitritben (száraz obj. 255×)
2. István-akna 15. telep 61. minta, tangenciális faszöveti szerkezetnyomok a részben kovakitöltésű xilovitritben
3. István-akna 15. telep 61. minta, ua. a faszöveti fuzitkifejlődésben, radiális metszet
4. István-akna 15. telep 61. minta, az előbbi faszövet vitrites lebontási maradékrészletei a szenes agyagban

* * *

Holzgewebeprodukte verschiedener Erhaltung und Zersetzung

1. in Fusitisierung begriffene Spuren leiterförmiger Verdickung in Holzgewebevitrit (Trockenobj. 225×)
2. Spuren von tangentialem Holzgewebetextur im mit Kiesel ausgefüllten Vitrit
3. d. s. Holzgewebe im Fusit, Radialschnitt
4. vitritisierete Zersetzungsprodukte des obigen Holzgewebes im Lettenkohle



1



2



3



4

8. Tábla — Tafel 8

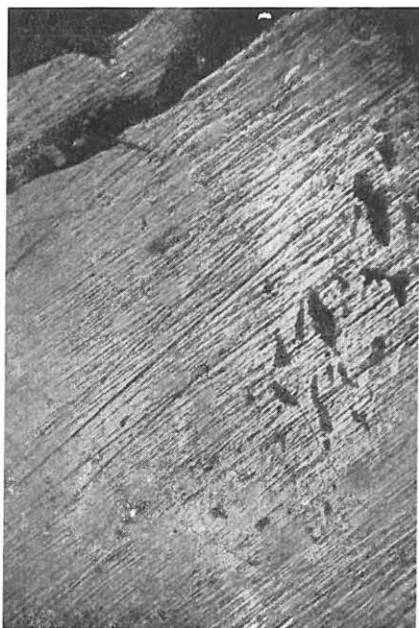
Vitrit—szemifuzinít—fuzit átmenetek

1. Szászvár 87/21. minta, fuzitosodó folt a faszöveti eredetű vitritben
2. Széchenyi-akna 6. telep 9. minta, vitrit—szemifuzinít átmenet
3. Szászvár, Franciska telep 100. minta, faszöveti vitrit és szemifuzinít, megőrzött sejtfallemezekkel
4. Zobák 7. telep alsó pad 2. minta, az előbbi szövetrészlet szemifuzinít és kovakitöltésű fuzitkifejlődésben, ép hármás sejtfalakkal (száraz obj. 255×)

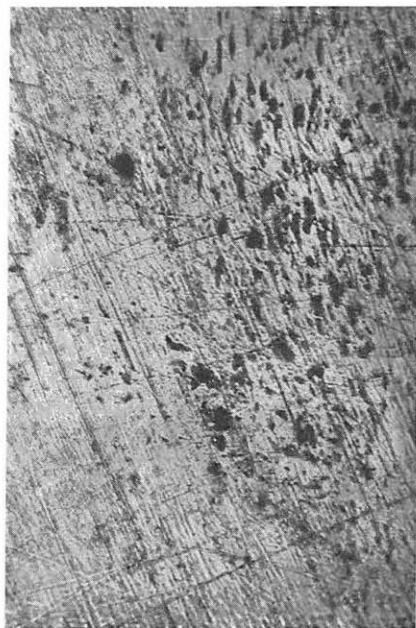
* * *

Übergänge von Vitrit, Semifusinit, Fusit

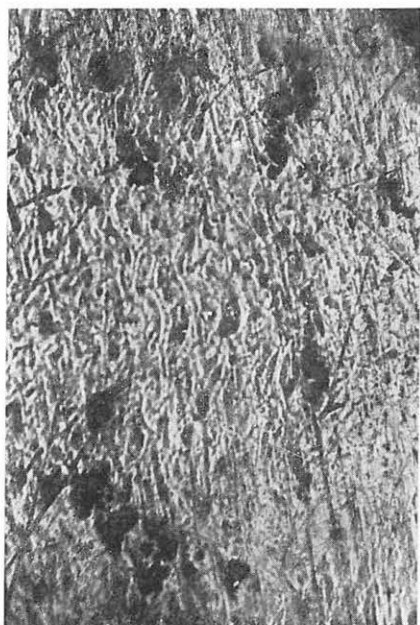
1. in Fusitisierung begriffenes Fleck im aus Holzgewebe entstandenen Vitrit
2. Vitrit—Semifusinit-Übergang
3. Holzgewebemit vitrit und Semifusinit mit wohlerhaltenen Zellwandlamellen
4. der obige Gewebeteil in einer, mit Semifusinit und Kiesel ausgefüllten Fusitausbildung, mit unversehrten Dreizellwänden (Trockenobj. 255×)



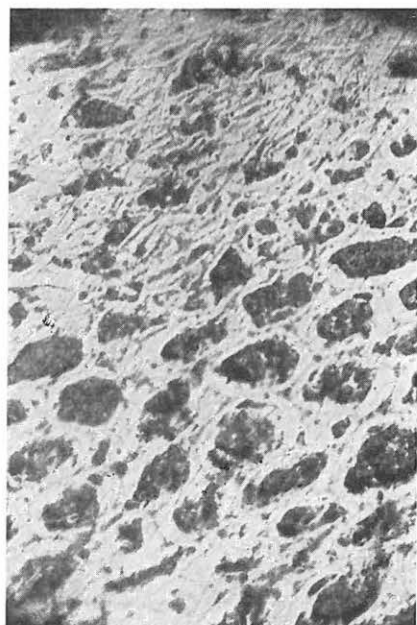
1



2



3



4

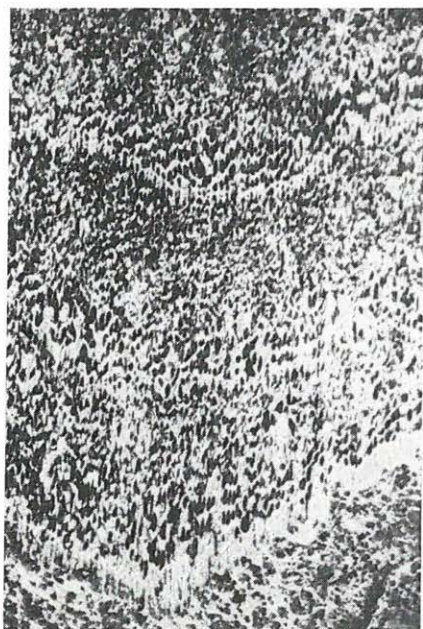
9. Tábla — Tafel 9*Faszöveti fuzittípusok*

1. Zobák 7. telep alsó pad 6. minta, túlévelű faszövet fuzitja keresztmetszetben, évgyűrűkkel (száraz obj. 32×)
2. Zobák 7. telep alsó pad 6. minta, tracheidális felépítésű faszöveti fuzit keresztmetszete (száraz obj. 90×)
3. András-akna 52. minta, évgyűrűs faszöveti fuzit (száraz obj. 90×)
4. Zobák 7. telep alsó pad 8. minta, fuzit parenchimas növényi szövetrészletből (száraz obj. 90×)

* * *

Holzgewebefusittypen

1. Nadelholzgewebe-Fusit mit Jahresringen, Querschnitt (Trockenobj. 32×)
2. Holzgewebefusit von Tracheidenaufbau, Querschnitt (Trockenobj. 90×)
3. Holzgewebefusit mit Jahresringen (Trockenobj. 90×)
4. Fusit aus parenchymenartigen Pflanzengewebe (Trockenobj. 90×)



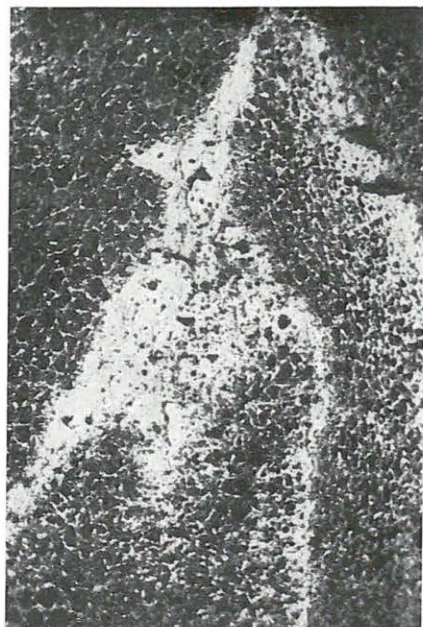
1



2



3



4

10. Tábla — Tafel 10*Faszöveti fuzittípusok*

1. Zobák 47. minta, vékony sejtfalú faszöveti fuzit hosszmetsete
2. István-akna 15. telep 61. minta, vékony sejtfalú faszöveti fuzit bélsugárnyomokkal
3. Szászvár, János telep, csapásmenti 92. minta, kissé vastagabb sejtfalú fuzit
4. Hetény 24. sz fúrás 3. minta, részben elgélesedett faszöveti fuzit

* * *

Holzgewebefusittypen

1. Holzgewebefusit mit dünnen Zellwänden, Längsschnitt
2. Holzgewebefusit mit dünnen Zellwänden, und Markstrahlspuren
3. Fusit, mit dickerer Zellwand
4. z. T. vergelter Holzgewebefusit



1



2



3



4

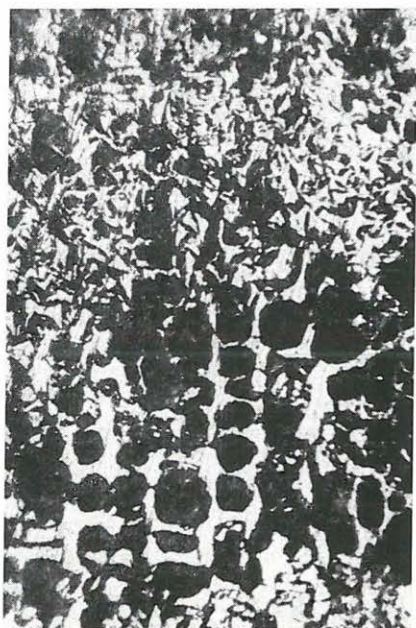
11. Tábla — Tafel 11*Faszöveti fuzitípusok*

1. István-akna 15. telep 61. minta, az ún. ívszerkezet összetöredező sejtfalai
2. Nagymányok 72. minta, faszöveti fuzit trachearészletekkel
3. István-akna 15. telep 61. minta, harasztfuzit létrás vastagodás nyomaival
4. Nagymányok 80. minta, faszöveti fuzit hosszmetzete

* * *

Holzgewebefusitípen

1. zusammengebrochene Zellwände von sog. Bogenstruktur
2. Holzgewebefusit mit Tracheenteilen
3. Farnfusit mit Spuren leiterförmiger Verdickung
4. Holzgewebefusit, Längsschnitt



1



2



3



4

12. Tábla — Tafel 12*Faszöveti fuzittípusok*

1. Zobák 45. minta, részben elgélesedett haraszt hosszmetzete, létrás vastagodású tracheanyomokkal
2. Zobák 45. minta, ua. a faszövet tangenciális hosszmetzetben, jó megtartású fuzitként
3. Zobák 45. minta, különböző fuzit-kifejlődési formák egyazon szöveten belül
4. Zobák 45. minta, ua. vitrites átmenetben

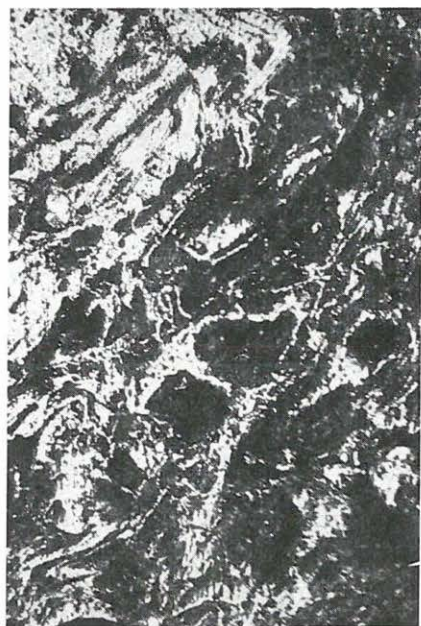
* * *

Holzgewebefusittypen

1. z. T. vergeltes Farn mit Tracheenspuren Leiterförmiger Verdickung, tangentialer Längsschnitt
2. d. s. Holzgewebe als gut erhaltener Fusit, tangentialer Längsschnitt
3. verschiedene Fusitusbildungen innerhalb desselben — Holzgewebes
4. in Vitritisierung begriffen



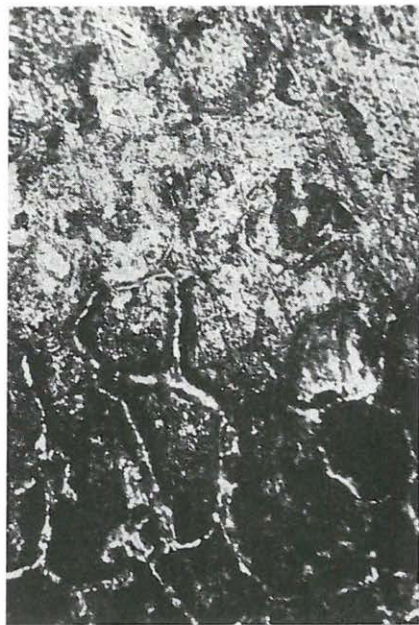
1



2



3



4

13. Tábla — Tafel 13*Faszöveti fuzittípusok*

1. Zobák 7. telep alsó pad 8. minta, edényes faszöveti fuzit hosszmetszete
2. Zobák 7. telep alsó pad 10. minta, erősebben gélesedett faszöveti fuzit radiális metszete
3. Vasas 13. telep 58. minta, inertté alakult rezinitek a faszöveti fuzitban
4. Vasas 13. telep 58. minta, ua. folytatásban

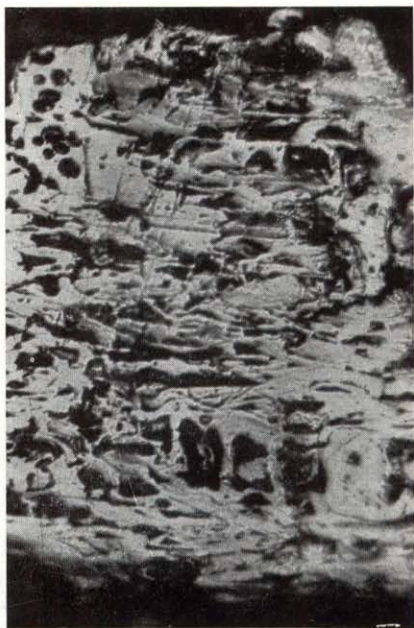
* * *

Holzgewebefusittypen

1. Holzgewebefusit mit Gefässen, Längsschnitt
2. stark vergelter Holzgewebefusit, Radialschnitt
3. Inert gewordene Resinite in Holzgewebefusit
4. d. s. in Fortsetzung



1



2



3



4

14. Tábla — Tafel 14*Faszöveti fuzittípusok*

1. Rücker-akna 25. telep mikroszelvény 10. minta, szénüléssel fuzitosodott faszövet, elhajlott tavaszi pásztával
2. Rücker-akna 25. telep mikroszelvény 10. minta, ua. folytatásában
3. Zobák 66. minta, bomlási fuzinit faszövetből
4. Zobák 35. minta, bomlási fuzinit még rosszabb megtartásban

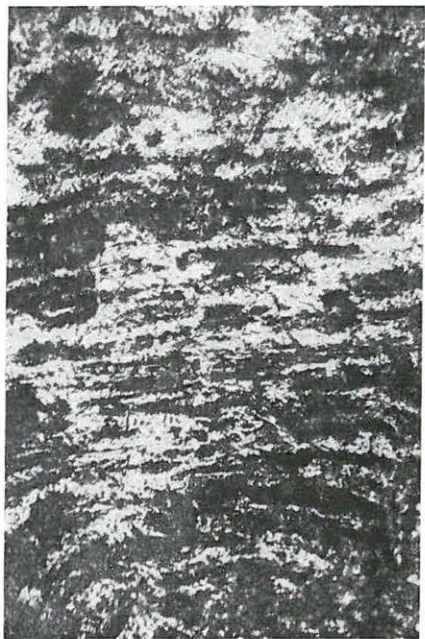
* * *

Holzgewebefusittypen

1. durch Inkohlung fusitisiertes Holzgewebe mit verbogenen Frühholz
2. d. s. in Fortsetzung
3. Zersetzungsfusinit aus Holzgewebe
4. Zersetzungsfusinit von noch schlechterem Erhaltungszustand



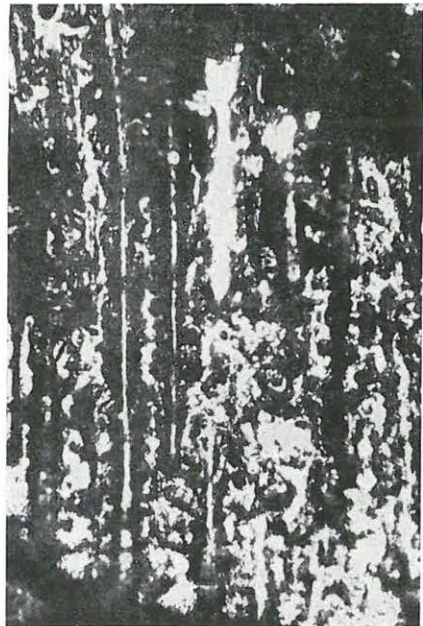
1



2



3



4

15. Tábla — Tafel 15

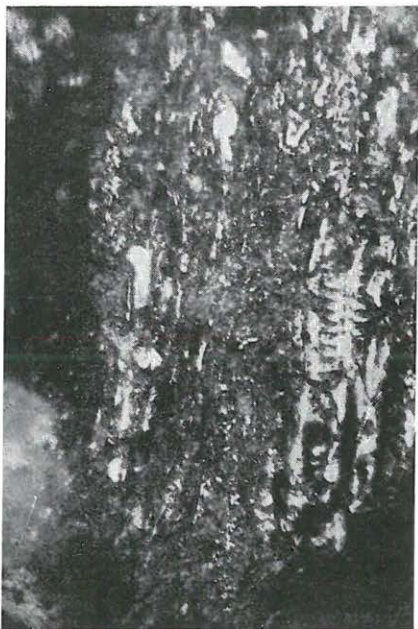
Faszöveti fuzitnyomok agyagos—kovás lebontásokban

1. András-akna 37. minta, helyben lebontott faszövet fuzitosodott maradékai az agyagban
2. István-akna 29. telep 11. minta, agyagos—kovás faszöveti lebontás fuzitnyomai (száraz obj. 225×)
3. Széchenyi-akna 72. minta, fuzitos faszöveti szerkezeti nyomok az agyagban
4. Hetény 24. sz. fúrás 3. minta, kovásodással párhuzamos faszöveti lebontás

* * *

Holzgewebe Fusitspuren von tonig—kieseligem Abbau

1. fusitisierte Reste mit in situ zersetztem Holzgewebe im Ton
2. Fusitspuren tonig—kieseligem Abbau des Holzgewebes (Trockenobj. 225×)
3. Spuren von Holzgewebetextur des Fusit im Ton
4. Holzgewebetzersetzung parallel mit Verkieselung



1



2



3



4

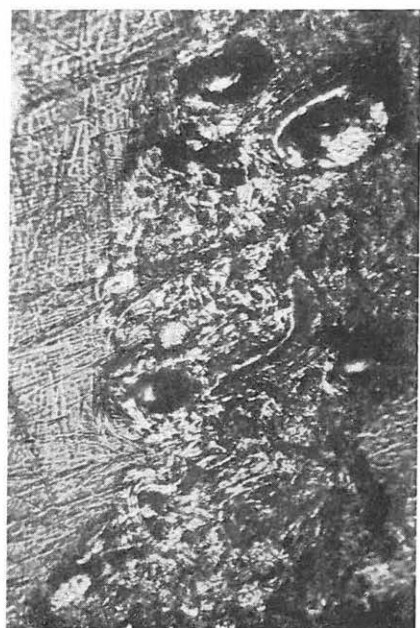
16. Tábla — Tafel 16*Egyéb fuzittípusok*

1. Zobák 156. minta, fuzit edényszerű keresztmetszetekkel
2. Zobák 63. minta, fuzit keresztmetszeti képe, valószínű évgyűrűkkel
3. Szászvár 79. minta, ismeretlen eredetű fuzit (kéreg?)
4. Szászvár 87/30. minta, valószínű kéregfuzit igen kemény, reliefesebb kősejtesoportokkal

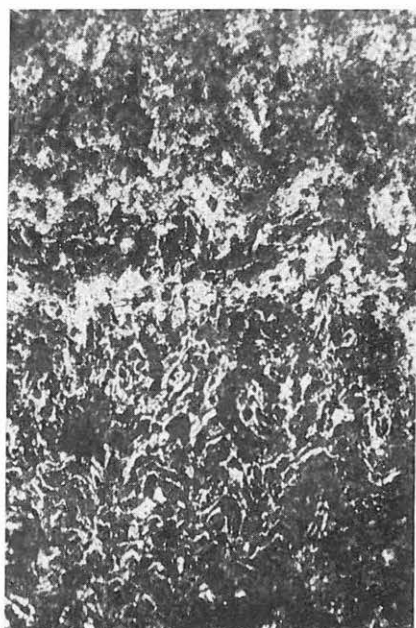
* * *

Übrige Fusyttipen

1. Fusit mit gefäßförmigen Querschnitten
2. Querschnittsbild von Fusit mit wahrscheinlichen Jahresringen
3. Fusit unbekannter Herkunft (Rinde?)
4. wahrscheinlicher Rindefusit mit sehr harten Steinzellengruppen von hohem Relief



1



2



3



4

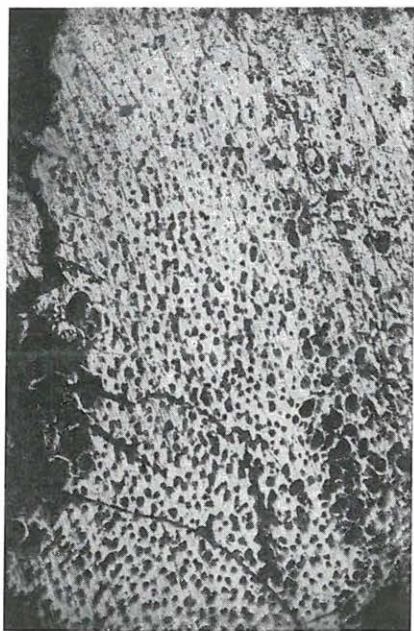
17. Tábla — Tafel 17*Egyéb fuzitípusok*

1. András-akna 35. minta, fuzit szárkeresztmetszete szállítónyalábokkal (száraz obj. 90×)
2. Szászvár 87/1. minta, levéleredetű fuzit stomákkal (?)
3. Zobák 99. minta, tracheaátmetszetek a fuzitban (száraz obj. 90×)
4. Zobák 48. minta, levél és levélrmaradvány fuzitja (?)

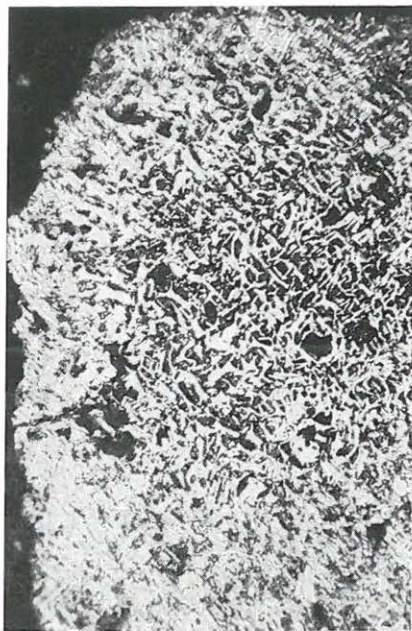
* * *

Übrige Fusittypen

1. Fusit, Stengelquerschnitt mit Leitgefäßen (Trochknobj. 90×)
2. aus Blatt eintandener Fusit mit Stomen (?)
3. Tracheendurchschnitte in Fusit (Trochknobj. 90×)
4. Fusit aus Blatt und Blattaderresten (?)



1



2



3



4

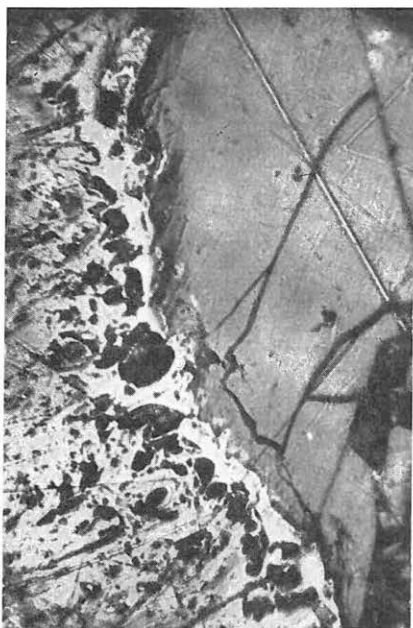
18. Tábla — Tafel 18*Egyéb fuzitípusok*

1. Zobák 230/6. minta, levéleredetű fuzit
2. Zobák 133. minta, valószínű termésfal-eredetű fuzit olajjáratok átmetszetével
3. Zobák 133. minta, valószínűleg levéleredetű fuzit kutikulával és szivacsos parenchimával
4. Zobák 64. minta, ismeretlen eredetű fuzit

* * *

Übrige Fusittypen

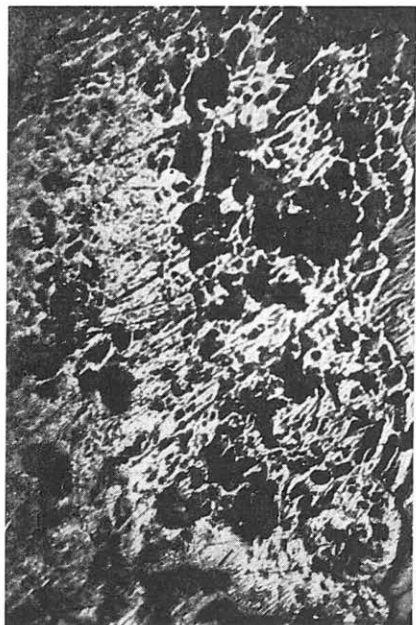
1. aus Blatt entstandener Fusit
2. wahrscheinlich aus Fruchtwand entstandener Fusit mit Durchschnitt von Ölgängen
3. wahrscheinlich aus Blatt entstandener Fusit mit Kutikule und mit Schwamm-parenchyma
4. Fusit, unbekannter Herkunft



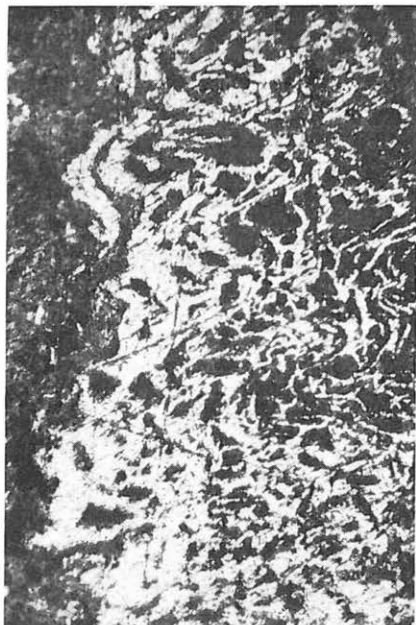
1



2



3



4

19. Tábla — Tafel 19*Egyéb fuzítípusok*

1. Zobák 226. minta, edényes faszöveti fuzit létrás vastagodással
2. Zobák 216. minta, tracheidális faszöveti fuzit tangenciális bélsugarakkal
3. Zobák 64. minta, fa és kéregszöveti fuzit
4. Zobák 64. minta, fa és háncsszöveti fuzit
5. András-akna 35. minta, erősen elgélesedett faszöveti fuzit
6. Széchenyi-akna 6. telep 4. minta, gélfuzit egy faszövetből

* * *

Übrige Fusittypen

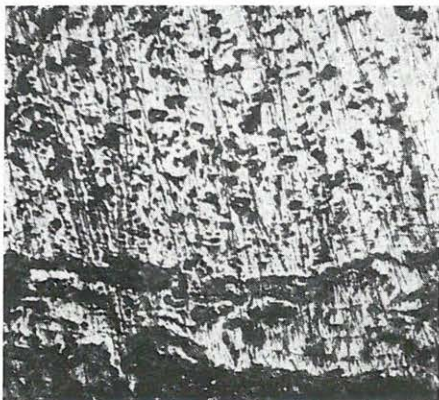
1. Holzgewebefusit mit Gefässen leiterförmiger Verdickung
2. Holzgewebefusit aus Tracheiden mit tangentialen Markstrahlen
3. Holz- und Rindgewebefusit
4. Holz- und Bastgewebefusit
5. stark vergelter Holzgewebefusit
6. Gelfusit aus Holzgewebe



1



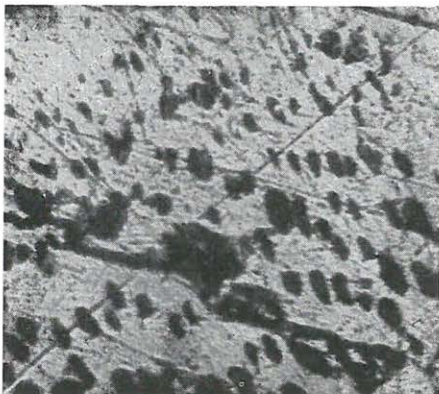
2



3



4



5



6

20. Tábla — Tafel 20

Egyéb fuzittípusok

1. Széchenyi-akna 72. minta, erősen vastagodott falú sclerenchima fuzitja egy szilárdító szövetből
2. Szászvár 87/19. minta, fuzitosodott háncsszövet
3. Szászvár 75. minta, prosenchimatikus rostsejtek az alapszöveti fuzit mellett
4. Széchenyi-akna 6. telep 9. minta, gödörkés vastagodások nyomai a fuzitban
5. Szászvár, Franciska-telep 141. minta, ismeretlen eredetű fuzit (szár ?)
6. Szászvár, János-telep csapás menti 93. minta, ferde metszésű tracheidális faszövet fuzitja

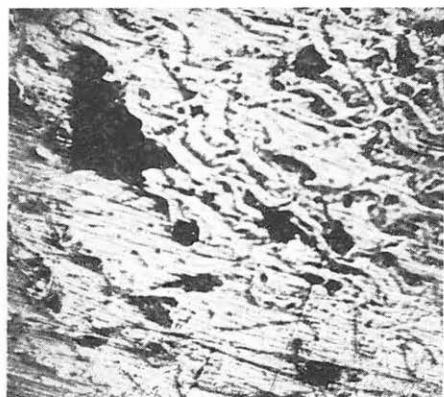
* * *

Übrige Fusittypen

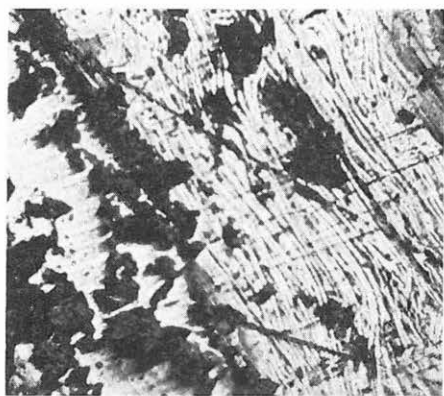
1. Festigungsgewebefusit von Sclerenchyma, mit stark verdickten Wänden
2. fusitisiertes Bastgewebe
3. prosenchimatische Faserzellen neben Grundgewebefusit
4. Spuren Tüpfelverdickung im Fusit
5. Fusit, unbekannter Herkunft (Stengel ?)
6. Fusit eines Tracheidholzgewebe im Querschnitt



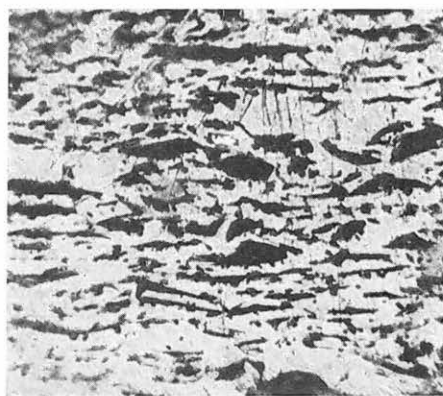
1



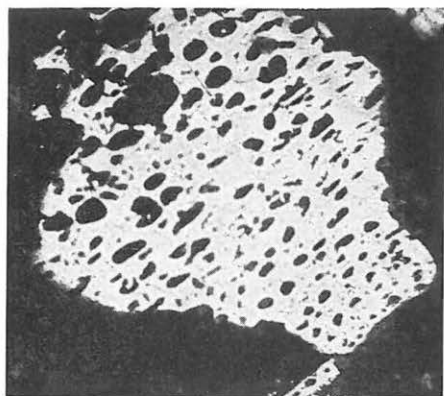
2



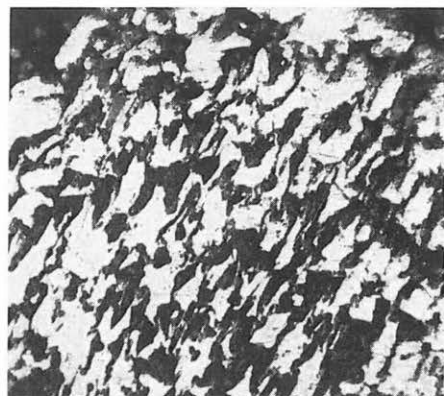
3



4



5



6

21. Tábla — Tafel 21*Egyéb fuzittípusok*

1. Széchenyi-akna 6. telep 6. minta, fuzitdeformáció a karbonátbetelepülés következtében
2. Zobák 85. minta, az alsóliász egyik gyakori szövettípusának fuzitja
3. Zobák 60. minta, ismeretlen eredetű fuzitosodott szövetrészlet
4. András-akna 35. minta, deformált edénykeresztmetszetek egy faszövetből
5. Zobák 33. minta, elmosódott sejtfalhatárok a nagysejtű gélfuzitban
6. Széchenyi-akna 72. minta, inertté alakult hólyagos testek, gyantaszármazékok egy faszövetben

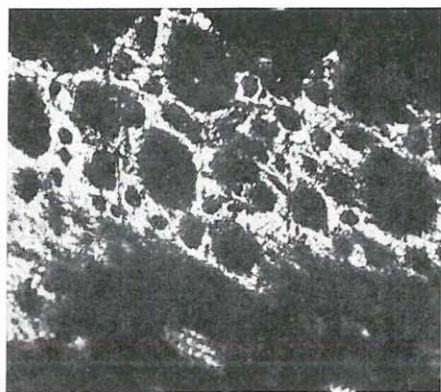
* * *

Übrige Fusittypen

1. Fusitdeformation infolge Karbonateinlagerung
2. Fusit eines im Unterlias häufigen Holzgewebes
3. fusitisiertes Gewebeteil unbekannter Entstehung
4. deformierte Gefäßquerschnitte aus Holzgewebe
5. verwischte Zellwandgrenzen im Gelfusit mit risigen Zellen
6. inert gewordene blasige Körper, Harzprodukte im Holzgewebe



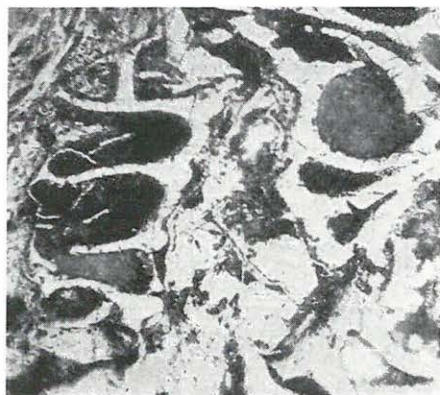
1



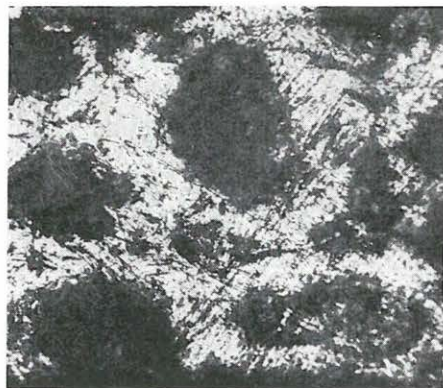
2



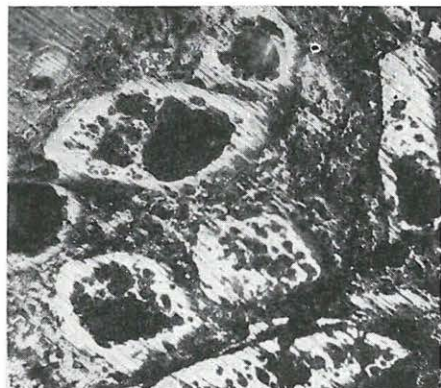
3



4



5



6

22. Tábla — Tafel 22*Egyéb fuzitípusok*

1. Zobák 64. minta, ismeretlen eredetű fuzitos szövetrészlet, nagyméretű, lemezesen vastagodott sejtekkel
2. Zobák 64. minta, az előző részlet folytatása sejtkitöltéssel
3. Zobák 64. minta, a szövet további folytatása
4. Zobák 53. minta, ugyanez a szövettípus piritesedve

* * *

Übrige Fusitypen

1. fusitisierte Gewebeteil unbekannter Herkunft mit grossen, plattig verdickten Zellen
2. Fortsetzung des obigen Gebildes mit Zellausfüllung
3. weitere Fortsetzung der Gewebezersetzung
4. derselbe Gewebetyp, pyritisiert



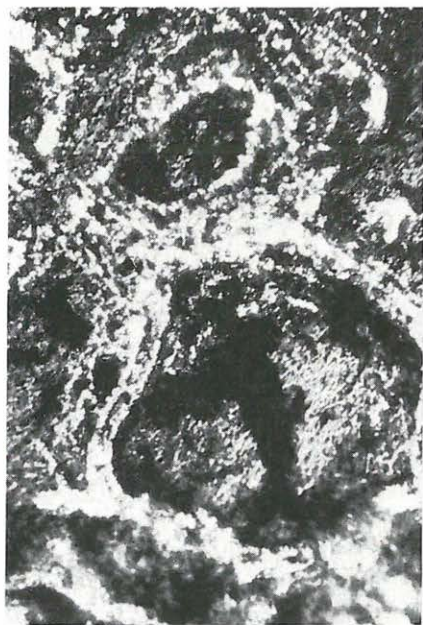
1



2



3



4

23. Tábla — Tafel 23

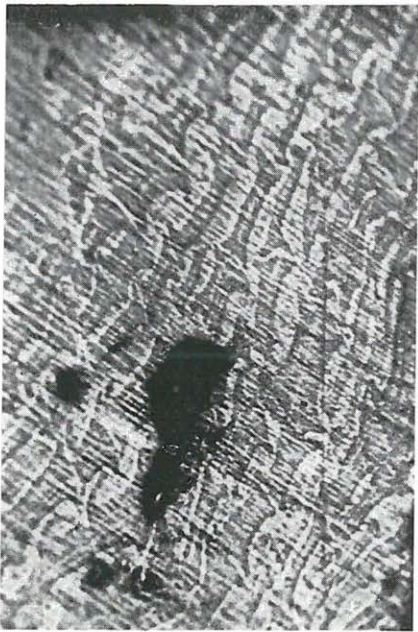
Inertté alakulás a növényi szöveten belül (vitrinertit)

1. Szászvár 87/21. minta, háncsszövet, mint vitrinertit
2. Szászvár 87/18. minta, ismeretlen eredetű szövetrészlet mint vitrinertit
3. Szászvár 87/16. minta, inertté alakuló szövetrészlet
4. Petőfi-akna 4. telep 6. minta, inertté alakult tracheák

* * *

Inerte Umwandlung innerhalb des pflanzlichen Gewebes

1. Bastgewebe, als Vitrinertit
2. Gewebeteil unbekannter Herkunft, als Vitrinertit
3. Gewebeteil, in inerte Umwandlung begriffen
4. inert gewordene Tracheen



1



2



3



4

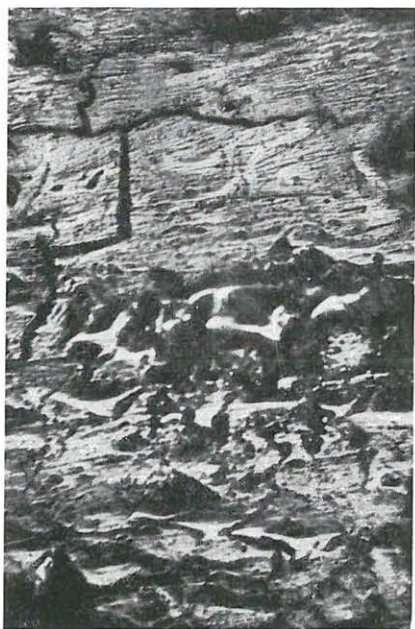
24. Tábla — Tafel 24*Inertté alakulás a növényi szöveten belül (vitrinertit)*

1. Szászvár 87/21. minta, az inertté alakulás különböző fokozatai egy szöveten belül (vitrinertit)
2. István-akna 6. telep 2. minta, sejtkitöltés eredetű inert testek egy növényi szövetben (vitrinertit)
3. Szászvár 87/3. minta, fuzit és vitrinertitté alakult részletek egy növényi egységen belül
4. Széchenyi-akna 6. telep 6. minta, sejtkitöltés eredetű inert testek a vitrinertitben

* * *

Inerte Umwandlung innerhalb des pflanzlichen Gewebes

1. verschiedene Stufen inerter Umwandlung innerhalb des Gewebes (Vitrinertit)
2. aus Zellausfüllung entstandene inerte Körper im pflanzlichen Gewebe (Vitrinertit)
3. Fusit und im Vitrinertit umgewandelte Teile innerhalb einer pflanzlicher Einheit
4. aus Zellausfüllung entstandene inerte Körper in Vitrinertit



1



2



3



4

25. Tábla — Tafel 25*Gombaszármazékok*

1. Zobák 7. telep alsó pad 3. minta, egy- és kétkamrás gombaspórák a karbonátos égőpalában
2. Szászvár 157. minta, gombaszármazékok az agyagban
3. Szászvár 157. minta, gombaszármazékok a kocszos égőpalában
4. Zobák 210/a. I. minta, gombaspórák az égőpalában
5. Nagymányok 72. minta, vitrinertit gombahyphamaradványokkal
6. Nagymányok 76. minta, gombasclerocium a durokláritban

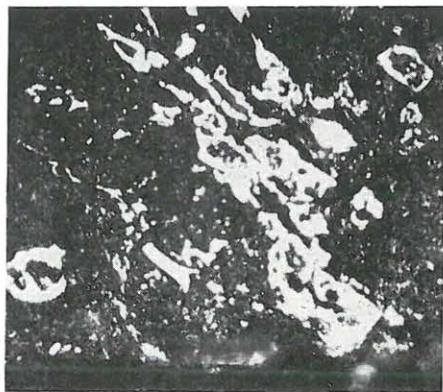
* * *

Pilzprodukte

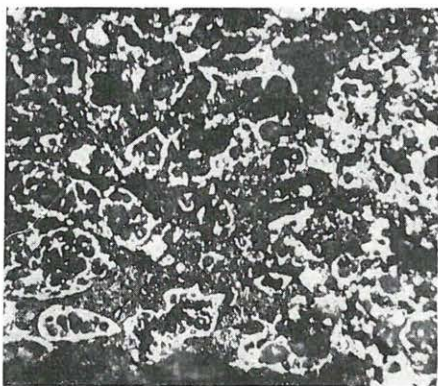
1. Pilzsporen mit 1–2 Kammern im karbonatisierten Brennschiefer
2. Pilzprodukte im Ton
3. Pilzprodukte im verkockten Brandschiefer
4. Pilzsporen im Brandschiefer
5. Vitrinertit mit Pilzhyphenresten
6. Pilzsklerotium im Duroclarit



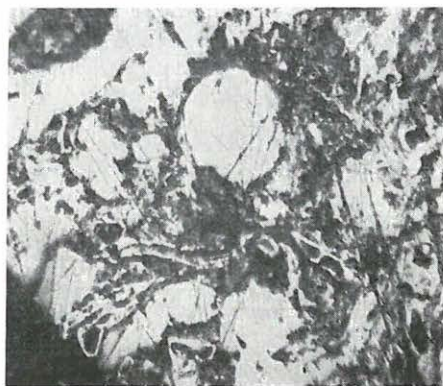
1



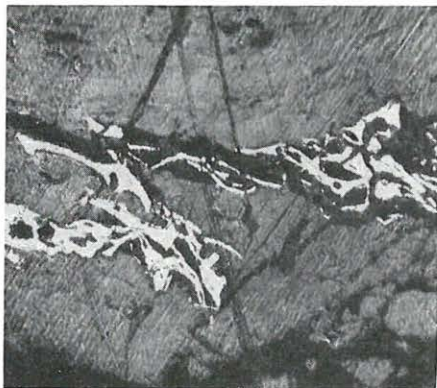
2



3



4



5



6

26. Tábla — Tafel 26*Finom és tömeges (foltos) mikrinitek, szemifuzinitek*

1. Zobák 210/a pad 3. minta, finom, hintett mikrinit a vitrit ill. vitrinertitben
2. Szászvár 87/47 minta, finom szemesés és tömeges mikrinit a vitrinertitben
3. Szászvár 87/20. minta, vitrinertit₁
4. Nagymányok 76. minta, szemifuzinít klárodurit közbetelepüléssel

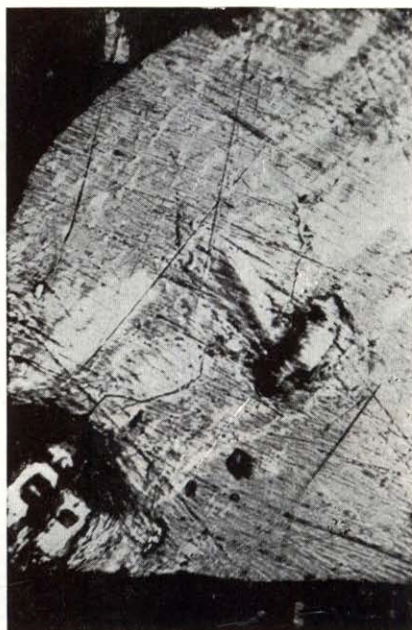
* * *

Feine und massige (fleckige) Mikrinite und Semifusinite

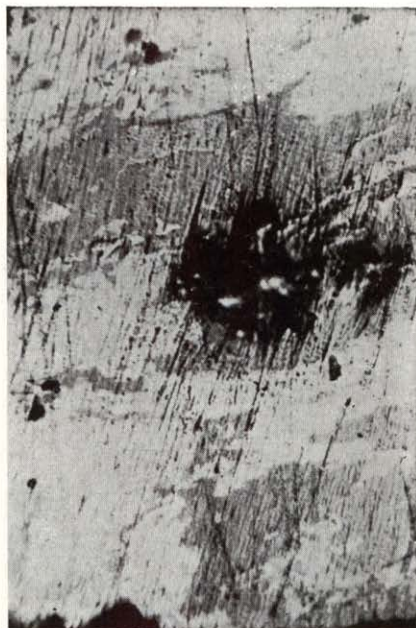
1. feiner, gestreuer Mikrinit im Vitrit, bzw. im Vitrinertit
2. feinkörniger und massiger Mikrinit im Vitrinertit
3. Vitrinertit₁
4. Semifusinit mit einer Claroduritzwischenlagerung



1



2



3



4

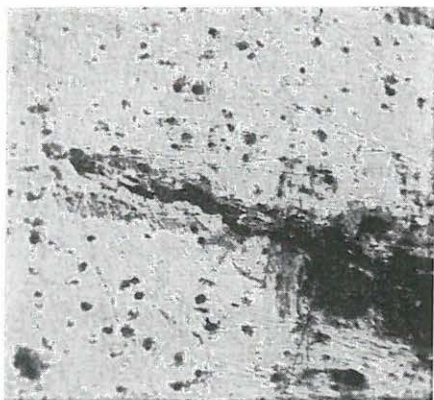
27. Tábla — Tafel 27*Szemifuzinittípusok*

1. Zobák 10. telep 12. minta, szemifuzinit—durit
2. Nagymányok 80. minta, különböző színű szemifuzinitsávok egymás felett
3. Zobák 99. minta, szerkezetes szemifuzinitfolt
4. Nagymányok 76. minta, szemifuzinitfolt mikrinitzegélyvel
5. Szászvár 87/1. minta, szerkezetes szemifuzinit
6. Szászvár 87/5. minta, szemifuzinit—vitrinertit

* * *

Semifusinittypen

1. Semifusinit—Durit
2. Semifusinitstreifen verschiedener Farbe übereinander
3. Semifusinitfleck mit Struktur
4. Semifusinit mit Mikrinitrand
5. Semifusinit mit Struktur
6. Semifusinit—Vitrinertit



1



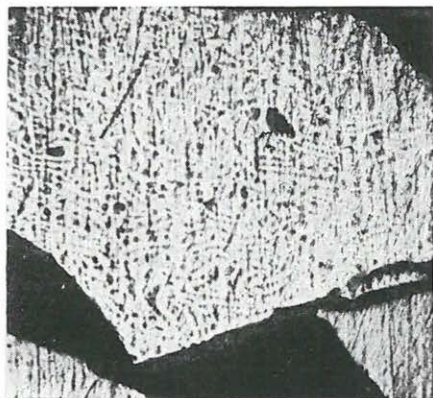
2



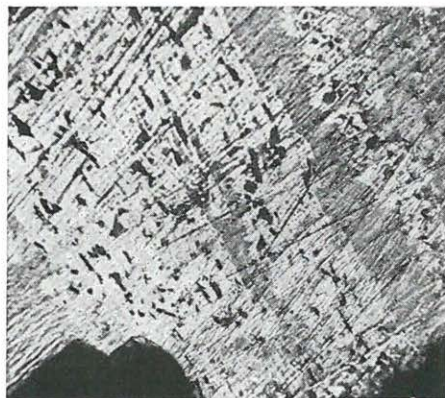
3



4



5



6

28. Tábla — Tafel 28

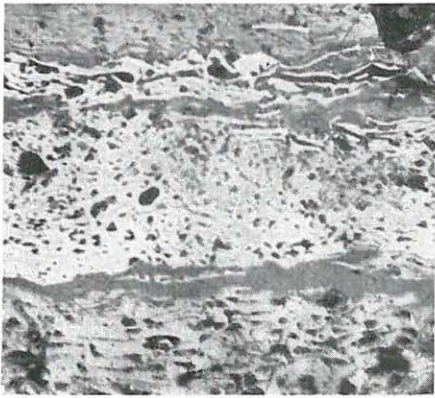
Különböző, inert elegyrészekben gazdag sávféleségek

1. Zobák 7. telep alsó pad 8. minta, túlnyomóan gombahypa és álparenchima eredetű inert sávok
2. Zobák 7. telep alsó pad 8. minta, vitrinertit — szemifuzinit
3. Zobák 7. telep alsó pad 8. minta, spórás duroklárit a szemifuzinitsávok között
4. Zobák 7. telep alsó pad 10. minta, spórás klárodurit alatt vitrinertit, szerkezetellen inert sávval
5. Zobák 7. telep alsó pad 8. minta, spórás klárodurit és szemifuzinit
6. Zobák 7. telep alsó pad 8. minta, spórás durit — fuzit

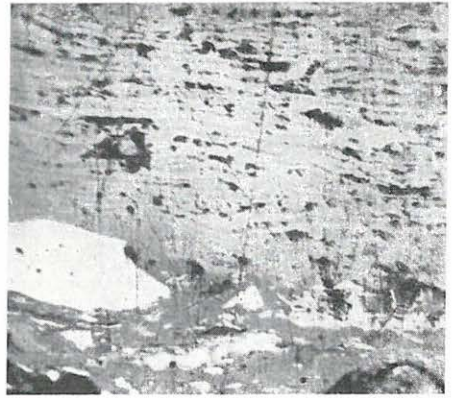
* * *

Verschiedene Streifenarten, reich an inerten Bestandteilen

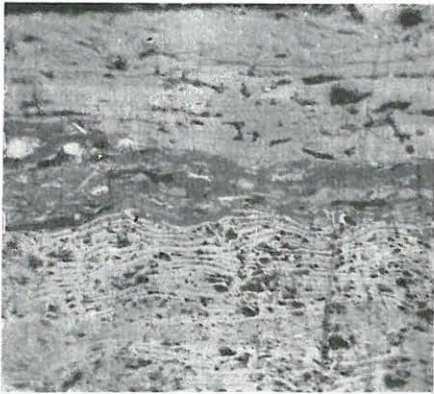
1. überwiegend aus Pilzhypen und aus Pseudoparenchyma entstandene inerte Streifen
2. Vitrinertit — Semifusinit
3. sporiger Duroclarit zwischen Semifusinitstreifen
4. Vitrinertit mit strukturlosen inerten Streifen unter sporigem Clarodurit
5. sporiger Clarodurit und Semifusinit
6. sporiger Durit — Fusit



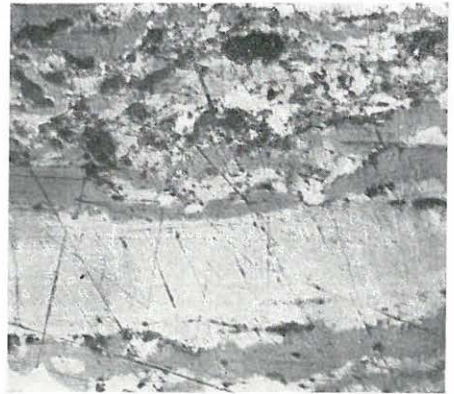
1



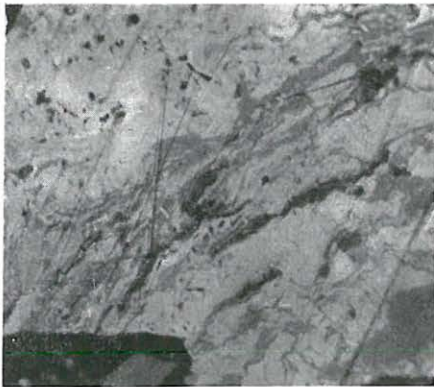
2



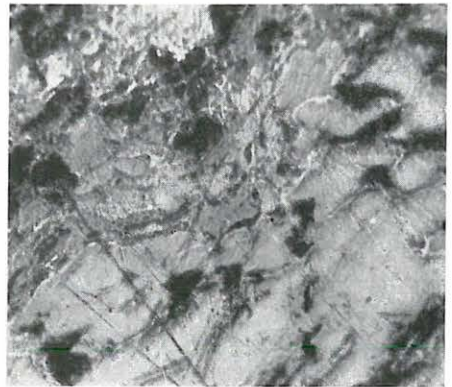
3



4



5



6

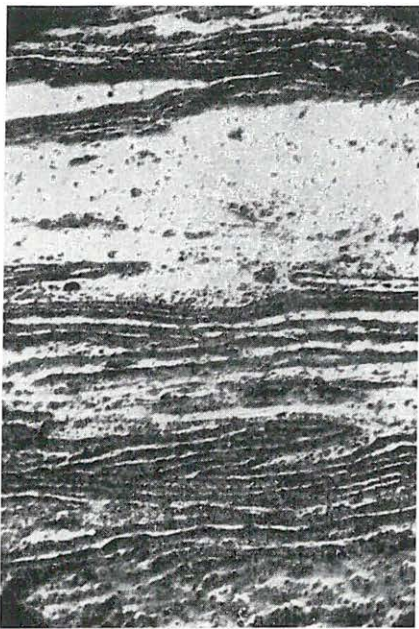
29. Tábla — Tafel 29*Kutikula megjelenési formák a klaritban*

1. Zobák 7. telep alsó pad 2. minta, levélfelhalmozódás eredetű klárit (száraz obj. 32×)
2. Zobák 7. telep alsó pad 2. minta, vitrit—kutikulás klárit (száraz obj. 90×)
3. Zobák 7. telep alsó pad 2. minta, kutikulás klárit (száraz obj. 90×)
4. Zobák 7. telep alsó pad 1. minta, kutikulás klárit (száraz obj. 90×)

* * *

Erscheinungsformen von Kutikule im Clarit

1. aus Blattanhäufung entstandener Clarit (Trockenobj. 32×)
2. Vitrit—Kuticulenclarit (Trockenobj. 90×)
3. Kuticulenclarit (Trockenobj. 90×)
4. Kuticulenclarit (Trockenobj. 90×)



1



2



3



4

30. Tábla — Tafel 30*Kutikula megjelenési formák a kláritban*

1. Zobák 10. telep 3. minta, vastag kutikulás klárit
2. Zobák 10. telep 2. minta, kutikula sávok—foltok a kláritban
3. Zobák 7. telep alsó pad 3. minta, karbonátkiszorítás a kutikulában is
4. Zobák 72/10. minta, szaggatott kutinitsávok a kláritban

* * *

Erscheinungsformen von Kutikule im Clarit

1. Clarit mit dicken Kutikulen
2. Kutikulenstreifen—Flecken im Clarit
3. Karbonatverdrängung im Kutikule
4. unterbrochene Kutinitstreifen im Clarit



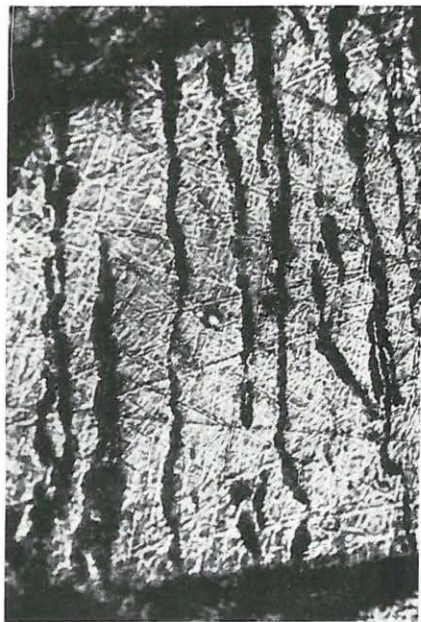
1



2



3



4

31. Tábla — Tafel 31*Kutikula megjelenési formák a kláritban*

1. Nagymányok 17. minta, klárit keskeny kutikulasávokkal, rezinitekkel
2. Zobák 72/13. minta, keskeny kutikulás klárit
3. Zobák 10. telep 2. minta, levélmaradvány horizontális metszésben, fogazott kutikulával
4. Zobák 108. minta, pirites, agyagos szennyezésű levéleredetű klárit (száraz obj. 90×)

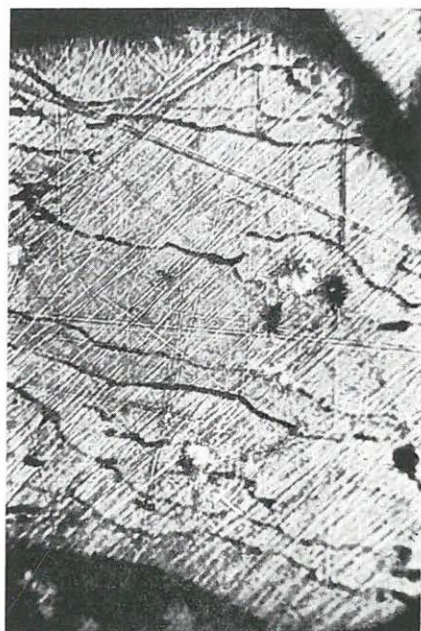
* * *

Erscheinungsformen von Kutikule im Clarit

1. Clarit mit dünnen Kutikulenstreifen, mit Resiniten
2. Clarit mit dünnen Küticulen
3. Blätterrest im Horizontalschnitt mit sägenartiger Kutikule
4. aus Blatt entstandener, pyritisierter Clarit mit tonigen Verunreinigungen (Trockenobj. 90×)



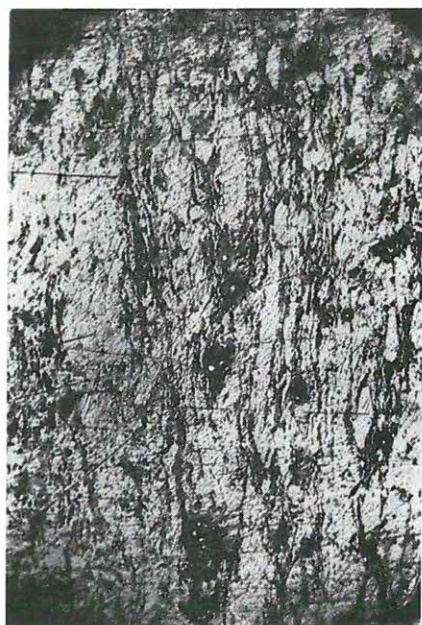
1



2



3



4

32. Tábla — Tafel 32*Epidermisz és paraszövet származékok*

1. Nagymányok 80. minta, pirites klárit hullámos sejtfalú epidermiszből (olaj. obj. 577×)
2. Zobák 10. telep 10. minta, epidermisz és parafoltok a kláritban
3. Nagymányok 22. minta, hasonló, de agyagosodó sejtfalakkal
4. Zobák 10. telep 8. minta, agyagosodó parás sejtfalak

* * *

Epidermis- und Korkgewebeprodukte

1. pyritisierter Clarit aus Epidermis wellenförmiger Wand (Ölobj. 577×)
2. Epidermis und Korkflecke im Clarit
3. gleich dem vorherigen Gebilde mit tonigen Zellwänden
4. tonige, verkorkte Zellwände



1



2



3



4

33. Tábla — Tafel 33*Epidermisz és paraszövet származékok*

1. Zobák 7. telep alsó pad I. minta, paraszövetrészlet és spórák a kláritban (száraz obj. $255\times$)
2. Zobák 10. telep 4. minta, szuberinites klárit
3. Zobák 10. telep 40. minta, széles szuberinitesáv a kláritban
4. Zobák 10. telep 3. minta, „paravánkosok”

* * *

Epidermis- und Korkgewebeprodukte

1. Korkgewebeteil und Sporen im Clarit (Trockenobj. $255\times$)
2. Suberinit – Clarit
3. breiter Suberinitstreifen im Clarit
4. polsterartige Korkbildung



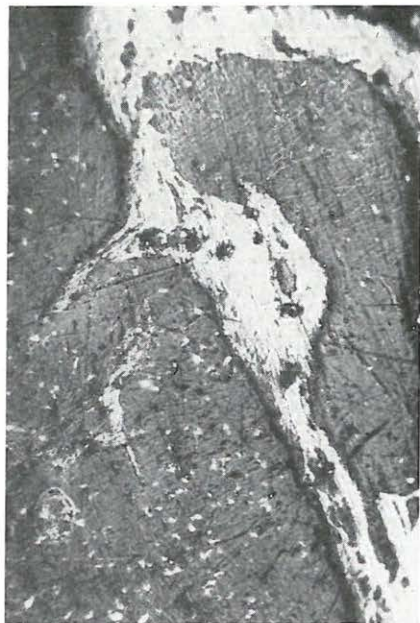
1



2



3



4

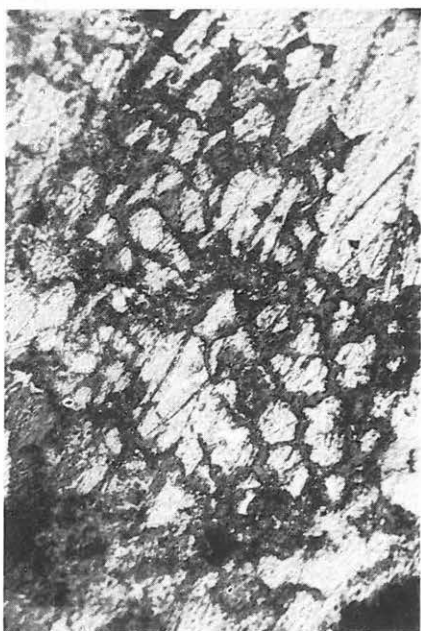
34. Tábla — Tafel 34*Epidermisz és paraszövet származékok*

1. Zobák 10. telep 4. minta, paraszövetrészlet a kláritban
2. Zobák 10. telep 4. minta, paraszövetváltozat a kláritban
3. Zobák 7. telep alsó pad 6. minta, kis sejtlumenű paraszövet és szemifuzinitté alakult epidermisz
4. Zobák 10. telep 4. minta, fuzitosodott paraszövet

* * *

Epidermis- und Korkgewebeprodukte

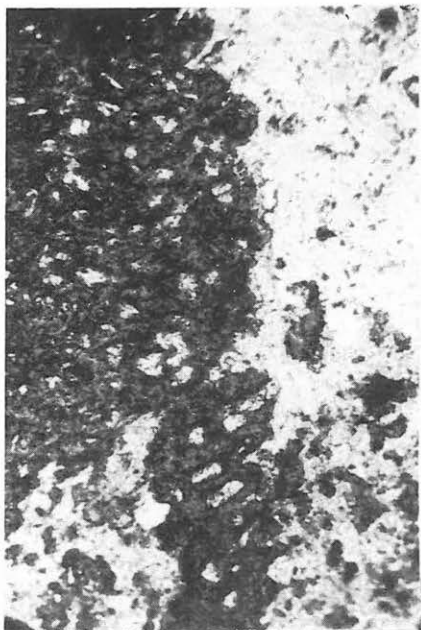
1. Korkgewebenteil im Clarit
2. Korkgewebenabart im Clarit
3. Korkgewebe von kleinem Zell-lumen und in Semifusinit umgewandelte Epidermis
4. fusitisiertes Korkgewebe



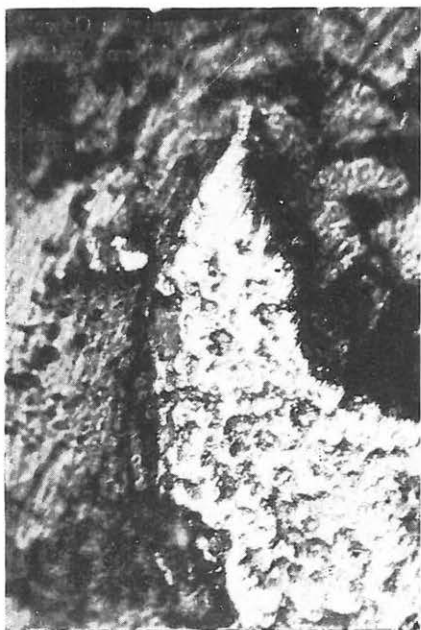
1



2



3



4

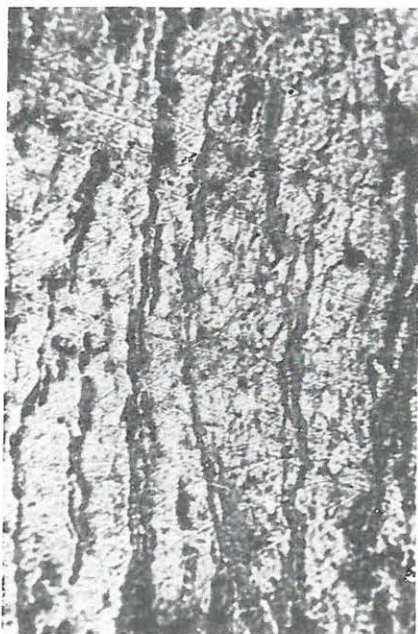
35. Tábla — Tafel 35*Epidermisz és paraszövet származékok*

1. Zobák 50. minta, kéreg ill. periderma eredetű klárit
2. Zobák 50. minta, sávos—foltos periderma klárit
3. Zobák 50. minta, hasonló, de elágazó szövetek a kláritban
4. Zobák 50. minta, spóraszerű periderma eredetű foltok a kláritban

* * *

Epidermis- und Korkgewebeprodukte

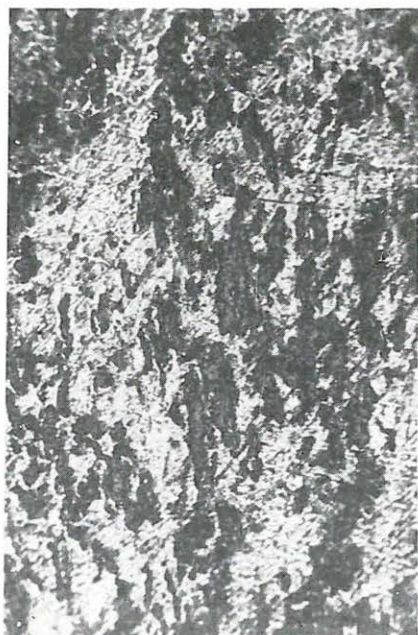
1. aus Rinde, bzw. aus Periderma entstandener Clarit
2. gestreifter—fleckiger Peridermclarit
3. ähnliches, aber verzweigtes Gewebe im Clarit
4. sporenartige, aus Periderma entstandene Flecke im Clarit



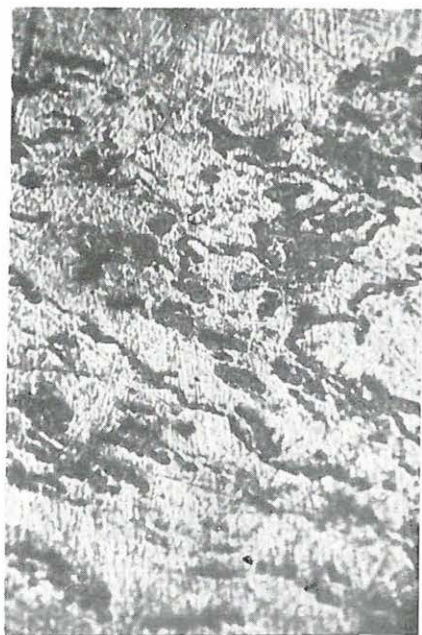
1



2



3



4

36. Tábla — Tafel 36

Szórt, közepes és dús spóratartalmú sávféleségek

1. Zobák 95. minta, hintett spórás klárit egy fuzitfolttal (száraz obj. 255×)
2. Zobák 95. minta, hintett spórás klárodurit, ill. duroklárit (száraz obj. 255×)
3. Zobák 72/10. minta, sűrűn spórás klárit
4. Zobák 72/4. minta, klárit közepes spóratartalommal

* * *

Streifenarten von geringem, mittlerem und reichem Sporenghalt

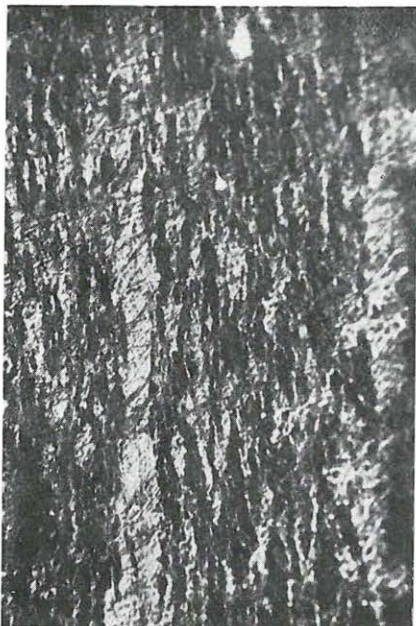
1. Clarit mit dispersen Sporen und mit Fusitfleck (Trockenobj. 255×)
2. Clarodurit, bzw. Duroclarit mit dispersen Sporen (Trockenobj. 255×)
3. Clarit mit häufigen Sporen
4. Clarit von mittlerem Sporenghalt



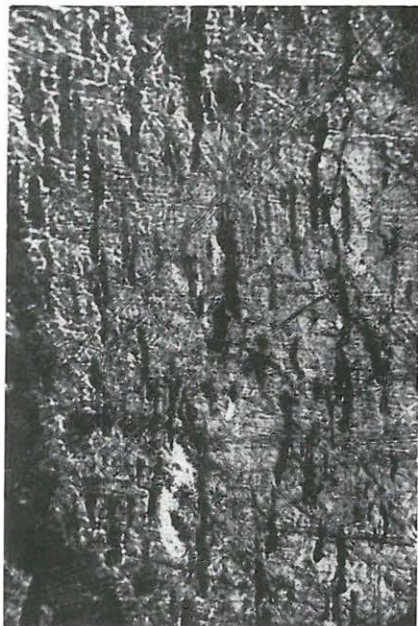
1



2



3



4

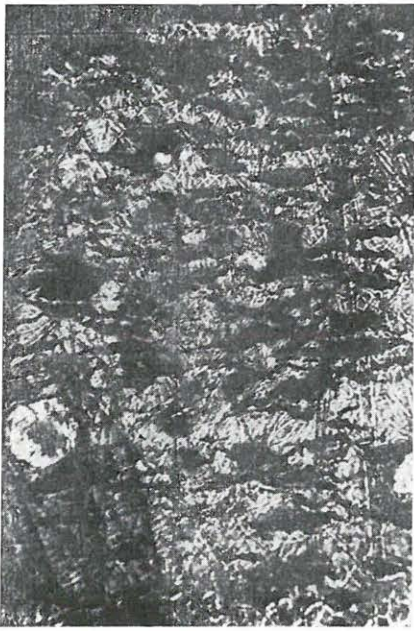
37. Tábla — Tafel 37*Egyéb klárítípusok*

1. Zobák 113. minta, exinitszövedékes klárit
2. Zobák 111. minta, exinitfoltos klárit
3. Zobák 72/15 minta, köteges megjelenésű, védőszöveti származású klárit
4. Zobák 72/15. minta, sávos—köteges kifejlődésű klárit

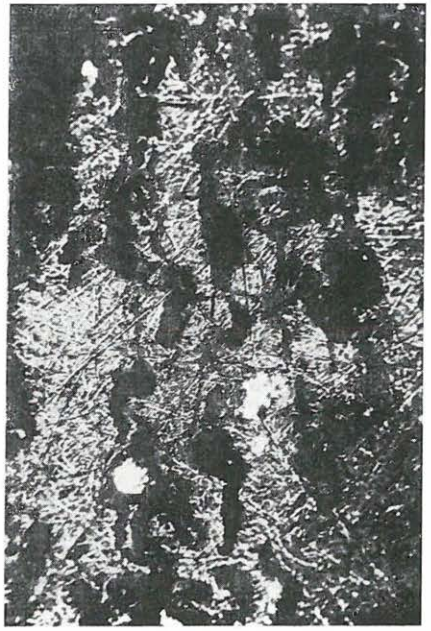
* * *

Andere Clarittypen

1. Clarit mit Exinitgewebe
2. exinitfleckiger Clarit
3. Schutzgewebeclarit von bündelförmigem Aussehen
4. streifen—bündelförmiger Clarit



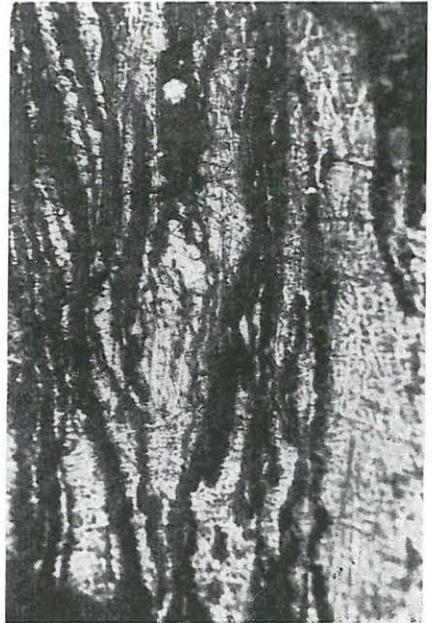
1



2



3



4

38. Tábla — Tafel 38*Egyéb klárítípusok*

1. Zobák 165. minta, spórás—kutikulás klárit
2. Zobák 10. telep 12. minta, mikrinnel szennyezett védőszöveti eredetű, foltos ki-fejlődésű klárit
3. Zobák 45. minta, spórahalmazok a kláritban
4. Nagymányok 22. minta, makrospórák (?) a kláritban

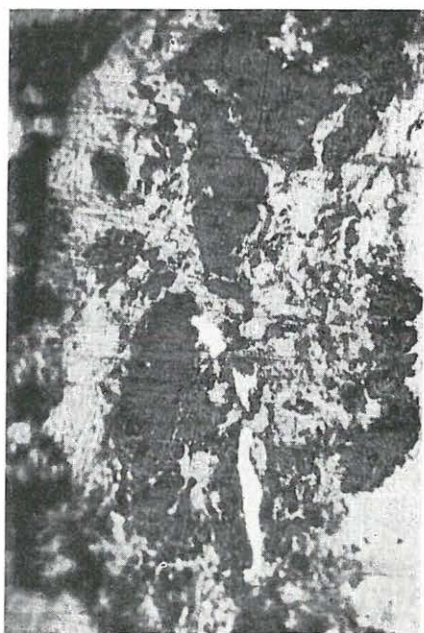
* * *

Andere Clarittypen

1. Sporiger Kutikulen-Clarit
2. mit Mikrinit verunreinigter, aus Schutzgewebe entstandener, fleckige Clarit
3. Sporenanhäufungen im Clarit
4. Makrosporen (?) im Clarit



1



2



3



4

39. Tábla — Tafel 39*Gyantaszármazékok és ismeretlen bituminit a kláritban*

1. Zobák 7. telep alsó pad 6. minta, rezinitfoltos klárit
2. Zobák 10. telep 2. minta, spórás, kutikulás, rezinites klárit
3. Zobák 72/15. minta, spórás, rezinites, pirites klárit
4. Zobák 7. telep alsó pad 7. minta, klárit ismeretlen eredetű liptinittel

* * *

Harzprodukte und unbekannter Bituminit im Clarit

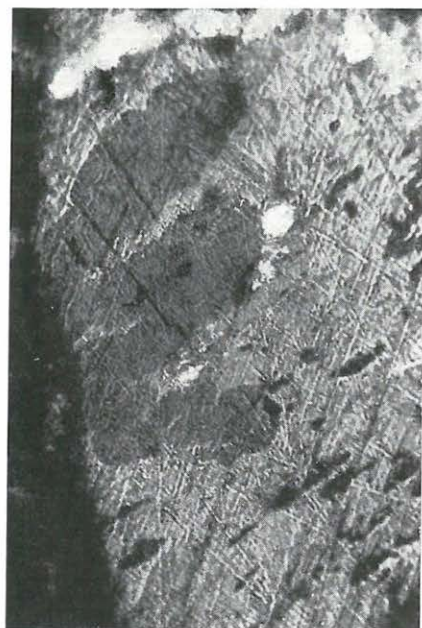
1. resinitfleckiger Clarit
2. Sporen, Kutikule, Resinit führender Clarit
3. Sporen-, Resinit-führender, pyritisierter Clarit
4. Clarit mit Liptinit unbekannter Herkunft



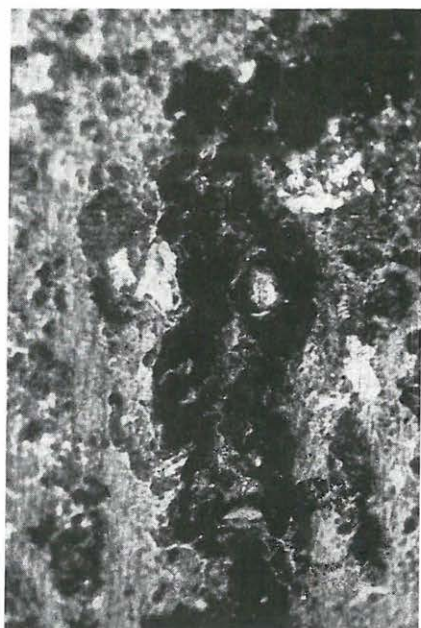
1



2



3



4

40. Tábla — Tafel 40

Agyagos szennyezés és liptodetritusz a klárítban

1. Zobák 10. telep 2. minta, levélfelhalmozódásból származó, agyagos szennyezésű klárít
2. Zobák 10. telep 10. minta, vitritlencés, spórinites, agyagos szennyezésű klárít
3. Zobák 10. telep 1. minta, liptodetrituszos, vitritlencés agyagos szennyezésű klárít
4. Zobák 7. telep alsó pad 10. minta, spórinites, liptodetrituszos, mikrinites duroklárít

* * *

Tonige Verunreinigungen und Liptodetritus im Clarit

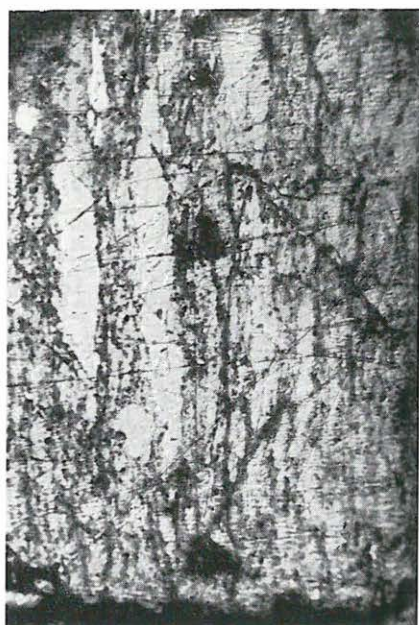
1. aus Blätteranhäufung entstandener durch Ton verunreinigter Clarit
2. toniger Clarit mit Vitritlinsen und Sporiniten
3. toniger Clarit mit Liptodetritus und Vitritlinsen
4. Duroclarit mit Sporinit, Liptodetritus und Mikrinit



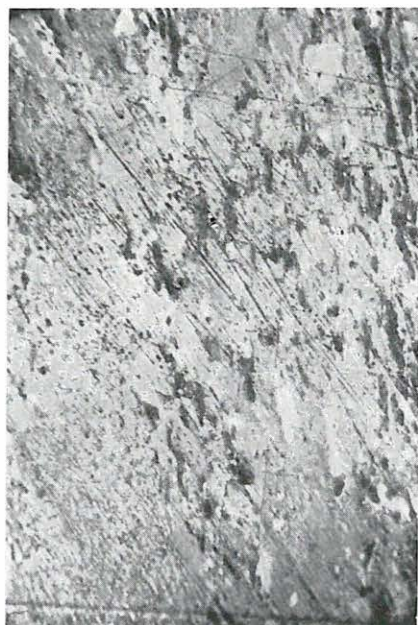
1



2



3



4

41. Tábla — Tafel 41

Jellemző klárítípusok az enyhe hőhatás és a karbonátosodás körzetében

1. Zobák 230. minta, köteges kifejlődésű, védőszöveti eredetű, pirites klárit
2. Zobák 216. minta, védőszövet és spórák a pirites kláritban
3. Zobák 210. minta, sporangium eredetű exinithalmaz a kláritban
4. Zobák 230/3. minta, a vitritsáv alatti durokláritban hőbomlás eredetű szennyezés és lyukacsosodás
5. Zobák 230/4. minta, spórás klárit
6. Zobák 7. telep alsó pad 10. minta, spórás, kutikulás, liptodetrizusos duroklárit—klárit

* * *

Charakteristische Clarittypen in der unmittelbaren Umgebung von schwachem Wärmeeffekt und Karbonatisierung

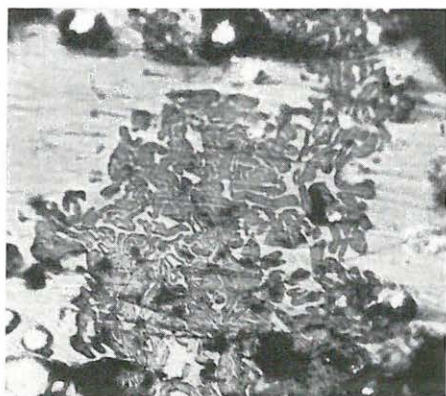
1. bündelförmiger, aus Schutzgewebe entstandener pyritisierter Clarit
2. Schutzgewebe und Sporen in pyritisiertem Clarit
3. aus Sporangium entstandene Exinitanhäufung im Clarit
4. infolge einer Wärmewirkung entstandene Verunreinigung und Porosität im Duroclarit unter dem Vitritstreif
5. sporiger Clarit
6. Sporen-, Kutikulen-, Liptodetrizus-führender Duroclarit—Clarit



1



2



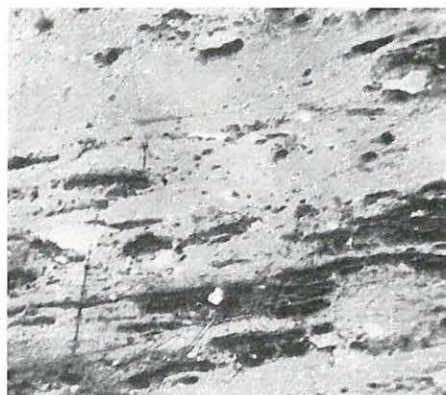
3



4



5



6

42. Tábla — Tafel 42

Inertté alakuló exinit–liptinit elegyrészek

1. Zobák 99. minta, gombahatásra inertté alakuló exinitek
2. Zobák 99. minta, inertté alakult és eredeti exinitek a durokláritban
3. Zobák 108. minta, átalakuló exinitek
4. Zobák 7. telep alsó pad 7. minta, azonos morfológiájú inert és liptinit foltok
5. Zobák 133. minta, a kép felső részén megfigyelhető kutikula inert mása, nagyobb nagyítással a 6. képen (olajimmerz. obj. 330×)
6. Nagymányok 50. minta, az inert sávok exinites megfelelője az 5. képen (olajimmerz. obj. 577×)

* * *

Exinit–Liptinitbestandteile inerner Umwandlung

1. auf Wirkung von Pilzen inert gewordene Exinite
2. inert gewordene und originale Exinite im Duroclarit
3. Exinite, in Umwandlung begriffen
4. inerte und Liptinitflecke gleicher Morphologie
5. inertes Äquivalent der im oberen Bildteil bemerkbaren Kutikule, von grösserer Vergrößerung auf dem Bild 6. (Objektiv in Ölimmersion 330×)
6. Exinitisiertes Gegenstück der inerten Streifen auf dem Bild 5 (Objektiv in Ölimmersion 577×)



1



2



3



4



5



6

43. Tábla — Tafel 43

Klárít—durít átmenetek

1. Zobák 10. telep 37. minta, spórás klárít—duroklárít éles határú, élénkfehér, gömbölyded gombaszármazékkal vagy mikrinittel
2. Nagymányok 72. minta, klárodurít éles határú, sarkos mikrinitekkel
3. Zobák 10. telep 38. minta, finomszemcsés és foltos mikrinitkifejlődés a vitrinertit és duroklárítban
4. Nagymányok 76. minta, a durítban elmosódott határú, foltos mikrinitek

* * *

Clarit—Durit-Übergänge

1. sporiger Clarit—Duroclarit, mit lebhaft-weissen, kugelförmigen Pilzprodukten von scharfem Umriss und mit Mikrinit
2. Clarodurit mit eckigen Mikriniten von scharfem Umriss
3. feinkörniger und fleckiger Mikrinit im Vitrinertit und Duroclarit
4. fleckige Mikrinite im Durit von verwischem Umriss



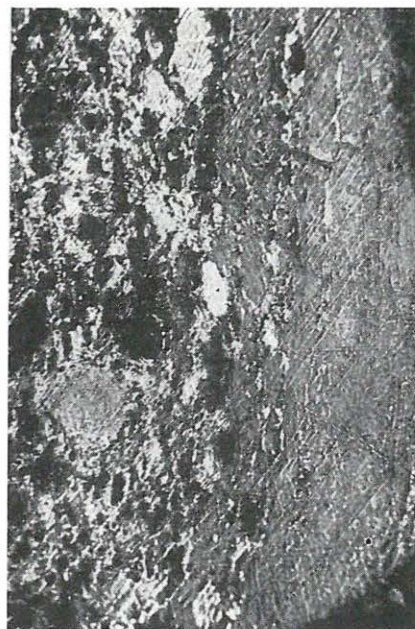
1



2



3



4

44. Tábla — Tafel 44

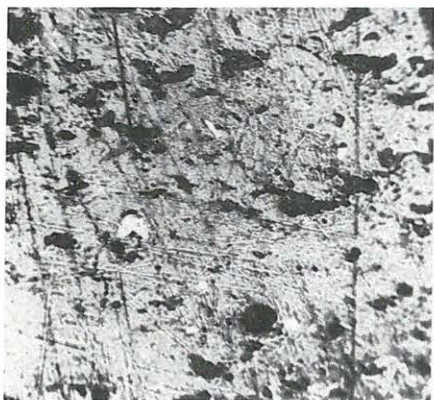
Klárít—durít átmenetek

1. Zobák 10. telep 37. minta, mikrinnel szennyezett klárít liptodetrítusszal és spórákka
2. Zobák 99. minta, harasztspórás duroklárít
3. Nagymányok 24. minta, liptodetrítuszos duroklárítsávok
4. Zobák 72/13. minta, duroklárít jellegtelen exinitekkel
5. Nagymányok 74. minta, spórás duroklárít
6. Nagymányok 17. minta, duroklárít harasztspórákkal

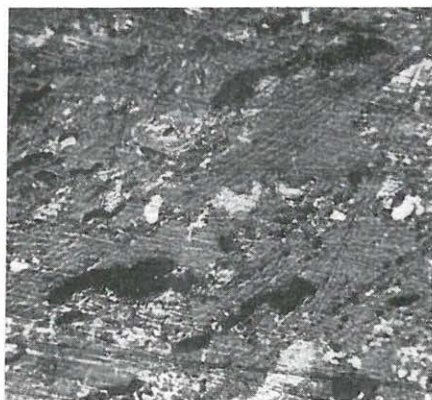
* * *

Clarit—Durit-Übergänge

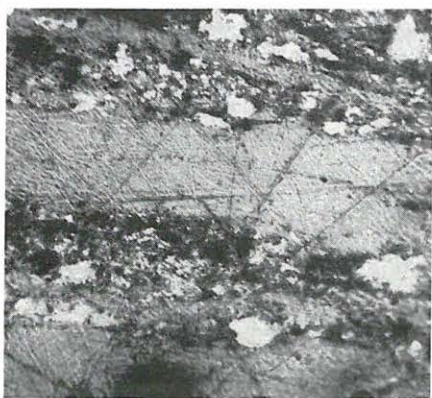
1. mit Mikrinit verunreinigter Clarit mit Liptodetritus und Sporen
2. Duroclarit mit Farnsporen
3. Duroclaritstreifen mit Liptodetritus
4. Duroclarit mit uncharakteristischen Exiniten
5. sporiger Duroclarit
6. Duroclarit mit Farnsporen



1



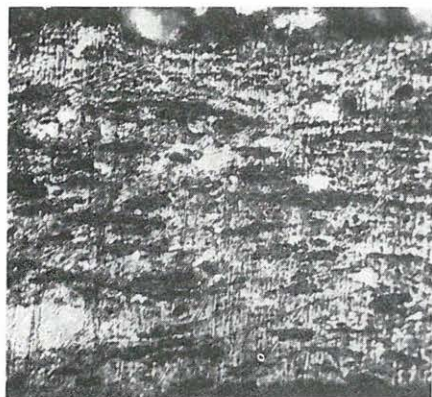
2



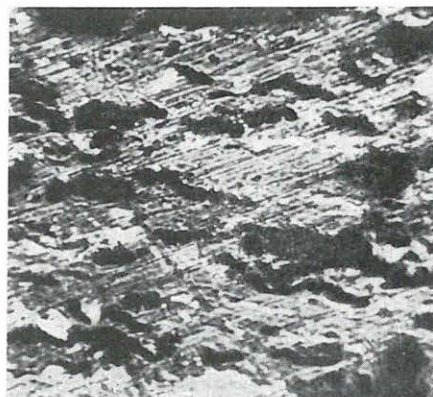
3



4



5



6

45. Tábla — Tafel 45*Klárít—durít átmenetek*

1. Zobák 39. minta, parafoltos klárodurít
2. Zobák 52. minta, vitrittel elválasztott inert alapanyagú durítsávok
3. Nagymányok 76. minta, tömött durít, inert lenesékkal
4. Nagymányok 76. minta, finom vitrit és durítsávok váltakozása

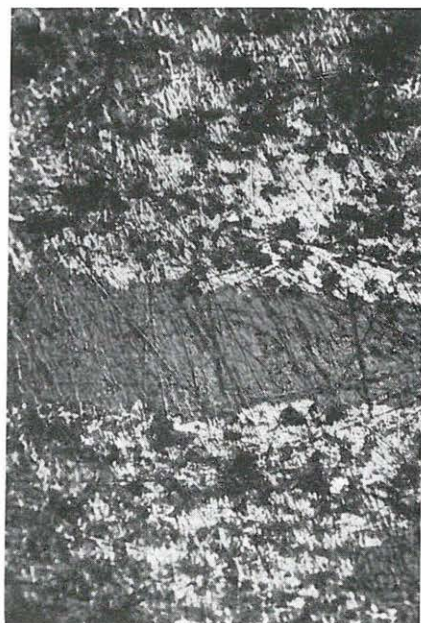
* * *

Clarit—Durit-Übergänge

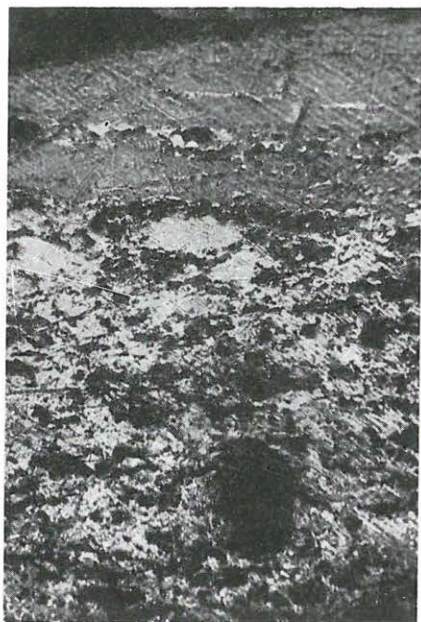
1. korkfleckiger Clarodurít
2. durch Vitrit abgetrennte Duritstreifen in inerter Grundmasse
3. dichter Durit mit inerten Linsen
4. Abwechslung von feinem Vitrit- und Duritstreifen



1



2



3



4

46. Tábla — Tafel 46*Klárít—durít átmenetek*

1. Zobák 133. minta, a fuzit és klárít határán azonos morfológiájú, csak színben különböző kötegek
2. Zobák 64. minta, periderma eredetű klárít mellett hasonló fuzit
3. Zobák 50. minta, inertté alakulás a védőszöveten belül, durít-megjelenéssel
4. Zobák 64. minta, fuzitosodó kéregrészlet

* * *

Clarit—Durit-Übergänge

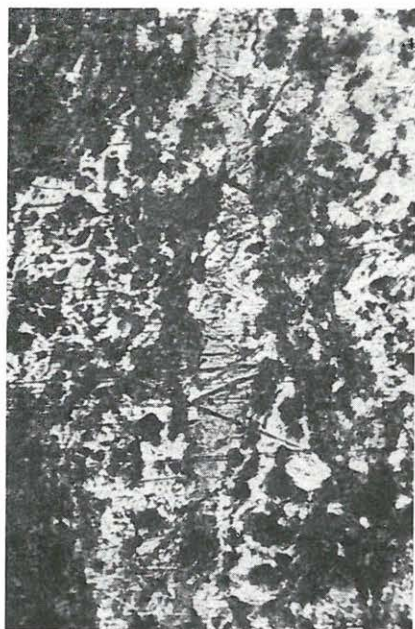
1. morphologisch gleiche, nur in Farbe abweichende, verschiedene Bündel an der Grenze von Fusit und Clarit
2. ähnlicher Fusit neben dem, aus Periderma entstandenen Clarit
3. inerte Umwandlung innerhalb des Schutzgewebes von Duritcharakter
4. fusitisierter Rindteil



1



2



3



4

47. Tábla — Tafel 47

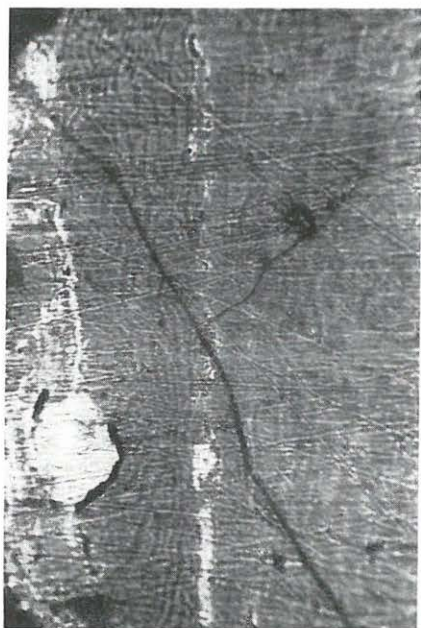
Klárít—durít átmenetek

1. Zobák 95. minta, telinit inert kezdeményekkel
2. Zobák 95. minta, a spórás duroklárít mellett az előbbi telinit átalakulóban
3. Zobák 95. minta, az előbbi telinitek fuzitosodott megjelenése a finom mikrinites duroklárít mellett
4. Zobák 95. minta, csak erre a mintára jellemző fuzitfoltok a finom és lencés mikrinites duroklárítban

* * *

Clarit—Durit-Übergänge

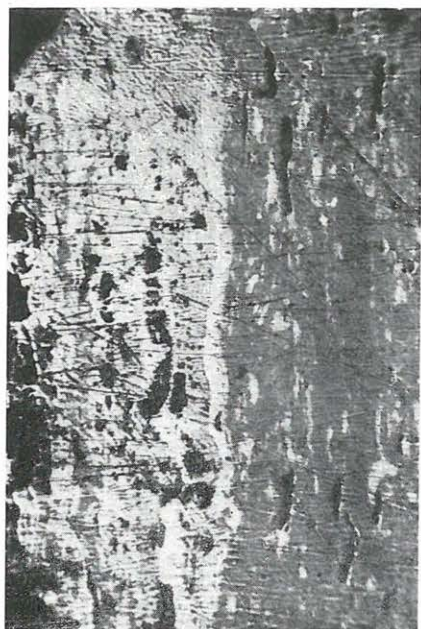
1. Telinit mit inerten Anlagen
2. neben sporigem Duroclarit der vorige sich umwandelnde Telinit
3. die fusitisierte Erscheinung der vorigen Telinite neben den fein mikrinitisierten Duroclarit
4. nur auf diese Probe charakteristische Fusitflecke im fein und linsenförmig mikrinitisierten Duroclarit



1



2



3



4

48. Tábla — Tafel 48

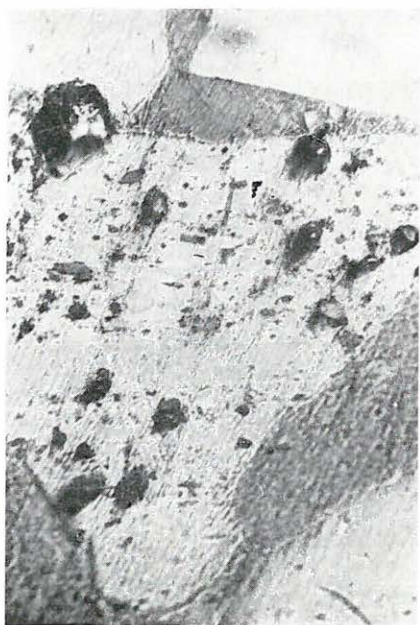
Kvarc és enyhe hőhatásra utaló karbonátkiválások a kőszénben

1. Szászvár 87/27. minta, erősen reliefes kvarcbetelepülések és gyengébben reliefes karbonátkiválások a vitrinertitben (száraz obj. 255×)
2. Előző kép részlete olajimmerzióval 330×
3. Szászvár 87/27 minta, karbonátkiválások kláritszerű megjelenéssel (száraz obj. 255×)
4. Előző kép részlete olajimmerzióval 330×

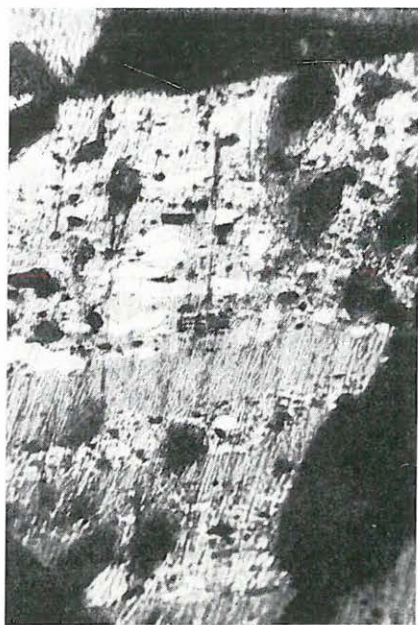
* * *

*Quarz und von schwacher Wärmewirkung zeugende Karbonatausscheidungen
in der Kohle*

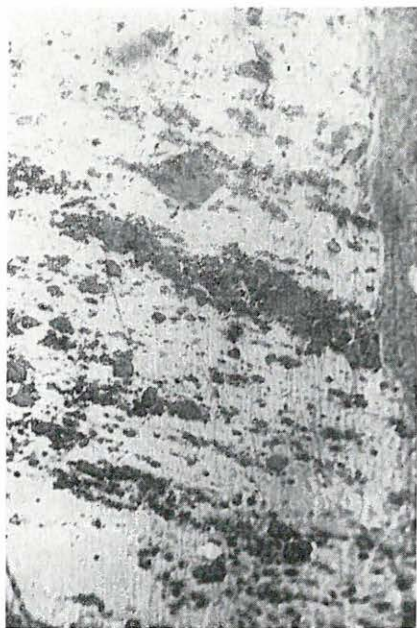
1. Quarzeinlagerungen von ausgeprägtem Relief und Karbonatausscheidungen von schwächerem Relief im Vitrinertit (Trockenobj. 255×)
2. Ein Teil des vorherigen Bildes in Ölimmersion (Verg. 330×)
3. Karbonatausscheidungen mit claritartiger Erscheinung (Trockenobj. 255×)
4. Ein Teil des vorherigen Bildes in Ölimmersion (Verg. 330×)



1



2



3



4

49. Tábla — Tafel 49

Kvarc és enyhe hőhatásra utaló karbonátkiválások a kőszénben

1. Szászvár 87/57. minta, a kőszén klárítszerű megjelenése karbonátbetelepülések következtében
2. Szászvár 87/31. minta, hasonló, de több kiválással
3. Szászvár 87/31. minta, hasonló az előzőkhöz
4. Szászvár 87/6. minta, horizontális metszésben az ásványos betelepülés szöveti szerkezetet idéz
5. Szászvár 87/21. minta, inert elegyrészekkel a karbonátbetelepülések durokláritra, illetve klároduritra emlékeztetnek
6. Szászvár, János-telep csapásmenti 87. minta, durit jellegű sáv kovakiválásokkal

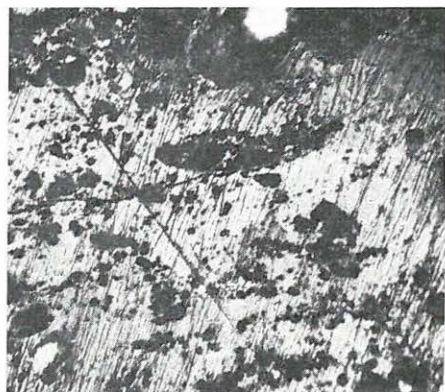
* * *

*Quarz und von schwacher Wärmewirkung zeugende Karbonatausscheidungen
in der Kohle*

1. claritartige Erscheinung der Kohle infolge Karbonatausscheidungen
2. dem ersteren ähnlich, mit mehr Ausscheidung
3. dasselbe
4. die Mineraleinlagerung stellt ein Gewebetextur im Horizontalschnitt dar.
5. die Karbonateinlagerungen erinnern mit den inerte Bestandteilen an Duroclarit, bzw. an Clarodurit
6. ein Streifen von Duritcharakter mit Kieselausscheidungen



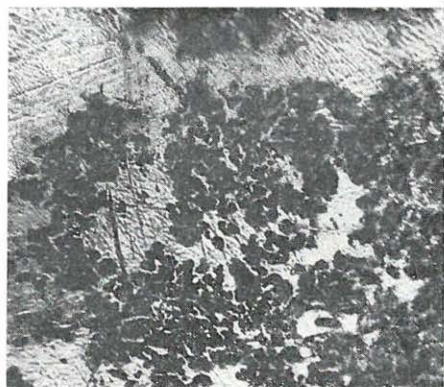
1



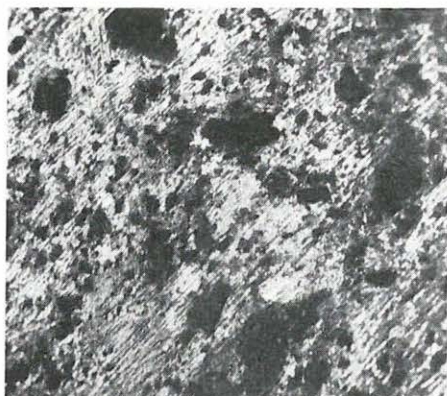
2



3



4



5



6

50. Tábla — Tafel 50

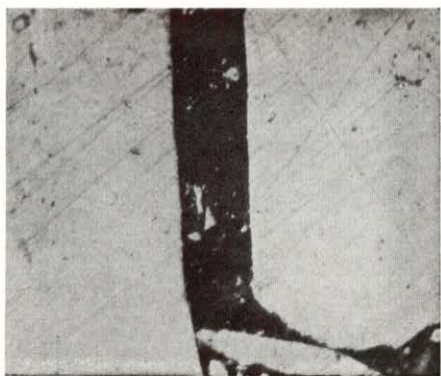
Dél-mecseki sávtípusok

1. István-akna 23. telep 3. minta frontfejtés, homogén vitritek a poresizolatban
2. Vasas 11. telep III. gömbkőszén, halvány spórányomok a kőszénben
3. Vasas, 11. telep III. gömbkőszén, halvány kutikulanyomok a kőszénben
4. István-akna 23. telep 5. minta frontfejtés, vitrinertit_v mikrinittel és fuzitkezdeménynyel
5. István-akna 23. telep 3. minta frontfejtés, vitrinertit_v + vitrit
6. András-akna 42. minta, pirit-, agyag- és szulfátbetelepülések az egykori kláritban

* * *

Südmecseker Streifenarten

1. homogene Vitrite im Pulverschliff
2. blasse Sporensuren in der Kohle
3. blasse Kutikulensuren in der Kohle
4. Vitrinertit_v mit Mikrinit und mit Fusitanlagen
5. Vitrinertit_v + Vitrit
6. Pyrit-, Ton- und Sulfateinlagerungen im einstigem Clarit



1



2



3



4



5



6

51. Tábla — Tafel 51

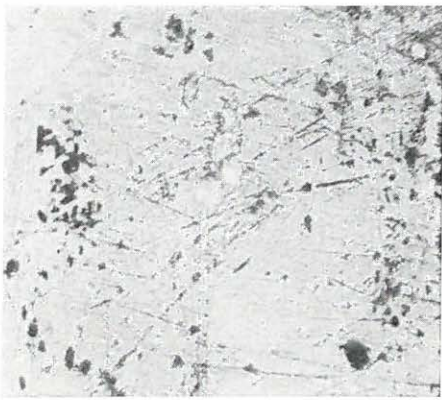
Dél-mecseki sávtípusok

1. András-akna 35. minta, szervesetlen szennyezések és fuzitkezdemények a vitrinertitben
2. András-akna 42. minta, a klárítszerű megjelenés a szervesetlen betelepülések következtében megmaradt, holott az eredeti exinit—liptinit elegyrészek elbomlottak
3. András-akna 55. minta, a sávos kőszén egykori klárítsávjai ma szennyezett vitritek
4. István-akna 6. telep 2. minta, klárit eredetű szennyezett vitrit egy gombaszkleroциummal
5. István-akna 23. telep 4. minta, klárodurit eredetű vitrinertit
6. István-akna 6. telep 3. minta, klárodurit jellegű sáv, részben még nyomozható elbomlott exinit—liptinit elegyrészekkel, túlnyomóan szervesetlen betelepülésekkel a helyükön

* * *

Südmecseker Streifenarten

1. anorganische Verunreinigungen und Fusitanlagen im Vitrinertit
2. das claritartige Aussehen ist infolge der anorganischer Einlagerungen erhalten geblieben, während die originalen Exinit—Liptinitbestandteile abgebaut zersetzt worden sind
3. einstige Claritstreifen der Streifkohle sind gegenwärtig verunreinigte Vitrite
4. aus Clarit entstandener verunreinigter Vitrit mit einem Pilzsklerozium
5. aus Clarodurit entstandener Vitrinertit
6. claroduritartiger Streifen, zum Teil noch mit verfolgbaren zersetzten Exinit—Liptinitbestandteilen, überwiegend mit anorganischen Einlagerungen



1



2



3



4



5



6

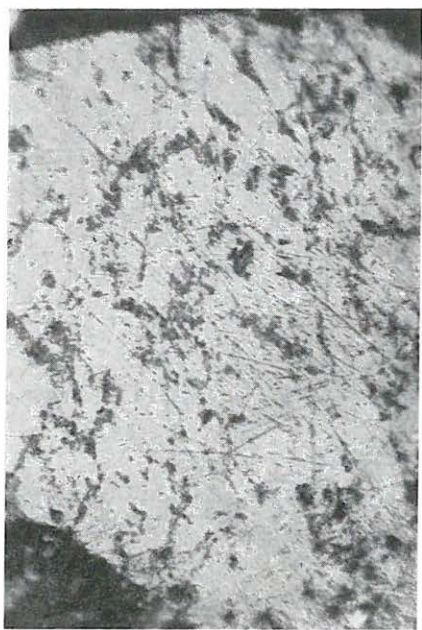
52. Tábla — Tafel 52*Dél-mecseki sávtípusok*

1. András-akna 35. minta, agyagos szennyezésű vitrit
2. András-akna 52. minta, faszöveti eredetű fuzovitrit, kovakiválásokkal
3. András-akna 52. minta, a faszöveti eredetű szennyezett vitritben egy ép tangenciális bélsugár részlet
4. András-akna 54. minta, faszöveti eredetű, kvarcosan szennyezett szemifuzinit

* * *

Südmecseker Streifenarten

1. Vitrit mit toniger Verunreinigung
2. aus Holzgewebe entstandener Fusovitrit mit Kieselausscheidungen
3. unversehrter tangentialer Markstrahlteil im aus Holzgewebe entstandenen verunreinigten Vitrit
4. aus Holzgewebe entstandener, mit Quarz verunreinigter Vitrit



1



2



3



4

53. Tábla — Tafel 53*Dél-mecseki sávtípusok*

1. István-akna 15. telep 63. minta, faszöveti eredetű vitrit és szennyezett vitrit
2. István-akna 15. telep 61. minta, faszöveti eredetű szennyezett vitrinertit
3. István-akna 15. telep 61. minta, faszöveti eredetű vitrit és szemifuzinit
4. István-akna 15. telep 61. minta, faszöveti eredetű kvarcos égőpala

* * *

Südmecseker Streifenarten

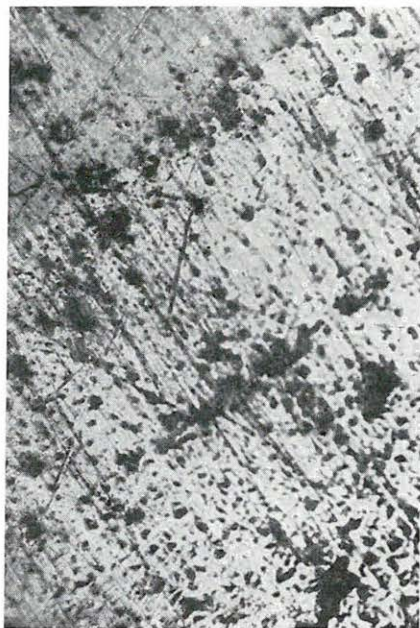
1. aus Holzgewebe entstandener und verunreinigter Vitrit
2. aus Holzgewebe entstandener verunreinigter Vitrinertit
3. aus Holzgewebe entstandener Vitrit und Semifusinit
4. aus Holzgewebe entstandener Brandschiefer und Quarz



1



2



3



4

54. Tábla — Tafel 54*Dél-mecseki sávtípusok*

1. István-akna 29. telep mikroszelvény 18. minta, edényes faszövetből származó fuzit-fuzovitrít
2. András-akna 35. minta, edényes faszövetből származó fuzovitrít
3. András-akna 35. minta, faszöveti rostok a fuzovitrítben
4. András-akna 35. minta, ua. a faszövet másik részlete

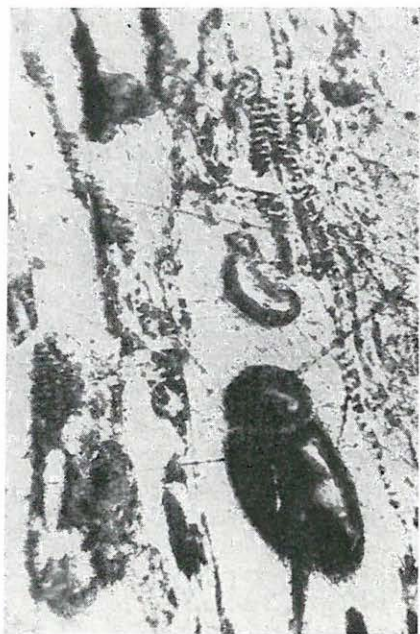
* * *

Südmecseker Streifenarten

1. aus Holzgewebegefässen entstandener Fusit—Fusovitrít
2. aus Holzgewebegefässen entstandener Fusovitrít
3. Holzgewebe-Fasern im Fusovitrít
4. anderer Holzgewebeteil



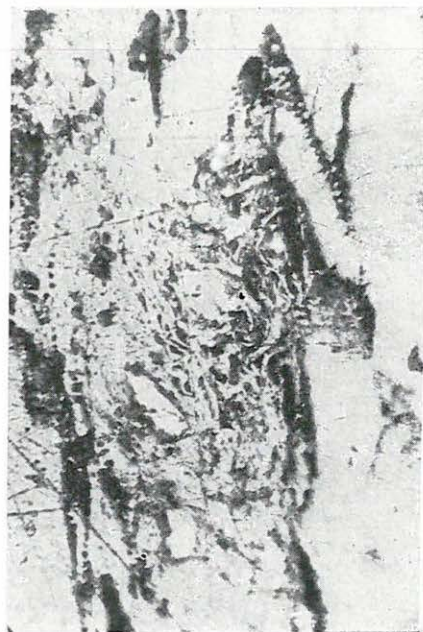
1



2



3



4

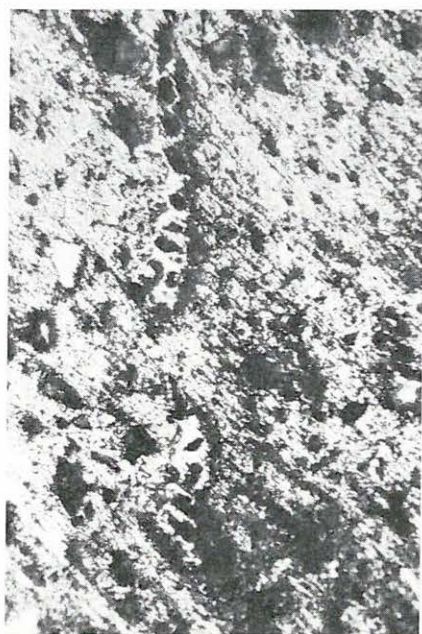
55. Tábla — Tafel 55*Kennel jellegű kőszén a Dél-Mecsekben*

1. István-akna 15. telep 5. minta, részlet a kennelszerű kőszénből, kvarcbetelepülésekkel
2. István-akna 15. telep, hasonló kifejlődés
3. István-akna 15. telep, erősebben kvarcos és pirites részlet a kennelszerű kőszénből
4. István-akna 15. telep, kvarcos égőpala a kennelszerű kőszénben

* * *

Kennelartige Kohle aus dem Südmecsek

1. Detail der kennelartigen Kohle mit Quarzeinlagerungen
2. d. s.
3. stark quarzführender und pyritisierter Teil aus kennelartiger Kohle
4. quarzführender Brandschiefer in der kennelartigen Kohle



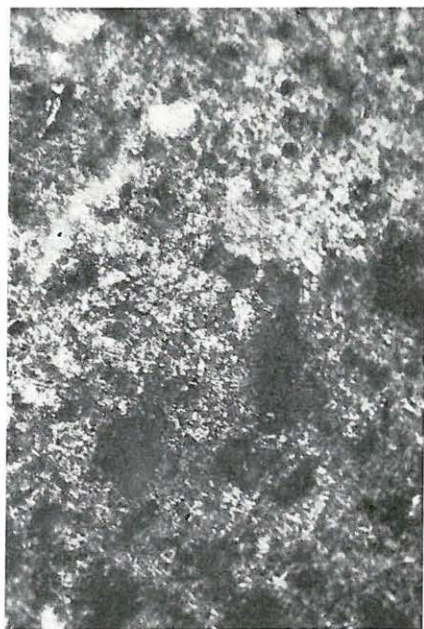
1



2



3



4

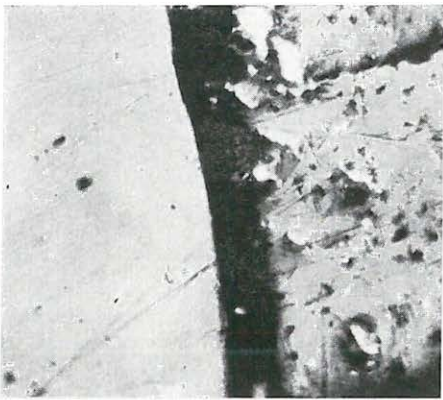
56. Tábla — Tafel 56*Hőhatás — kokszosodás*

1. Zobák 210/a. 3. minta, az átlagmintán belüli porcsizolatban ép és hőbomlást szenvedett vitrit
2. Zobák 216. minta, hőbomlási jelenségek és másodlagos piritesedés a vitrites égőpalában
3. Zobák 216. minta, hőbomlás a vitrit és duritsávokban
4. Zobák 210/a. 3. minta, vitrinertit hőbomlási jelenségekkel
5. Zobák 210/a. 3. minta, fuzit keresztmetszet u. itt
6. Zobák 210/a. 3. minta, fuzit hosszmetset u. itt

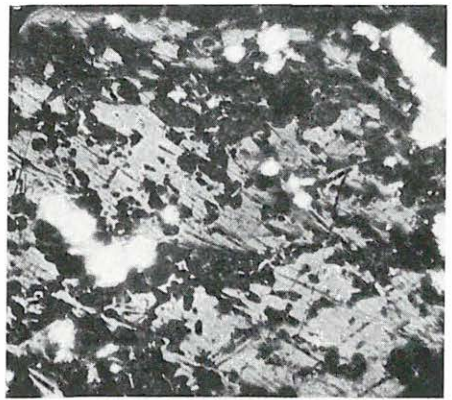
* * *

Wärmewirkung — Verkokung

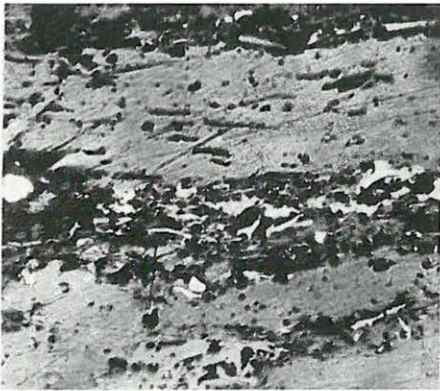
1. ein unversehrter und ein thermisch abgebauter Vitrit im Pulverschliff (innerhalb der Durchschnittprobe)
2. thermische Zersetzungserscheinungen und sekundäre Pyritisierung im Brandschiefer
3. thermische Zersetzung in dem Vitrit- und Duritstreifen
4. Vitrinertit mit Erscheinungen thermischer Zersetzung
5. Fusitquerschnitt ebenda
6. Fusitlängsschnitt ebenda



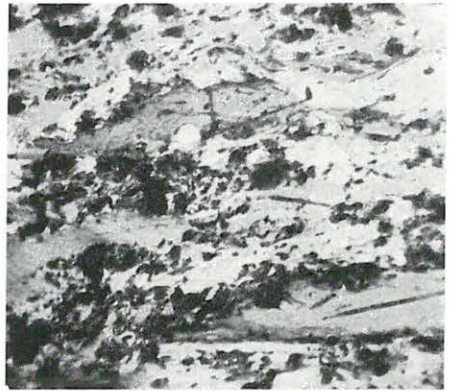
1



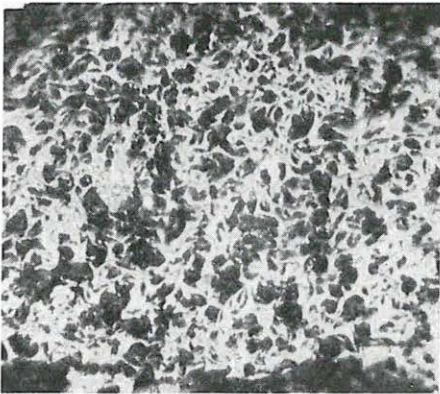
2



3



4



5



6

57. Tábla — Tafel 57

Hőhatás — kokszosodás

1. Szászvár, János-telep csapásmenti 92. minta, koksvitrit karbonátkiválásokkal
2. Szászvár, János-telep csapásmenti 95. minta, kokstelinit
3. Szászvár, János-telep csapásmenti 89. minta, nagyobb karbonátkiválások a kokszosodó kőszénben
4. Szászvár, János-telep csapásmenti 92. minta, koksfuzit-sávok között koksvitrit
5. Szászvár, János-telep csapásmenti 95. minta, változatlan scleroidaeredetű vitritfoltok a koksfuzit- ill. duritban
6. Szászvár, János-telep csapásmenti 89. minta, szideritkiválások a kokszosodó faszöveti vitritben

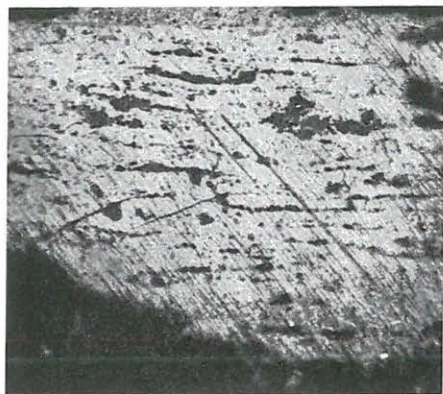
* * *

Wärmewirkung — Verkokung

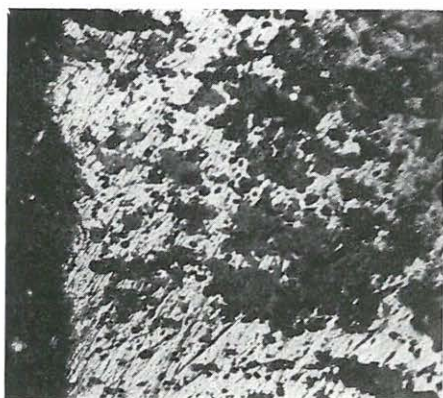
1. Koksvitrit mit Karbonatausscheidungen
2. Kokstelinit
3. grössere Karbonatausscheidungen in den in Verkokung begriffenen Kohle
4. Koksvitrit zwischen den Koksfusitstreifen
5. unveränderliche, aus Scleroiden entstandene Vitritflecke im Koksfusit, bzw. im Durit
6. Sideritausscheidungen in dem in Verkokung begriffenen Holzgewebevitrit



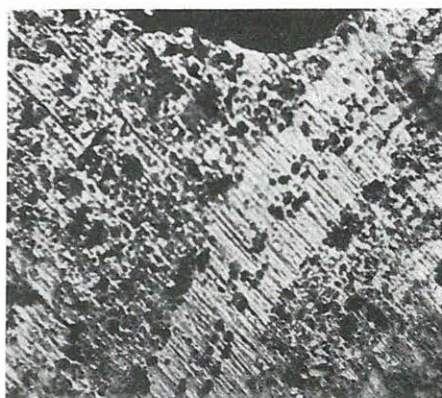
1



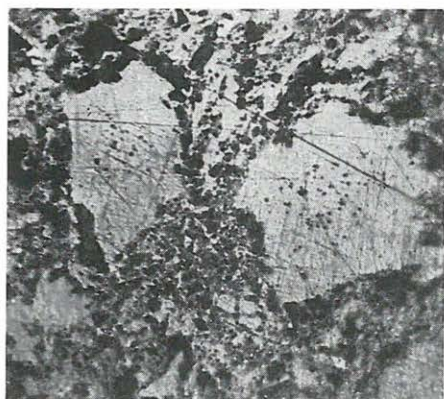
2



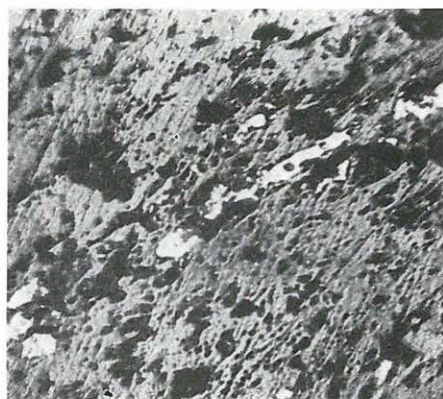
3



4



5



6

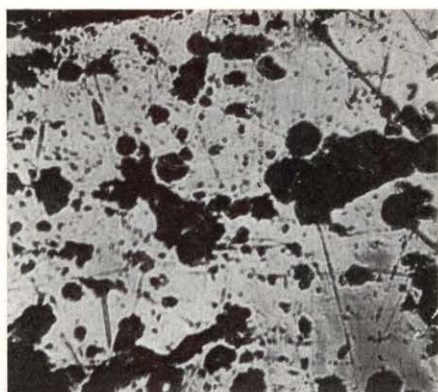
58. Tábla — Tafel 58*Hőhatás — kokszosodás*

1. Szászvár 4. minta, átmenet a kokszvitrítből a hólyagos természetes kokszt felé, elbomlott piritglobulitokkal
2. Szászvár 8. minta, hólyagosodó természetes kokszt
3. Szászvár 2. minta, hólyagos természetes kokszt
4. Szászvár 2. minta, faszöveti eredetű hólyagos természetes kokszt
5. Szászvár 3. minta, hólyagos természetes kokszt
6. Hetény 21. sz. fúrás, faszöveti eredetű hólyagos természetes kokszt

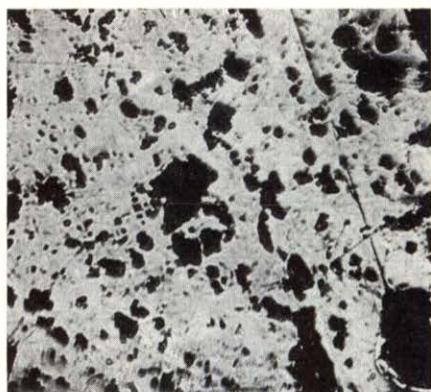
* * *

Wärmewirkung — Verkokung

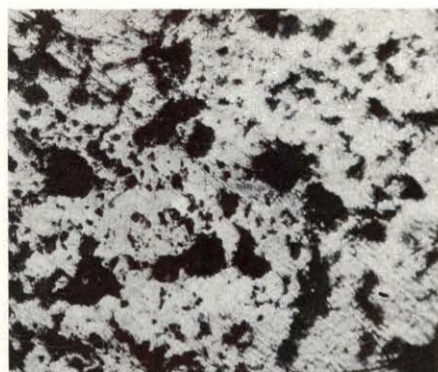
1. Übergang von Koksvitrit in einen blasigen Naturkoks mit zersetzten Pyritglobuliten
2. blasiger Naturkoks
3. blasiger Naturkoks
4. aus Holzgewebe entstandener, blasiger Naturkoks
5. blasiger Naturkoks
6. aus Holzgewebe entstandener, blasiger Naturkoks



1



2



3



4



5



6

59. Tábla — Tafel 59

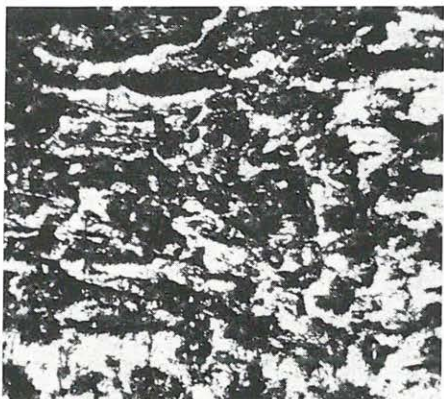
Hőhatás — kokszosodás

1. Zobák 30. minta, faszöveti eredetű hólyagos természetes koksz
2. Szászvár, János-telep csapásmenti 89. minta, mérsékeltőbb hőhatásra keletkezett faszöveti eredetű kokszfuzit
3. Szászvár, Franciska-telep 141. minta, durit eredetű hólyagos természetes koksz
4. Zobák 30. minta, faszöveti eredetű hólyagos természetes koksz és égőpala
5. Zobák 30. minta, nagy hólyagos természetes koksz
6. Szászvár 157. minta, eredeti gélfuzit a természetes kokszos környezetből

* * *

Wärmewirkung — Verkokung

1. aus Holzgewebe entstandener, blasiger Naturkoks
2. infolge einer ermässigten Wärmewirkung, aus Holzgewebe entstandener Koksfuzit
3. aus Durit entstandenen, blasiger Naturkoks
4. aus Holzgewebe entstandener, blasiger Naturkoks und Brennschiefer
5. Naturkoks mit grossen Blasen
6. originaler Gelfuzit aus der Umgebung von Naturkoks



1



2



3



4



5



6

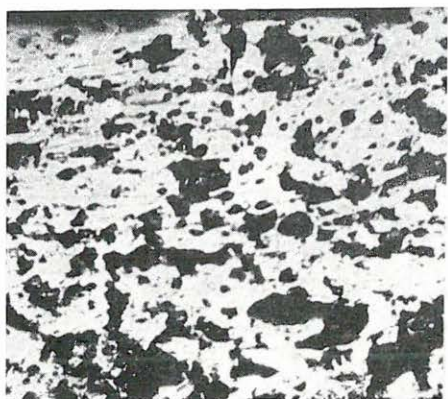
60. Tábla — Tafel 60*Hőhatás — kokszosodás*

1. Szászvár 158. minta, telinit eredetű természetes koks
2. Szászvár 158. minta, fuzitmaradvány a kokszból
3. Szászvár 154. minta, a sejtes szerkezetnek megfelelő hólyagosodás (epidermisz?)
4. Szászvár 154. minta, klárit eredetre valló kokszosodás
5. Szászvár 157. minta, kokszosodó epidermisz és kutikula-klárit
6. Szászvár, Franciska-telep 140. minta, a karbodácitához sült hólyagos természetes koks elbomlott piritglobulitokkal

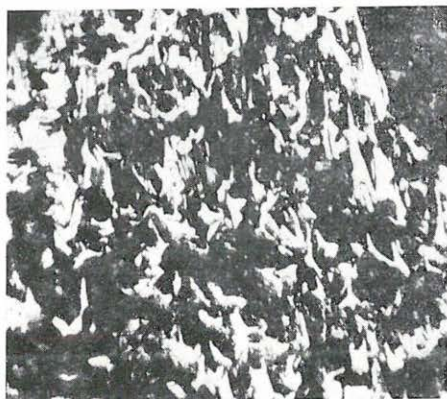
* * *

Wärmewirkung — Verkokung

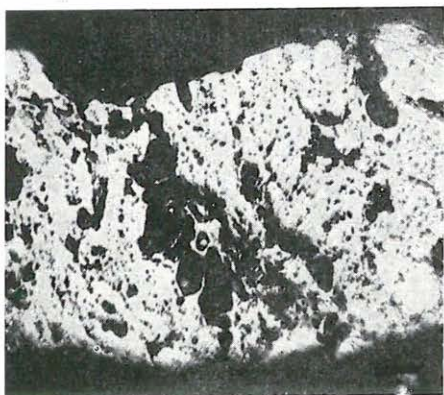
1. aus Telinit entstandener Naturkoks
2. Fusitrete aus dem Koks
3. dem Zellgefüge entsprechendes Blasenwerfen
4. von einer Clarit-Herkunft zeugende Verkokung
5. Epidermis und Kutikulencarit, in Verkokung begriffen
6. gebackter, blasiger Naturkoks mit zersetzten Pyritglobuliten, auf den Karbodazit geschweisst



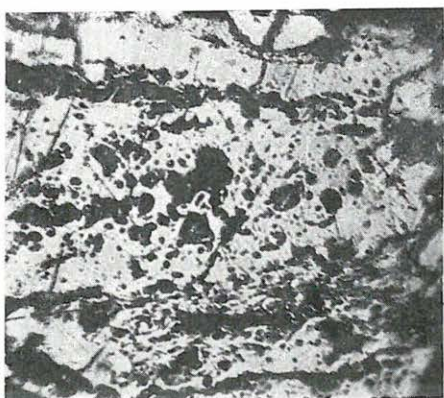
1



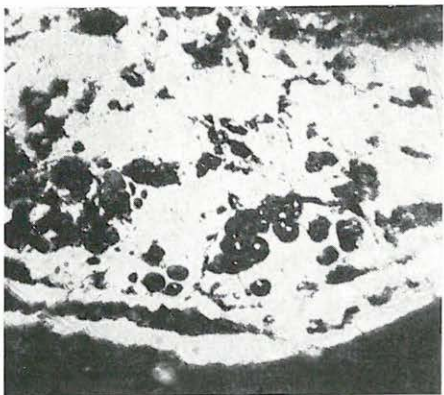
2



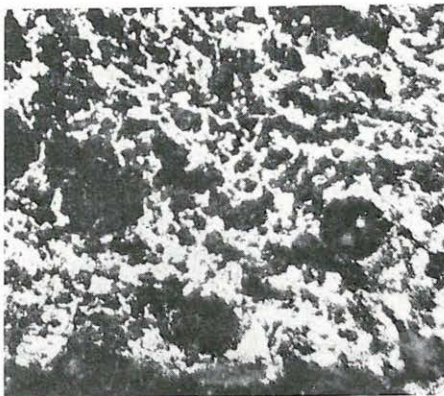
3



4



5



6

61. Tábla — Tafel 61

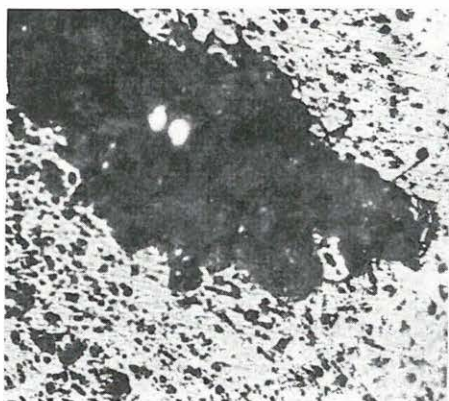
Hőhatás — kokszosodás

1. Szászvár, János-telep csapásmenti 97. minta, nagy karbonátbetelepülés a kokszosodott vitritben
2. Szászvár, János-telep csapásmenti 97. minta, vitrit eredetű kokszfuzit
3. Szászvár, János-telep csapásmenti 97. minta, vitrinertit vagy durit eredetű kokszosodás mérsékelt hőhatásra
4. Szászvár 159. minta, élénk grafitoid folt a kokszosodó kőszénben
5. Szászvár, Franciska-telep 141. minta, kocszos égőpala
6. Szászvár 157. minta, kocszos égőpala

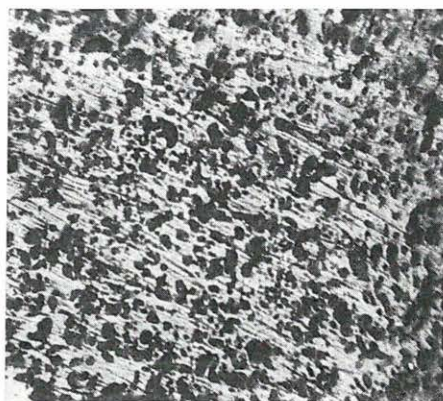
* * *

Wärmewirkung — Verkokung

1. grösse Karbonateinlagerung im verkokten Vitrit
2. aus Vitrit entstandener Koksfusit
3. Verkokung aus Vitrinertit oder Durit infolge einer ermässigten Wärmewirkung
4. heller Graphitoidfleck in Verkokung begriffener Kohle
5. Koks Brennschiefer
6. Koks Brennschiefer



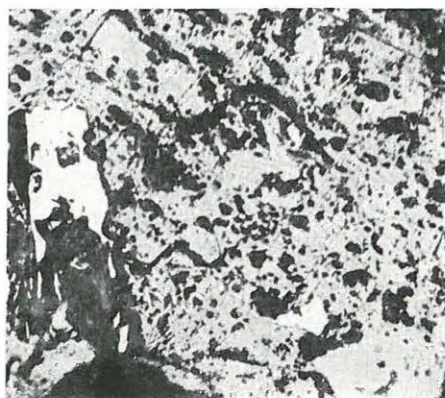
1



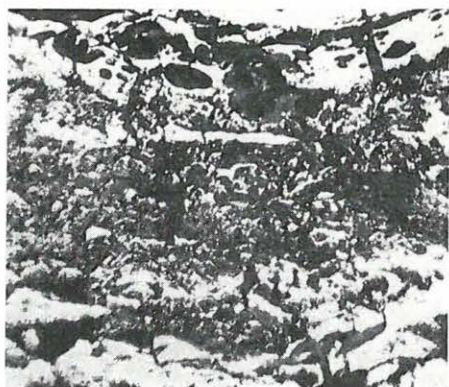
2



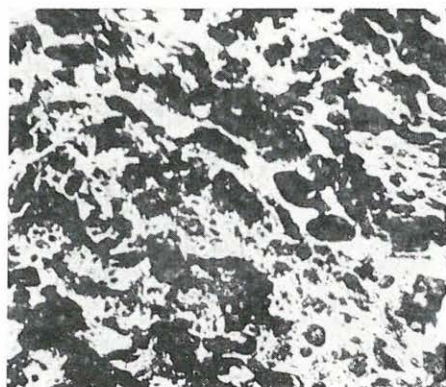
3



4



5



6

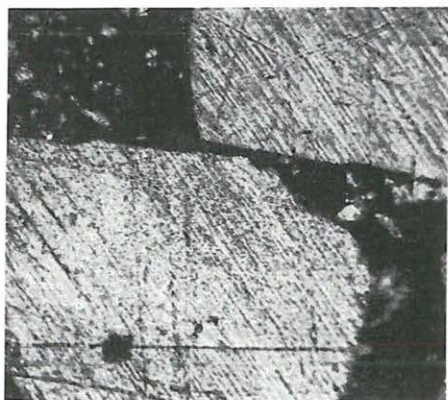
62. Tábla — Tafel 62*Pseudoantracitos köszén*

1. Szászvár, Franciska-telep 105. minta, pseudoantracit || Nik.
2. Ua. + Nikollal, anizotrop és szemcsézett, vitrit eredetű
3. Szászvár, Franciska-telep 111. minta, pseudoantracit || Nik.
4. Ua. + Nik., klárit eredetű(?)
5. Szászvár, Franciska-telep 113. minta, pseudoantracit || Nik.
6. Ua. + Nik., telinit eredetű

* * *

Pseudoanthrazitiseerte Kohle

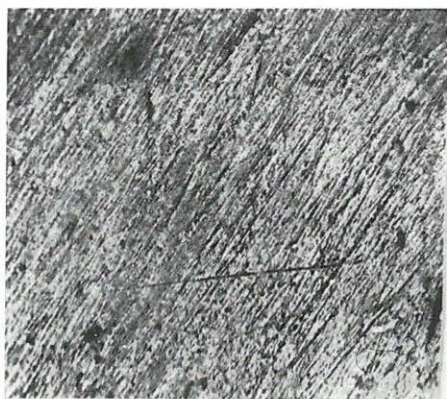
1. Pseudoanthrazit
2. d. s., anisotrop und körnig, aus Vitrit entstanden
3. Pseudoanthrazit
4. d. s., aus Clarit entstanden
5. Pseudoanthrazit
6. d. s., aus Telinit entstanden



1



2



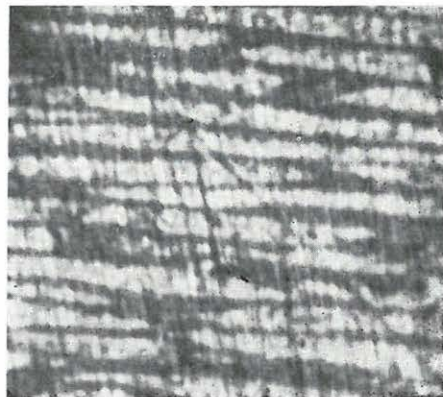
3



4



5



6

63. Tábla — Tafel 63

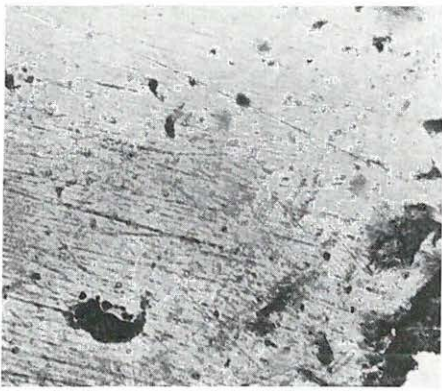
Pseudoantracitos kőszén

1. Szászvár, Franciska-telep 105. minta, pseudoantracit || Nik.
2. Ua. + Nik., valószínűleg sávós kéregszövet eredetű
3. Szászvár, Franciska-telep 111. minta, pseudoantracit fuzitlencsével
4. Ua. + Nik., a fuzit a pseudoantracitban is izotrop
5. Szászvár, Franciska-telep 113. minta, pseudoantracitos égőpala
6. Ua. + Nik., azonos orientációjú és eredetű vitritsávok

* * *

Pseudoanthrazitisierte Kohle

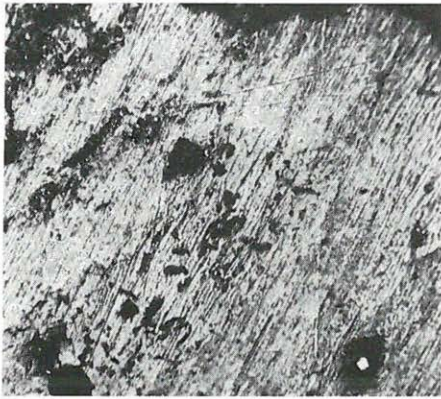
1. Pseudoanthrazit
2. d. s., wahrscheinlich aus Streifringewebe entstanden
3. Pseudoanthrazit mit Fusitlinse
4. d. s., isotroper Fusit im Pseudoanthrazit
5. pseudoanthrazitartiger Brennschiefer
6. d. s., Vitritstreifen gleicher Orientation und Entstehung



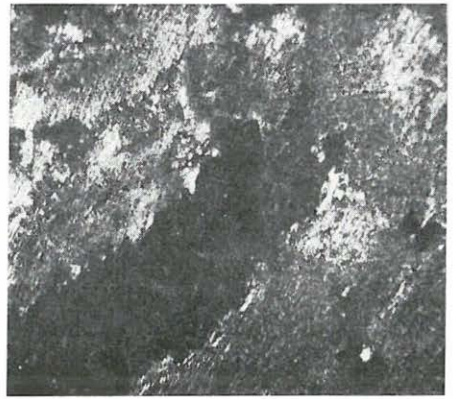
1



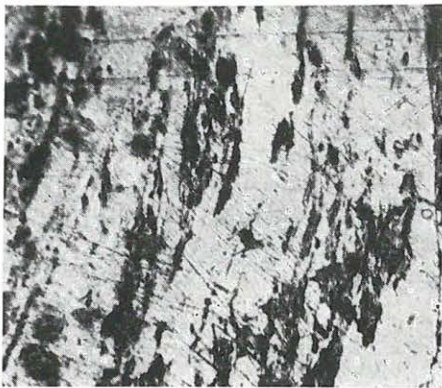
2



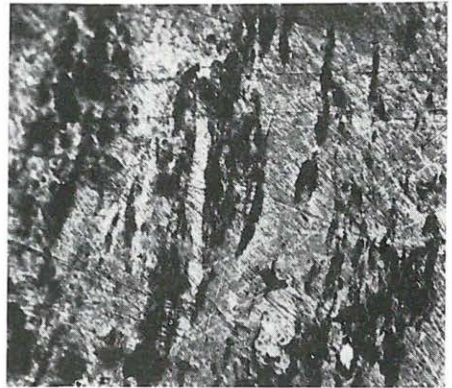
3



4



5



6

64. Tábla — Tafel 64

Agyagos szén és szenes agyag típusok

1. Zobák 162. minta, égőpala, helyben lebontódó faszövet-maradék kollinites vitritsávjaival (száraz obj. 32×)
2. Zobák 176. minta, háneseredetű vitritszálak a szenes agyagban (száraz obj. 32×)
3. Zobák 48. minta, helyben lepusztuló kéregmaradvány (száraz obj. 90×)
4. Zobák 48. minta, maradék vitrites szövetrészlet és detritusza az agyagban (száraz obj. 90×)

* * *

Tonige Kohlen- und Lettenkohlentypen

1. Brandschiefer, mit residualen collinitartigen Vitritstreifen von in situ abgebautem Holzgewebe (Trockenobj. 32×)
2. aus Rinde entstandene Vitritfäden in Lettenkohle (Trockenobj. 32×)
3. Rindereste, in situ in Zersetzung begriffen (Trockenobj. 90×)
4. residualer vitritisierter Gewebeteil und sein Detritus in Ton (Trockenobj. 90×)



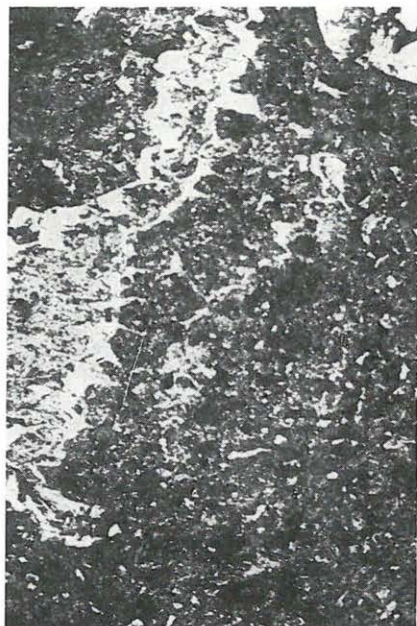
1



2



3



4

65. Tábla — Tafel 65

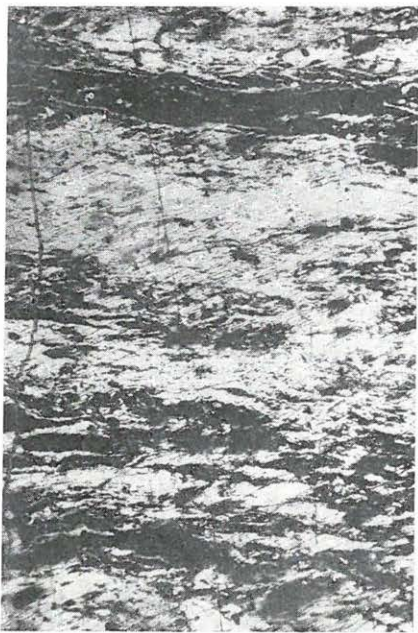
Agyagos szén és szenes agyagtípusok

1. Vasas, Petőfi-akna 11. telep, a III. gömbkőszén fedője, vitrites, sávós agyagos szén (száraz obj. 32×)
2. Vasas, Petőfi-akna 11. telep, az I. gömbkőszén feküje, maradék-vitritfoltos, detrituszos, szenes agyag (száraz obj. 32×)
3. Zobák 55. minta, az előbbivel azonos származású detrituszosodó vitrites szövetmaradvány, az agyagos szénben (száraz obj. 90×)
4. Zobák 55. minta, ua. vertikális metszésben (száraz obj. 90×)

* * *

Tonige Kohlen- und Lettenkohlentypen

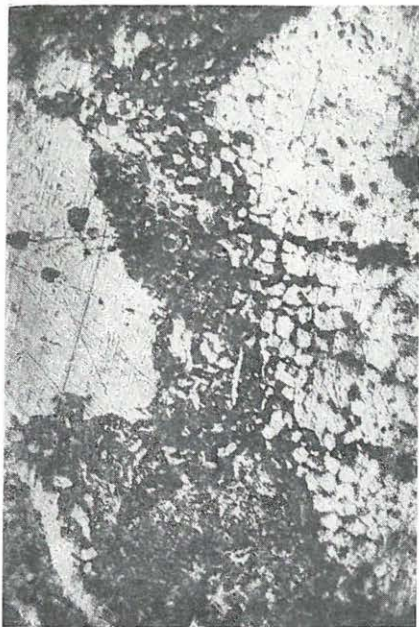
1. vitritisierte, gestreifte Lettenkohle (Trochkenobj. 32×)
2. Lettenkohle mit Vitritfleckresten und Detritus (Trochkenobj. 32×)
3. vitritisiertes Geweberest von Detrituscharakter in Lettenkohle, gleich entstanden (Trochkenobj. 90×)
4. d. s. in Vertikalschnitt (Trochkenobj. 90×)



1



2



3



4

66. Tábla — Tafel 66*Agyagos szén és szenes agyagtípusok*

1. Vasas 4. fekütelep 68. minta, faszöveti eredetű vitrites, sávós égőpala
2. Széchenyi-akna 6. telep 6. minta, vitrites—foltos égőpala. Az azonos lebontási maradvékformák itt is nagyobb szöveti egység azonos részleteinek származékait valószínűsítik
3. Zobák 60. minta, vitrites—lencés égőpala, hasonló származással
4. Szászvár 87/37. minta, heterogén, törmelékes égőpala ill. agyagos szén

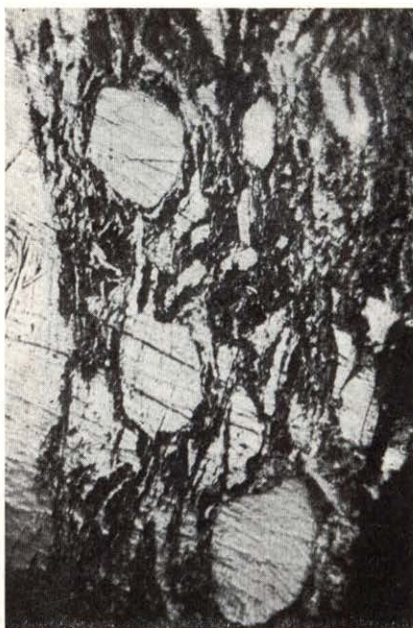
* * *

Tonige Kohlen- und Lettenkohlentypen

1. aus Holzgewebe entstandener, vitritisierter Streifbrennschiefer
2. vitritisierter Fleckbrennschiefer, anhand der Identität der Abbaurückstände ist auch hier das Vorliegen der Produkte der gleichen Teile von grösseren Gewebereinheiten scheinlich
3. vitritisierter-linsenförmiger Brennschiefer gleicher Herkunft
4. heterogener, klastischer Brennschiefer bzw. Lettenkohle



1



2



3



4

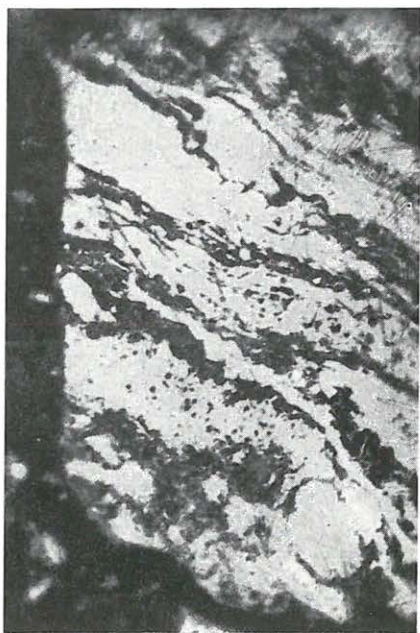
67. Tábla — Tafel 67*Agyagos szén és szenes agyagtípusok*

1. Zobák 210/a. jelzésű pad, 2. minta, levélfelhalmozódásból származó sávós agyagos szén
2. Zobák 210. jelzésű pad, 2. minta, erősen pirites, sávós agyagos szén gombásodással
3. Zobák 210/a. jelzésű pad, 3. minta, „duritos”, rendezetlen égőpala vertikális metszésben
4. Zobák 230. jelzésű pad, 3. minta „duritos”, rendezetlen égőpala horizontális metszésben

* * *

Tonige Kohlen- und Lettenkohlentypen

1. aus Blattanhäufung entstandene gestreifte Lettenkohle
2. stark pyritisierte, gestreifte Lettenkohle mit Verpilzung
3. duritisierter „ruscheliger” Brennschiefer im Vertikalschnitt
4. duritisierter „ruscheliger” Brennschiefer im Horizontalschnitt



1



2



3



4

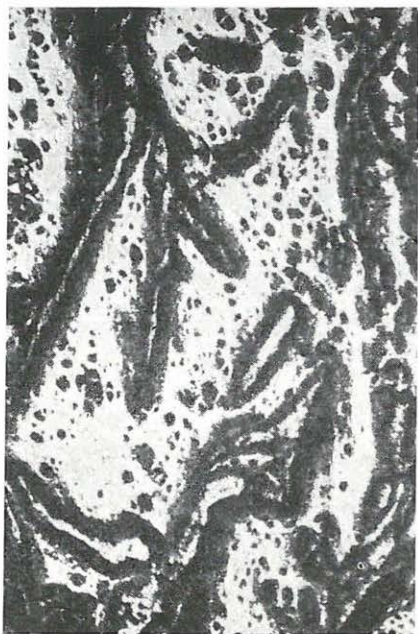
68. Tábla — Tafel 68*Kvarcosodó és karbonátosodó teleprészek*

1. András-akna 35. minta, kvarcosodás a vitritben (száraz obj. 20×)
2. András-akna 40. minta, hintett kvarcok a vitritben (száraz obj. 32×)
3. Zobák 7. telep alsó pad 1. minta, lencsés karbonátkiválások a kőszénben (száraz obj. 32×)
4. Zobák 7. telep alsó pad 9. minta, sűrűn karbonátszemcsés kőszén tiszta vitritsávokkal (száraz obj. 32×)

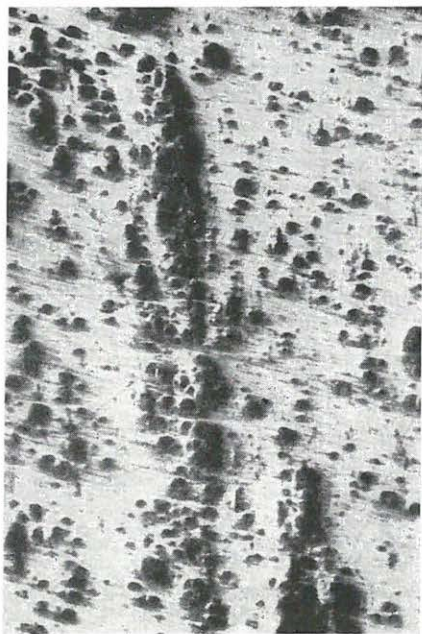
* * *

Sich in Quarz und Karbonat umwandelnde Flözteile

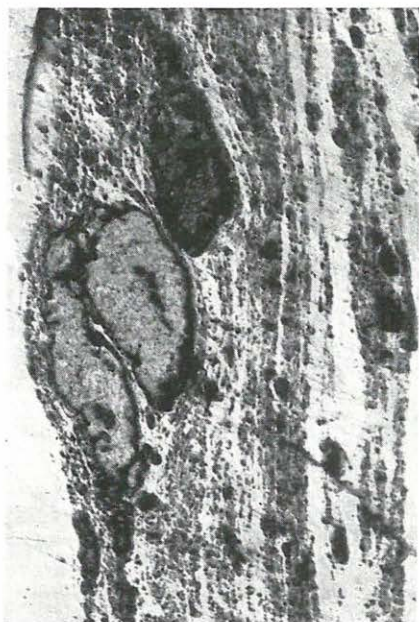
1. Quarz im Vitrit (Troekenobj. 20×)
2. gestreute Quarz im Vitrit (Troekenobj. 32×)
3. linsenförmige Karbonatausscheidungen in der Kohle (Troekenobj. 32×)
4. dicht karbonatkörnige Kohle mit reinen Vitritstreifen (Troekenobj. 32×)



1



2



3



4

69. Tabla — Tafel 69

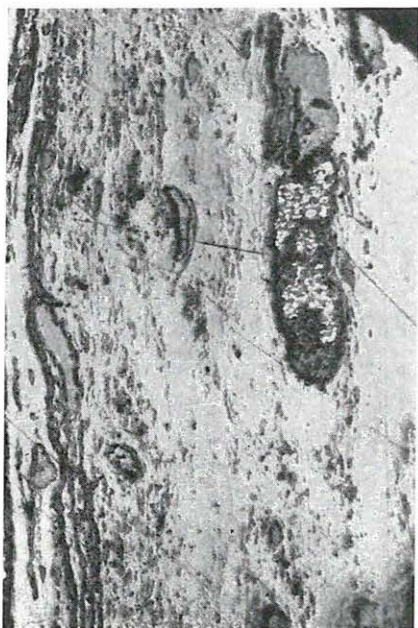
Karbonát—pirit összefüggések

1. Zobák 7. telep alsó pad 1. minta, spórás—kutikulás klárit, piritfoltos karbonátbetelepülésekkel (száraz obj. 90×)
2. Zobák 7. telep alsó pad 1. minta, lencsés, sávós, pirites karbonátbetelepülések a kőszénben (száraz obj. 90×)
3. Zobák 7. telep alsó pad 9. minta, hintett karbonát, pirit és részben pirites karbonát-szemcsék a vitritben
4. Zobák 7. telep alsó pad 1/a minta, karbonátos repedéskitöltés a karbonát-szemcsés kőszénben

* * *

Karbonat—Pyritverbindungen

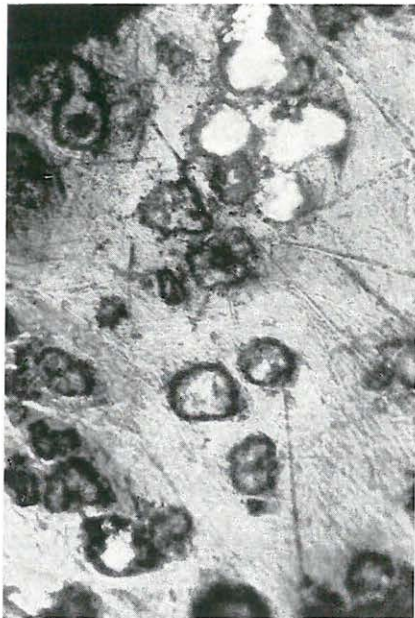
1. Sporen—Kutikulenclarit, mit pyritfleckigen Karbonateinlagerungen (Trockenobj. 90×)
2. linsenförmige, streifenartige, pyritisierte Karbonateinlagerungen in der Kohle (Trockenobj. 90×)
3. disperser Karbonat-, Pyrit und zum Teil pyritisierte Karbonatkörner im Vitrit
4. Spaltenausfüllung mit Karbonatmaterial in der karbonatkörnigen Kohle



1



2



3



4

70. Tábla — Tafel 70*Piritmegjelenési formák*

1. András-akna 38. minta, a rétegzéssel párhuzamos sávos, lencses piritosedés a vitritben (száraz obj. 90×)
2. Zobák 7. telep alsó pad 8—9. minta, repedéskitöltő piritiszövedék (száraz obj. 90×)
3. Nagymányok 36. minta, pirités repedéskitöltés
4. Zobák 7. telep alsó pad 8—9. minta, pirités sugaras halmaz a kőszénben

* * *

Erscheinungsformen von Pyrit

1. mit der Schichtung parallele streifenartige, linsenförmige Pyritisierung im Vitrit (Trockenobj. 90×)
2. Pyritgewebe als Spaltenausfüllung (Trockenobj. 90×)
3. pyritisierte Spaltenausfüllung
4. pyritisierte, Strahlförmige Aggregate in der Kohle



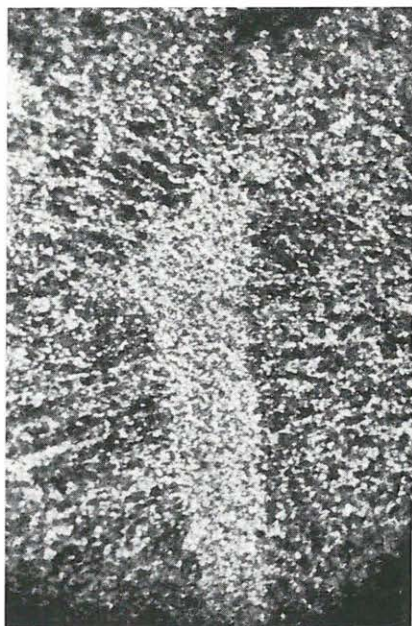
1



2



3



4

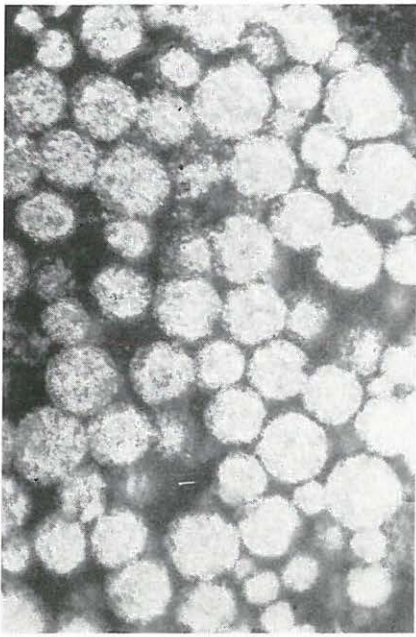
71. Tábla — Tafel 71*Piritmegjelenési formák*

1. András-akna 35. minta, piritglobulithalmaz
2. András-akna 42. minta, összefolyó pirit globulitesoport
3. András-akna 37. minta, sávos piritbetelepülés a kőszénben
4. András-akna 51. minta, bomló pirites halmazok

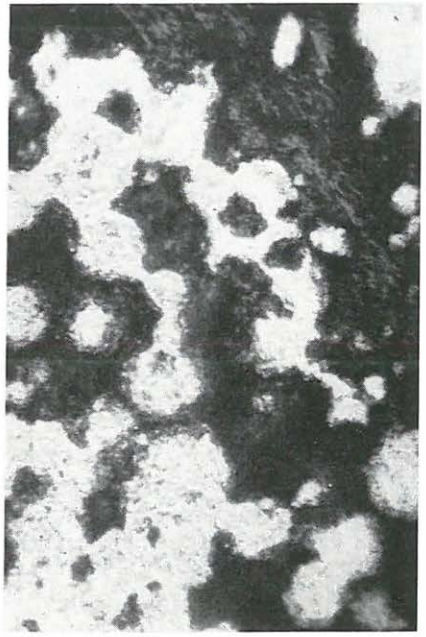
* * *

Erscheinungsformen von Pyrit

1. Pyritglobulitanhäufung
2. Gruppe verschmolzener Pyritglobulite
3. streifenförmige Pyriteinlagerung in der Kohle
4. in Zersetzung begriffene Pyritaggregate



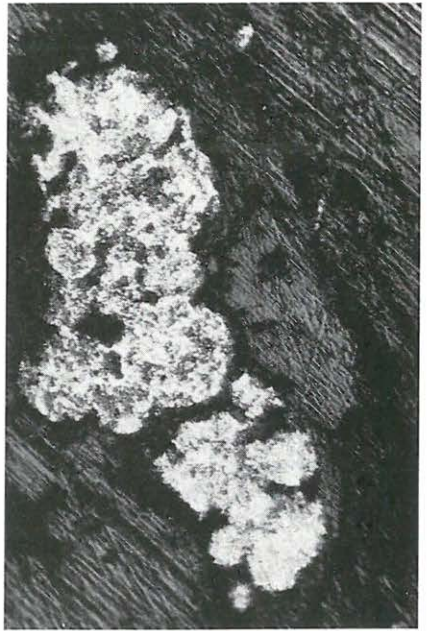
1



2



3



4

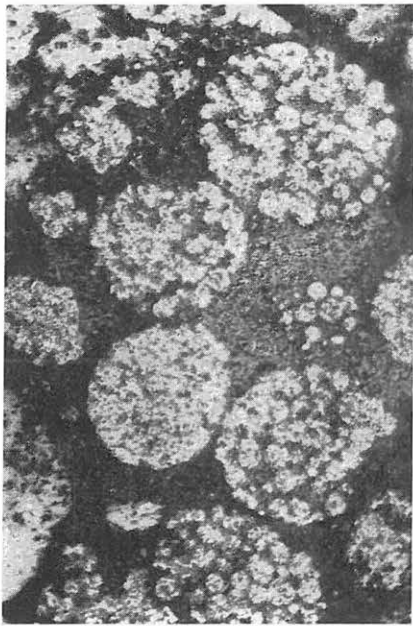
72. Tábla — Tafel 72*Piritmegjelenési formák*

1. András-akna 36. minta, rosettás piritglobulithalmazok
2. István-akna 6. telep 4. minta, hasonlóak pirites keretben
3. István-akna 6. telep 4. minta, markazitszegélyes pirithalmaz
4. András-akna 32. minta, szulfátrepedéskitöltés bomló pirithalmazzal

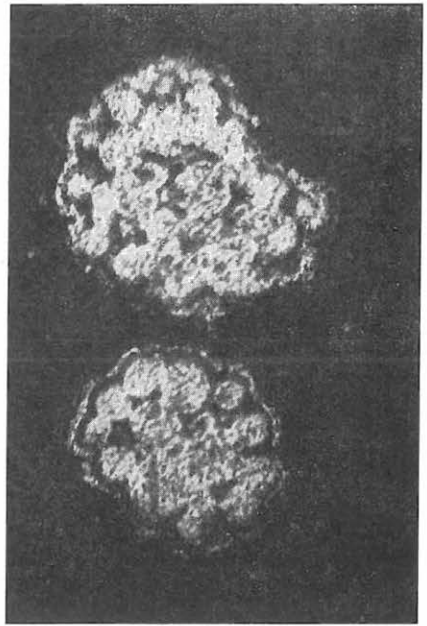
* * *

Erscheinungsformen von Pyrit

1. rosettenartige Pyritglobulitaggregate
2. d. s. im pyritisierten Rahmen
3. Pyritaggregat mit Markazitrand
4. Sulfatische Spaltenausfüllung mit in Zersetzung begriffenem Pyritaggregat



1



2



3



4

73. Tábla — Tafel 73

Szövetpiritesedések

1. Zobák 53. minta, piritesedő fa és kéregrészlet (száraz obj. 90×)
2. Komló, Béta-akna 14. telep, pirites—siderites, metasomatikusan átalakult tűlevelű faszövetrészlet (száraz obj. 90×)
3. István-akna 15. telep 5. minta, hasonló származású pirites részlet
4. István-akna 15. telep 5. minta, részleges szövetpiritesedés, torzult formákkal

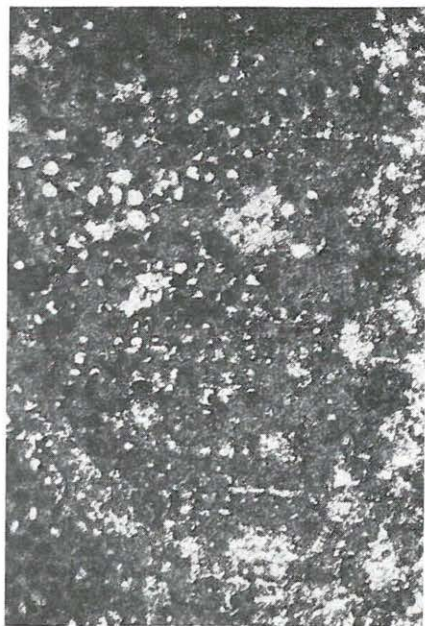
* * *

Gewebepyritisierung

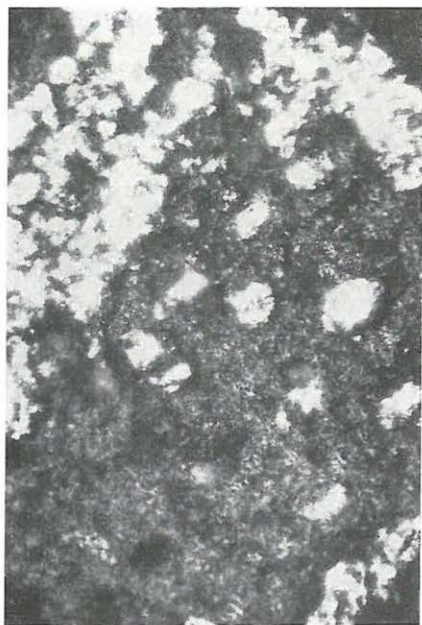
1. Baum und Rindenteil in Pyritisierung begriffen (Trockenobj. 90×)
2. pyritisierter—sideritisierter, metasomatisch umgewandelter Nadelholzgewebeteil (Trockenobj. 90×)
3. pyritisierter Teil ähnlicher Herkunft
4. teilweise eingetretene Pyritisierung mit verzerrten Formen



1



2



3



4

74. Tábla — Tafel 74*Szövetpiritedések*

1. Zobák 53. minta, piritedett tracheakeresztmetszetek egy faszövetből
2. Széchenyi-akna 6. telep 6. minta, pirites faszövetrészlet, csavaros vastagodású tracheával
3. Zobák 47. minta, piritedett sejttartalom a növényi szövetben
4. Zobák 47. minta, piritedett sejtfalak a vitritisedett növényi szövetben

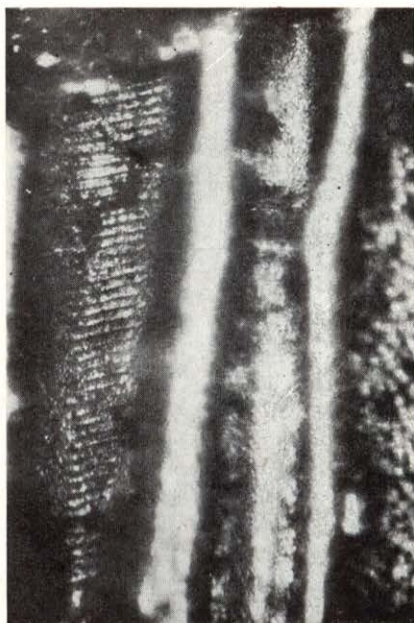
* * *

Gewebepyrilisierung

1. pyritisierte Tracheenschnitte aus einem Holzgewebe
2. pyritisiertes Holzgewebeteil mit schraubenartig verdickten Tracheen
3. pyritisiertes Zellgehalt im Pflanzengewebe
4. pyritisierte Zellwände im vitritisierten Pflanzengewebe



1



2



3



4

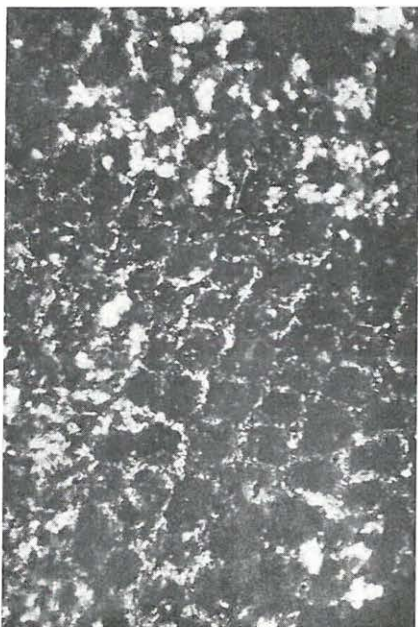
75. Tábla — Tafel 75*Szövetpiritesedések*

1. Zobák 49. minta, tracheideális faszövet sejtfalpiritesedése keresztmetszetben
2. Zobák 49. minta, tracheidális faszövet sejtkitöltő piritesedése
3. András-akna 69. minta, piritesedő tülevelű faszövet radiális metszésben
4. Zobák 49. minta, a vitritesedett növényi szövet egy részletében sejtfal és sejtkitöltés eredetű piritesedés

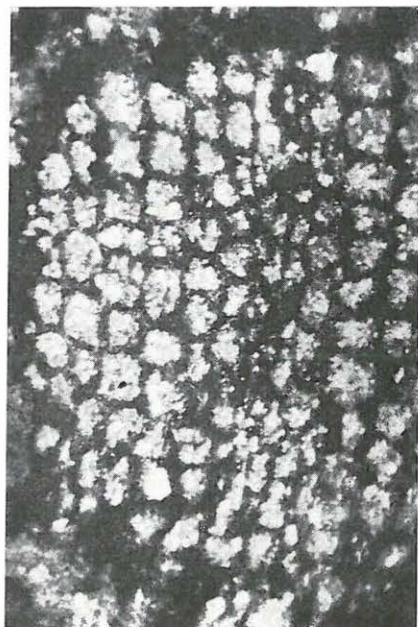
* * *

Gewebepyrütisierung

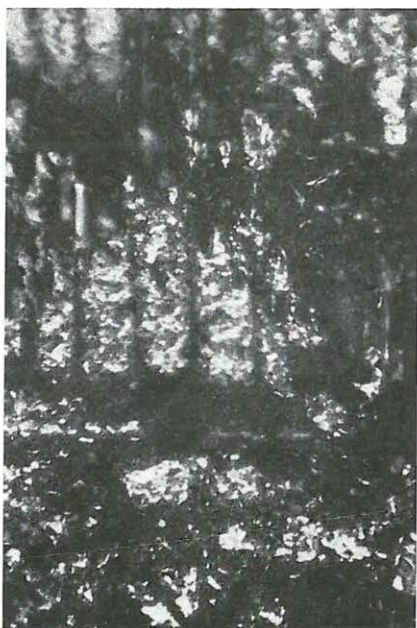
1. Zellwandpyrütisierung von Tracheidholzgewebe in Querschnitt
2. Pyrütisierung der Zellausfüllungen von Tracheidholzgeweben
3. Nadelholzgewebe im Radialschnitt, in Pyrütisierung begriffen
4. Pyrütisierung von Zellwänden und Zellausfüllungen in einem Teil des vitritisierten Pflanzgewebes



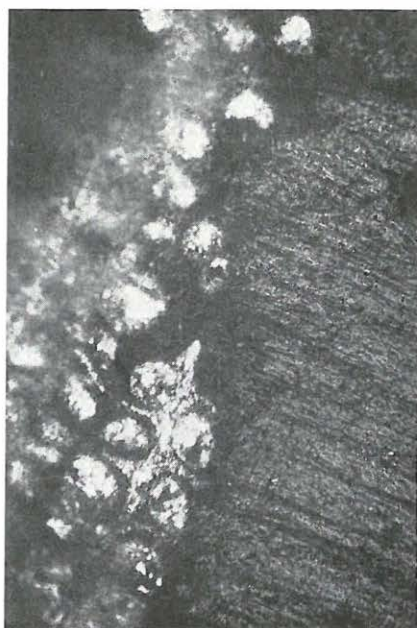
1



2



3



4

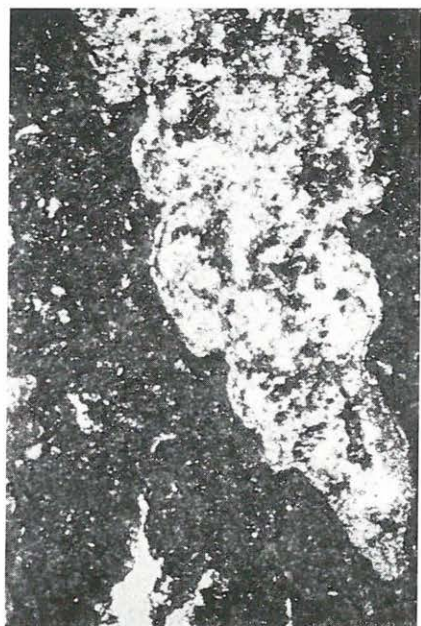
76. Tábla — Tafel 76*Szövetpiritesedések*

1. Zobák 80. minta, piritesedett levélrészlet (száraz obj. 90×)
2. Zobák 78. minta, piritesedett védőszövetrészlet (száraz obj. 90×)
3. Zobák 49. minta, piritesedett levélkutikula és lemez
4. Zobák 48. minta, piritesedett növényi szövetrészlet

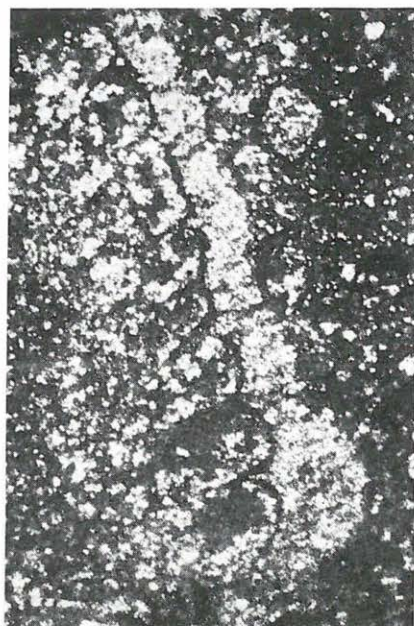
* * *

Gewebepyritisierung

1. pyritisierter Blatteil (Trockenobj. 90×)
2. pyritisierter Schutzgewebeteil (Trockenobj. 90×)
3. pyritisierte Blattkutikule und Platte
4. pyritisierter Pflanzengewebeteil



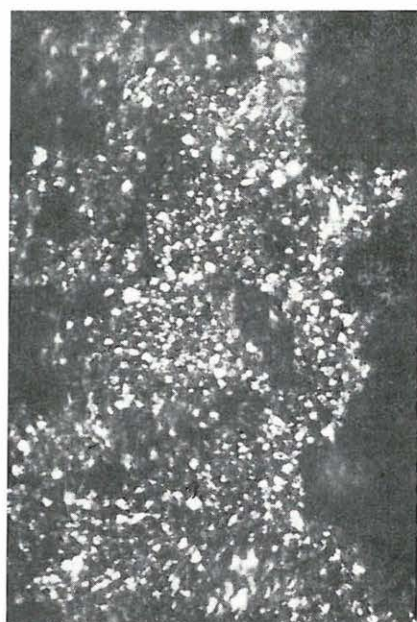
1



2



3



4

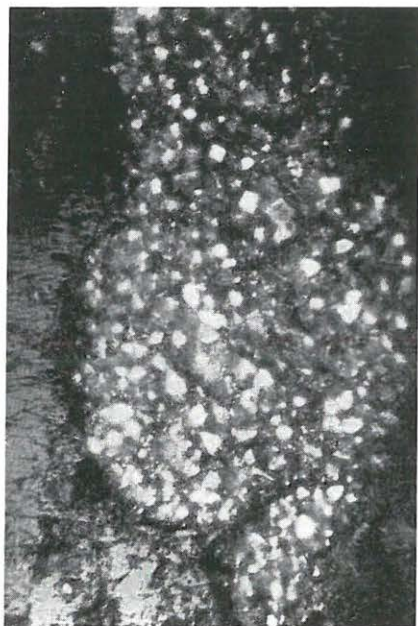
77. Tábla — Tafel 77*Szövetpíritesedések*

1. András-akna 32. minta, kristályos pírithalmaz
2. András-akna 46. minta, elbomlott piritkristályok nyomai a kőszénben
3. Zobák 10. telep 5. minta, finom hintett pirit és ezek halmaza
4. Vasas, 11. telep I. gömbkőszén, finom piritpontosorok bomlásának nyomai

* * *

Gewebepyritisierung

1. Pyritkristallaggregat
2. Spuren von zersetzten Pyritkristallen in der Kohle
3. feindisperse Pyritteilchen und deren Aggregat
4. Spuren der Zersetzung feiner Pyritpunktzeihen



1



2



3



4

78. Tábla — Tafel 78

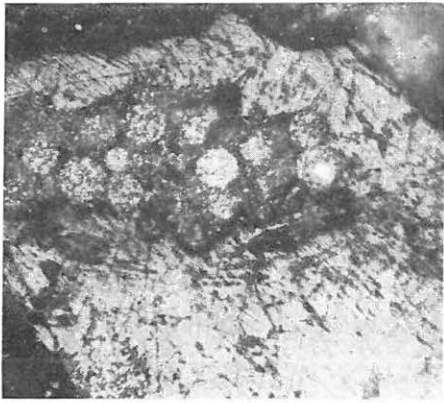
Piritbomlások

1. András-akna 37. minta, bomló piritglobulithalmaz
2. András-akna 50. minta, szulfátglobulitek a pirit helyén
3. András-akna 42. minta, ismeretlen ásványkiválás az elbomlott piritglobulitek helyén
4. András-akna 41. minta, agyagos meddőbetelepülés a pirit után
5. Széchenyi-akna 6. telep 9. minta, sávós agyagos kőszén, piritlenesével
6. Széchenyi-akna 6. telep 9. minta, homogén agyaglenese ugyanott, feltehetőleg piritbomlás nyomán

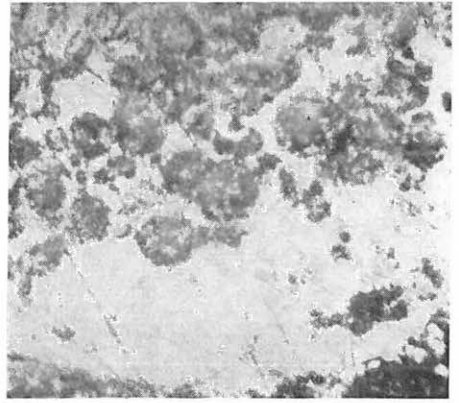
* * *

Pyritzersetzung

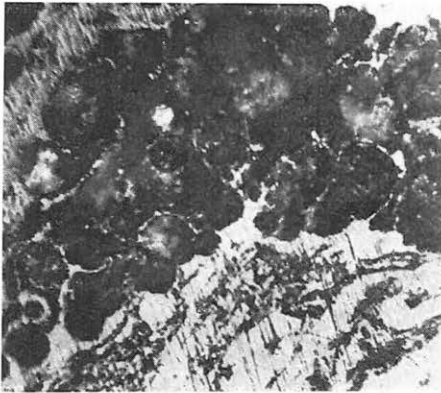
1. Aggregat von in Zersetzung begriffenen Pyritglobuliten
2. Sulfátglobulite an Stelle von Pyrit
3. unbekannte Mineralausscheidung an Stelle der zersetzten Pyritglobulite
4. toniges Bergmittel an Stelle des verdrängten Pyrits
5. Streiflettenkohle mit Pyritlinse
6. homogene Tonlinse ebenda, wahrscheinlich nach Pyritzersetzung



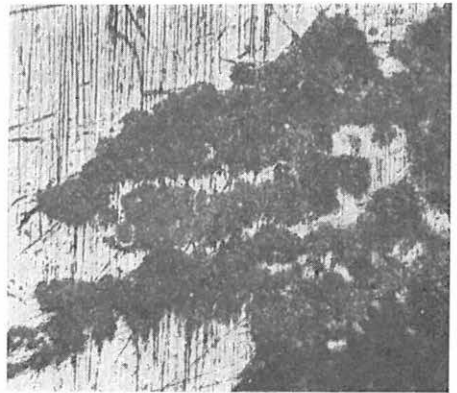
1



2



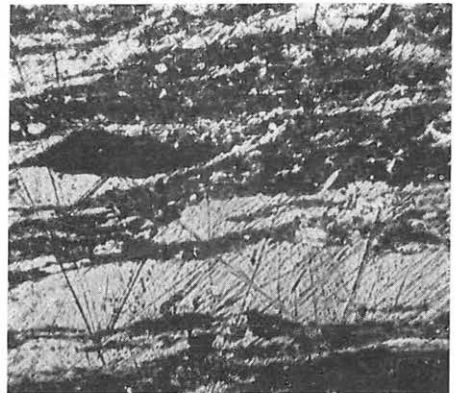
3



4



5



6

79. Tábla — Tafel 79

Piritbomlások

1. András-akna 48. minta, a szenes agyagpala szulfátbetelepülései a tektonikai repedésekben
2. Ua. + Nik.-lal
3. András-akna 37. minta, kalcitbetelepüléssel szétfeszített vitritsávok (száraz obj. 90×)
4. Ua. + Nik.-lal

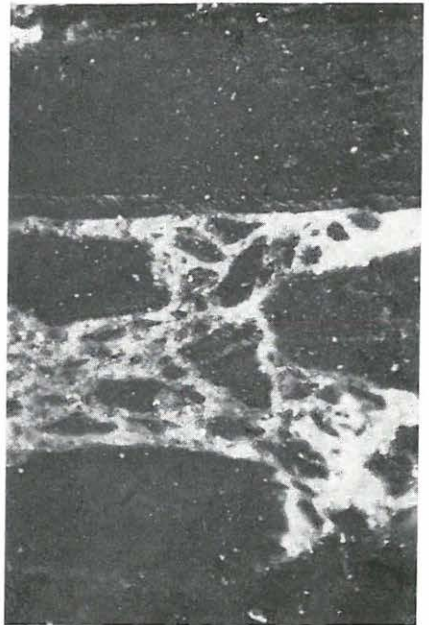
* * *

Pyritzersetzung

1. Sulfateinlagerungen der Lettenkohle in tektonischen Spalten
2. d. s.
3. durch Calcit verdrängte Vitritstreifen (Trockenobj. 90×)
4. d. s.



1



2



3



4

80. Tábla — Tafel 80

Mikrotektonika

1. András-akna 38. minta, vitritmilonit
2. András-akna 51. minta, mikrotektonika a kőszénben (száraz obj. 32×)
3. Zobák 7. telep alsó pad 10. minta, mikrovető és vonszolódás a kőszénben (száraz obj. 90×)
4. András-akna 51. minta, gyűrődéses szerkezet a kőszénben (száraz obj. 32×)

* * *

Mikrotektonik

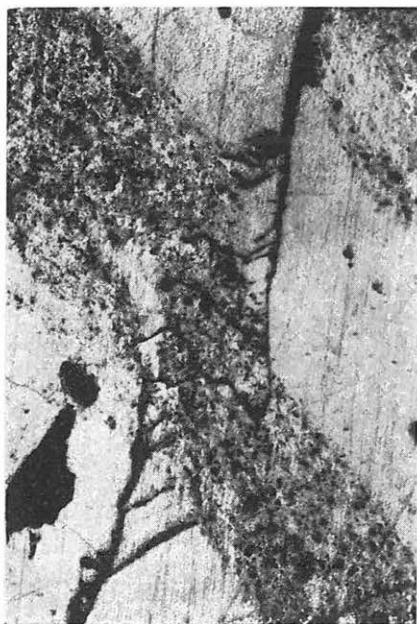
1. Vitritmilonit
2. Mikrotektonik in der Kohle (Trockenobj. 32×)
3. Mikroverwerfung und Schleppung in der Kohle (Trockenobj. 90×)
4. Faltungsstruktur in der Kohle (Trockenobj. 32×)



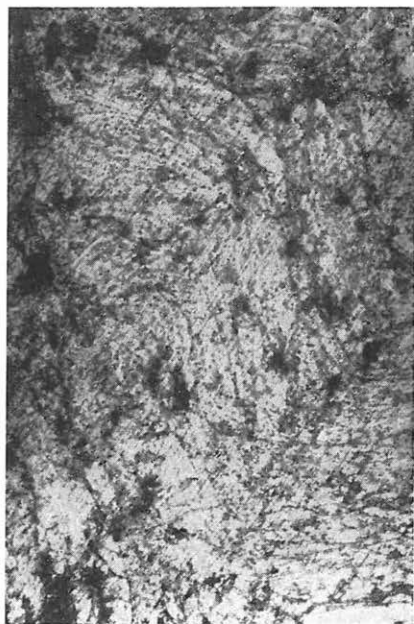
1



2



3



4

I. Tábla — Tafel I

Komló, Zobák-akna

- 1— 2. *Calamospora nathorstii* (HALLE 1908) KLAUS 1960 83. sz. minta, 1. lemez. Mikr. keresztasztszám: 1) 9,9—120,5; 2) 17,6—119,6
3. *Calamospora nathorstii* (HALLE 1908) KLAUS 1960 (Két példány egymásra nyomódva) 7. telep, alsó pad, 1. sz. minta, 1. lemez. Mikr. keresztasztszám: 9,0—125,8
- 4— 5. *Cyathidites minor* COUPER 1953, 4) 100. sz. minta, 2. lemez; 5) 95. sz. minta, 4. lemez. Mikr. keresztasztszám: 4) 17,4—120,8; 5) 8,7—121,4
6. *Cyathidites australis* COUPER 1953, 35. sz. minta, b. lemez. Mikr. keresztasztszám: 10,5—120,2
7. *Cyathidites* cf. *punctatus* (DEL COURT et SPRUMONT 1955) DEL COURT, DETTMANN et HUGHES 1963, 108. sz. minta, 1. lemez. Mikr. keresztasztszám: 15,9—128,0
- 8—10. *Dictyophyllidites harrisii* COUPER 1958, 35. sz. minta, 8) 2. lemez; 9) b. lemez; 10) 1. lemez. Mikr. keresztasztszám: 8) 22,5—123,1; 9) 12,3—116,1; 10) 22,0—116,4

750×



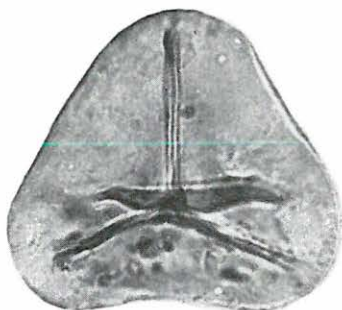
1



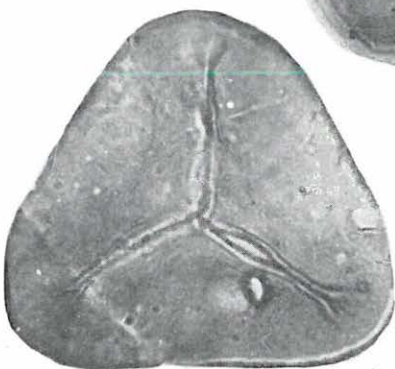
2



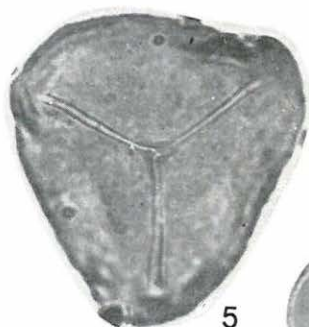
3



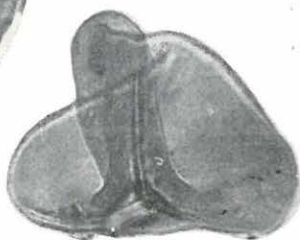
4



6



5



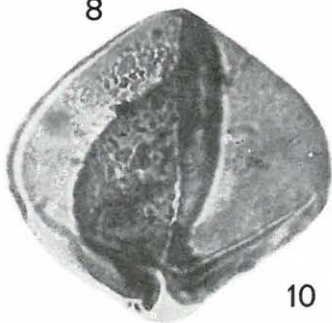
8



7



9



10

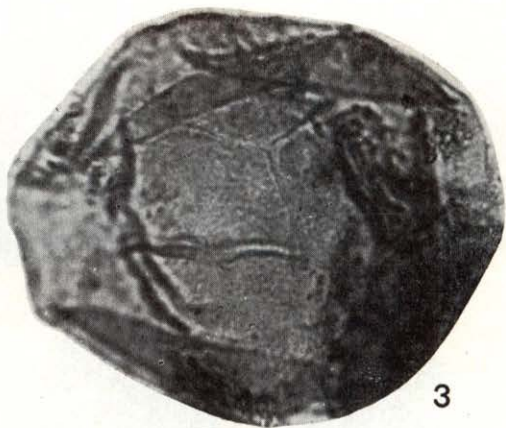
II. Tábla — Tafel II

- 1—4., 9—10. *Komló, Zobák-akna*; 5—7. *Komló, III. akna*; 8. *Komló 143. sz. fúrás*
1. *Todisporites major* COUPER 1958, 57. sz. minta 1. lemez. Mikr. keresztasztszám: 18,5—109,0
 2. *Todisporites minor* COUPER 1958, 7. telep, alsó pad, 1. sz. minta, 1. lemez. Mikr. keresztasztszám: 8,1—114,9
 - 3— 4. *Punctatisporites leighensis* PLAYF. et DETM. 1965, 7. telep, alsó pad, 1. sz. minta, 3) 7. lemez; 4) 2. lemez. Mikr. keresztasztszám: 3) 20,5—116,5; 4) 12,6—115,9
 - 5— 7. *Stereisporites* sp. forma IV. (széles cingulumos), 6. telep, 336. sz. minta, g. lemez. Mikr. keresztasztszám: 13,8—115,0
 8. *Leiotriletes* sp. (4/b típus), 415,80—415,60 m. Mikr. keresztasztszám: 16,1—110,7
 - 9—10. *Leiotriletes* sp., 7. telep, alsó pad, I. sz. minta, 5. lemez. Mikr. keresztasztszám: 11,2—112,9

*750×



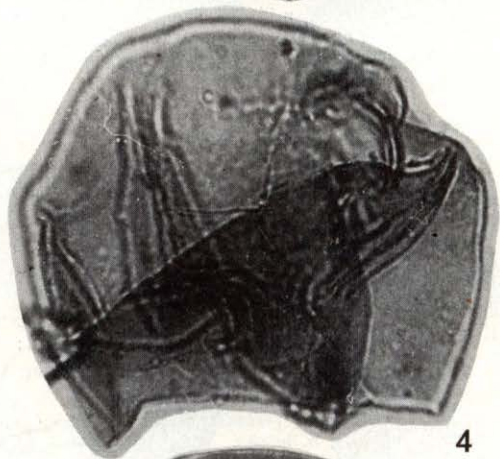
1



3



2



4



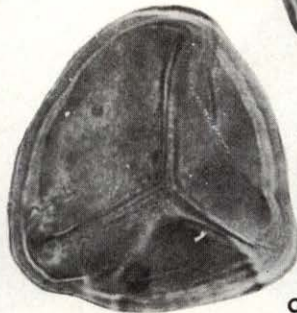
5



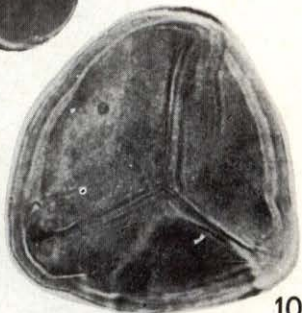
8



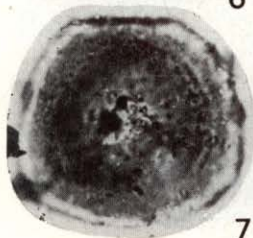
6



9



10



7

III. Tábla — Tafel III

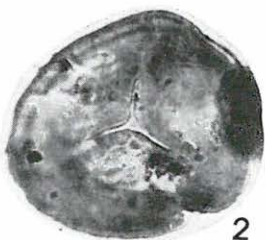
1—5, 10. *Komló, III. akna*; 6—9., 11—13. *Komló, Zobák-akna*

- 1— 2. *Stereisporites* sp. forma I. (cingulum nélküli), 6. telep, 336. sz. minta, 1) g. lemez; 2) C. lemez. Mikr. keresztasztszám: 1) 16,3—112,7; 2) 17,3—120,7
3. *Stereisporites* sp. forma V. (széles cingulumos), 6. telep, 336. sz. minta. (A foto nem tartósított preparátumból készült.)
4. *Stereisporites* sp. forma II. (keskeny cingulumos), 6. telep, 336. sz. minta, g. lemez. Mikr. keresztasztszám: 11,3—115,4
5. *Stereisporites* sp. forma III. (keskeny cingulumos), 6. telep, 336. sz. minta, 1—4. lemez. Mikr. keresztasztszám: 8,0—115,5
- 6— 7. *Toroisporis (Toroisporis) parvulus* DÖRING 1965, 5. telep, 881. sz. minta. Mikr. keresztasztszám: 12,2—112,6
- 8— 9. *Toroisporis (Toroisporis) mesozoicus* DÖRING 1965, 7. telep, alsó pad, 1. sz. minta, 6. lemez. Mikr. keresztasztszám: 11,1—113,9
10. *Toroisporis (Toroisporis) delicatus* DÖRING 1965, 4. telep, 1. lemez. Mikr. keresztasztszám: 16,5—123,4
11. *Gleicheniidites (Tremisporites) cf. umbonata* (BOLCH. 1953) KRUTZSCH 1959, 35. sz. minta, b. lemez. Mikr. keresztasztszám: 19,1—111,1
- 12—13. *Toroisporis (Toroisporis) nodosus* n. fsp., 7. telep, alsó pad, 1. sz. minta, 1. lemez. Mikr. keresztasztszám: 12,8—124,7

750×



1



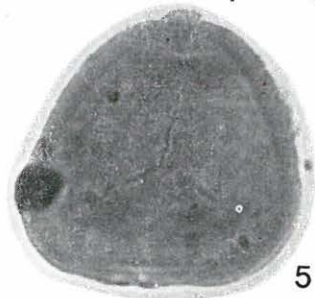
2



3



4



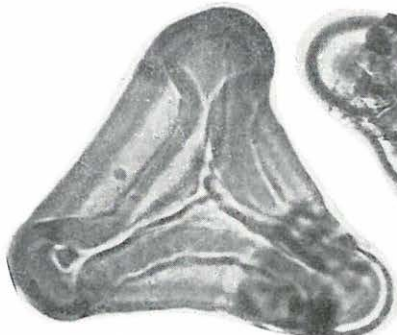
5



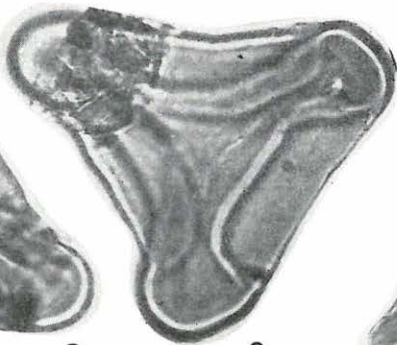
6



7



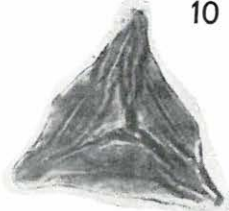
8



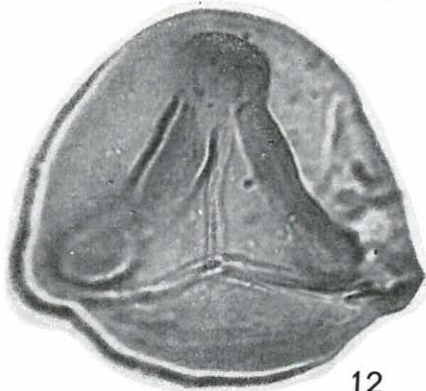
9



10



11



12



13

IV. Tábla — Tafel IV

Komló, Zobák-akna

1. *Toroisporis (Toroisporis) nodosus* n. fsp. Holotypus. 884. sz. minta. Mikr. keresztaszztalszám: 17,5—115,3
2. *Toroisporis (Toroisporis) nodosus* n. fsp., 884. sz. minta. Mikr. keresztaszztalszám: 16,5—113,8
- 3—5. *Concavisporites (Obtusisporis) jarienensis* BALME 1957, 3) 95. sz. minta, 3. lemez; 4—5) 108. sz. minta, 1. lemez. Mikr. keresztaszztalszám: 3) 8,2—121,2; 4) 20,3—122,4; 5) 8,0—128,0
- 6—7. *Concavisporites (Obtusisporis)* „A” forma, 72/5. sz. minta, 1. lemez. Mikr. keresztaszztalszám: 13,2—115,0
- 8—9. cf. *Plicatella trichacantha* MAL. var. *imperfecta* MAL. 1949, 4. telep, 881. sz. minta. Mikr. keresztaszztalszám: 19,0—113,9
- 10—11. *Osmundacidites wellmanii* COUPER 1953, 83. sz. minta, 1. lemez. Mikr. keresztaszztalszám: 10,7—113,0
- 12—13. *Punctatosporites scabratus* (COUPER 1958) n. comb. 12) 7. telep, alsó pad, 1. sz. minta, 5. lemez; 13) 108. sz. minta, 2. lemez. Mikr. keresztaszztalszám: 12) 11,7—119,6; 13) 18,1—120,8

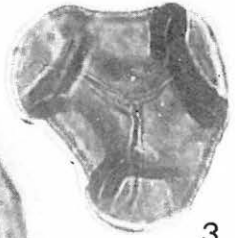
750×



1



2



3



4



5



10



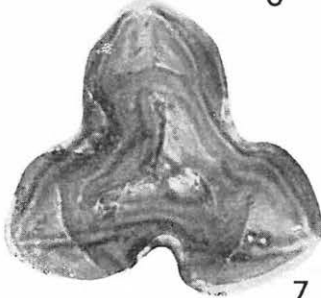
6



8



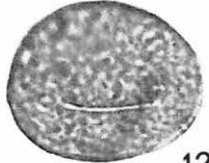
11



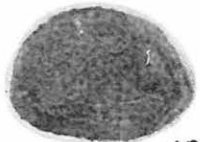
7



9



12



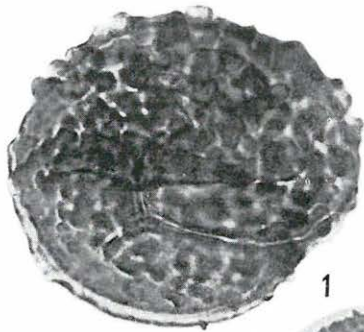
13

V. Tábla — Tafel V

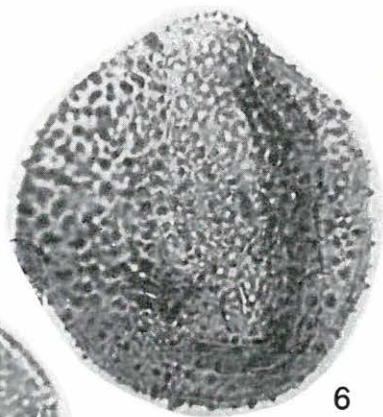
Komló, Zobák-akna

- 1— 2. *Lycopodiacidites mecskensis* n. fsp., 7. telep, alsó pad, 1. sz. minta, 9. lemez. Mikr. keresztasztszám: 7,0—122,3
- 3— 5. *Lycopodiacidites mecskensis* n. fsp. Holotypus. 7. telep, alsó pad, 1. sz. minta, 5. lemez. Mikr. keresztasztszám: 17,4—123,2
- 6— 7. *Baculatisporites comaumensis* (COOKSON) R. POT. 1956, 7. telep, alsó pad, 1. sz. minta, 6) 2. lemez; 7) 9. lemez. Mikr. keresztasztszám: 6) 13,5—119,4; 7) 13,5—119,5

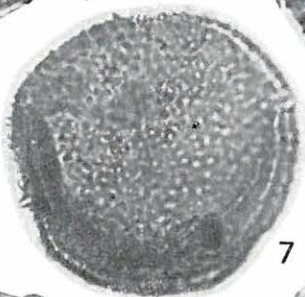
750×



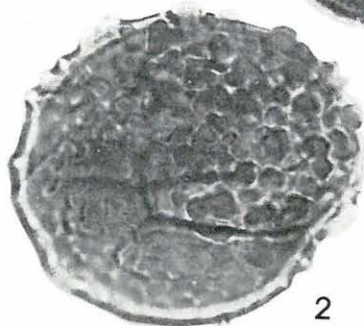
1



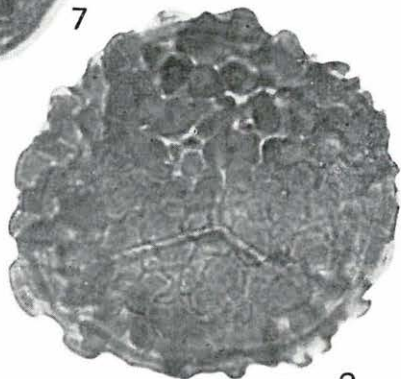
6



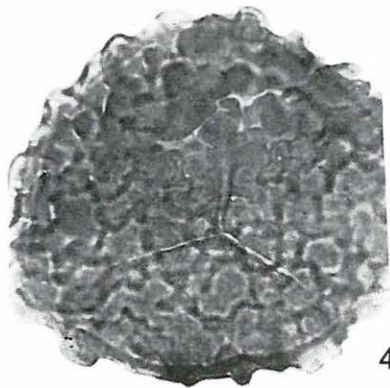
7



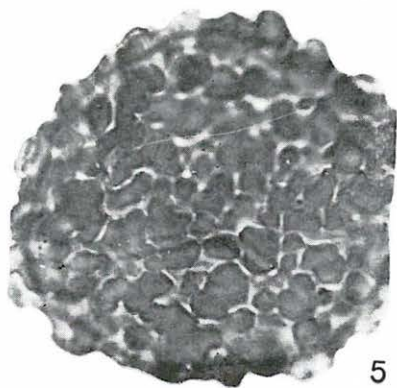
2



3



4



5

VI. Tábla — Tafel VI

1—2., 7—8. *Komló, III. akna*; 3—6. *Komló, Zobák-akna*

1. *Lycopodiacidites granatus* (BÓNA 1966) emend., 6. telep, 336/L sz. minta. Mikr. keresztasztszám: 8,7—116,0
2. *Zebrasporites sinelincatus* BÓNA 1966, 6. telep, 336/z sz. minta. Mikr. keresztasztszám: 14,3—114,8
- 3— 4. *Retitriletes zobaki* n. fsp. Holotypus. 7. telep, alsó pad, 1. sz. minta, 1. lemez. Mikr. keresztasztszám: 8,1—113,6
- 5— 6. *Retitriletes zobaki* n. fsp., 7. telep, alsó pad, 1. sz. minta, 5. lemez. Mikr. keresztasztszám: 17,5—118,3
- 7— 8. *Retitriletes* sp., 6. telep, 336. sz. minta, C. lemez. Mikr. keresztasztszám: 9,3—109,9

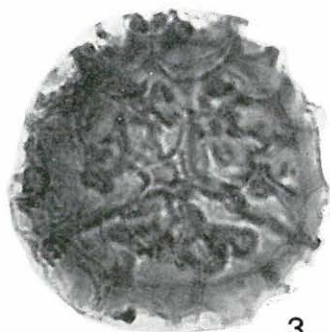
1. = 500 ×
2—8. = 750 ×



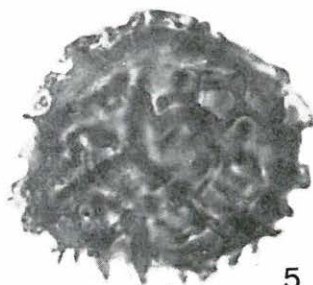
1



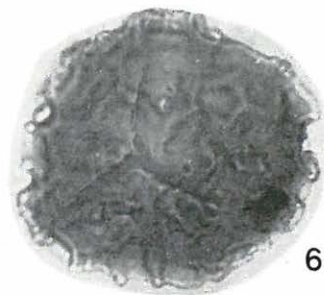
2



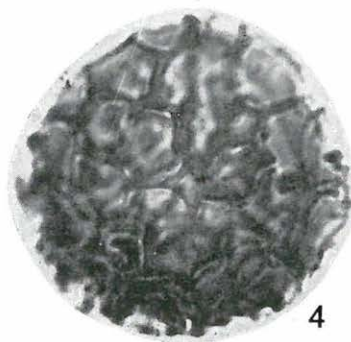
3



5



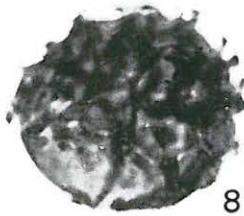
6



4



7



8

VII. Tábla — Tafel VII

1—2., 6—11. Komló, Zobák-akna; 3—5. Komló 143. fúrás

- 1— 2. *Toroisporis (Toroisporis)* sp., 35. sz. minta, 1. lemez. Mikr. keresztasztszám: 12,8—114,8
- 3— 5. *Trilites* sp. 536,00—536,60 m X. lemez. Mikr. keresztasztszám: 4,9—113,9
- 6— 7. *Converrucosporites* sp., 7. telep, alsó pad, 1. sz. minta, 8. lemez. Mikr. keresztasztszám: 12,9—127,0
8. *Laevigatosporites vulgaris* IBB. f. *maior* LOOSE 1934, 35. sz. minta, 1. lemez. Mikr. keresztasztszám: 12,8—114,8
- 9—11. Gombaspóra, 10. telep, 9—10) 57. sz. minta, 1. lemez; 11) 15/a. sz. minta, 1. lemez. Mikr. keresztasztszám: 9—10) 12,0—113,6; 11) 10,7—123,3

750×



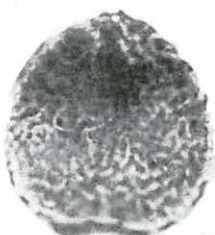
1



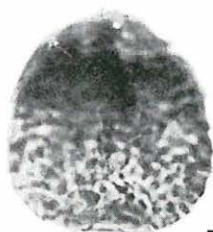
2



3



4



5



6



7



8



9



10



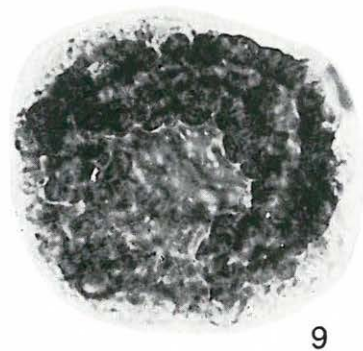
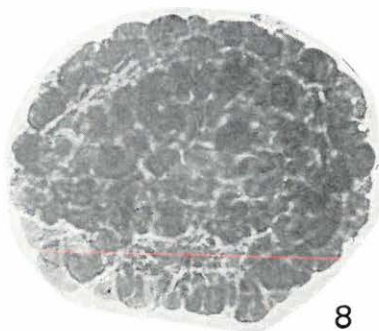
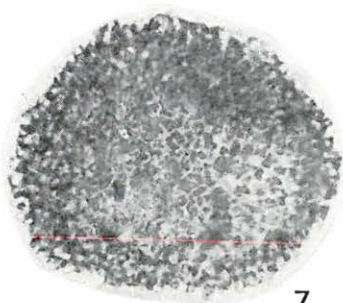
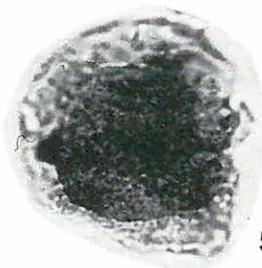
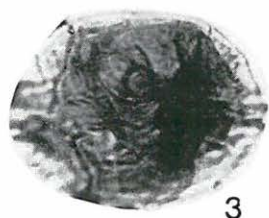
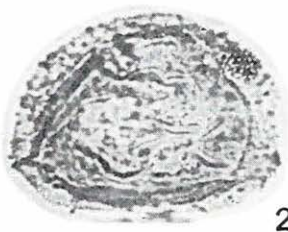
11

VIII. Tábla — Tafel VIII

1—10. *Komló, Zobák-akna*; 11. *Komló, Anna-akna*

- 1— 2. *Simplicesporites simoncsicsi* n. fsp. Holotypus. 7. telep, alsó pad, 1. sz. minta, 8. lemez. Mikr. keresztasztszám: 7,0—115,4
4. *Simplicesporites simoncsicsi* n. fsp., 7. telep, alsó pad, 1. sz. minta, 6. lemez. Mikr. keresztasztszám: 22,5—118,8
- 3., 5—6. *Simplicesporites* sp., 10. telep, 3) 33. sz. minta, 1. lemez; 5—6) 62. sz. minta, 1. lemez. Mikr. keresztasztszám: 3) 12,4—118,9; 5—6) 7,5—111,4
7. *Tsugaepollenites macroserratus* (R. Pot. 1951) f. *doggerensis* THIERG. 1949, n. comb., 83. sz. minta, 1. lemez. Mikr. keresztasztszám: 10,7—113,0
- 8— 9. *Tsugaepollenites macroverrucosus* (THIERG. 1949) n. comb., 7. telep, alsó pad, 1. sz. minta, 8) 2. lemez; 9) 5. lemez. Mikr. keresztasztszám: 8) 19,8—115,0; 9) 22,5—118,3
10. *Ovalipollis striatus* n. fsp. Holotypus. 10. telep, 64. sz. minta, 1. lemez. Mikr. keresztasztszám: 9,4—118,9
11. *Ovalipollis striatus* n. fsp., 889/b. sz. minta, B. lemez. Mikr. keresztasztszám: 8,0—131,7

750×

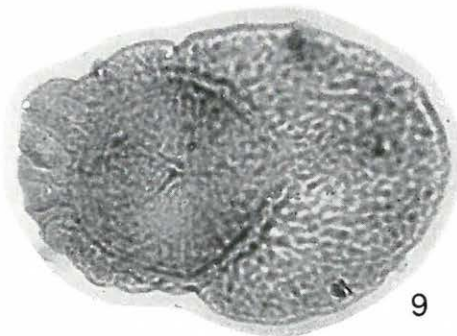
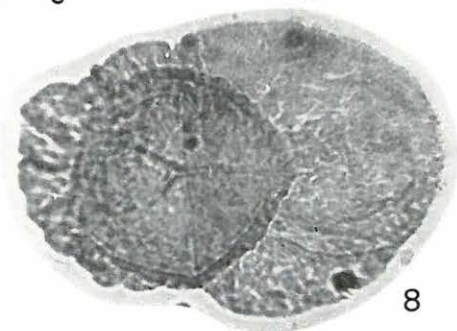
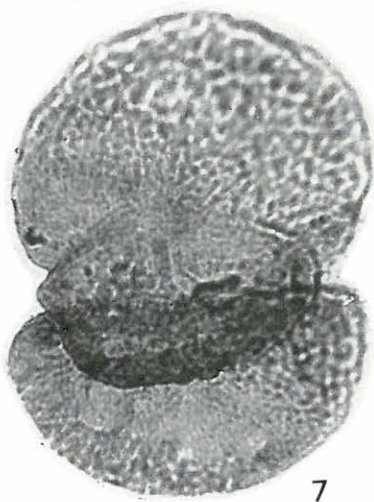
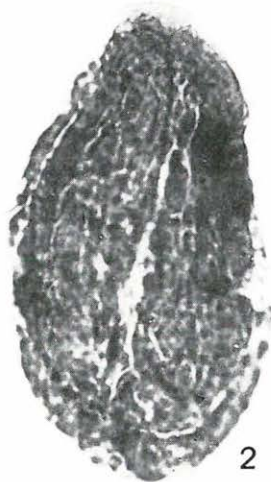


IX. Tábla — Tafel IX

Komló, Zobák-akna

- 1— 3. *Ovalipollis rugosus* n. sp. Holotypus. 97. sz. minta, 1. lemez. Mikr. keresztasztszám: 10,5—118,2
- 4— 5. *Vitreisporites pallidus* (REISS.) NILSSON 1958 4) 72/3. sz. minta, 1. lemez; 5) 7. telep, alsó pad, 1. sz. minta, 5. lemez. Mikr. keresztasztszám: 4) 5,1—116,5; 5) 11,0—114,3
6. *Vitreisporites pallidus* (REISS.) NILSSON 1958 Nagy légszákos forma. 10. telep, 35. sz. minta, 1. lemez. Mikr. keresztasztszám: 17,0—125,7
- 7— 9. *Jugasporites* sp., 7. telep, alsó pad, 1. sz. minta, 7) 7. lemez; 8—9) 2. lemez. Mikr. keresztasztszám: 7) 16,4—119,4; 8—9) 14,1—122,6

750×

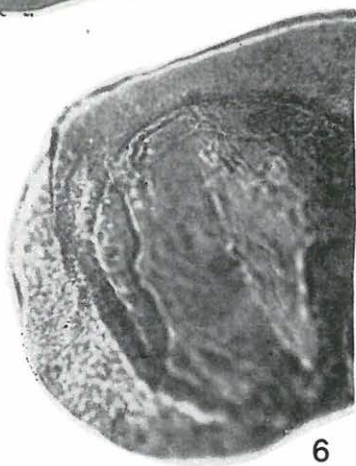
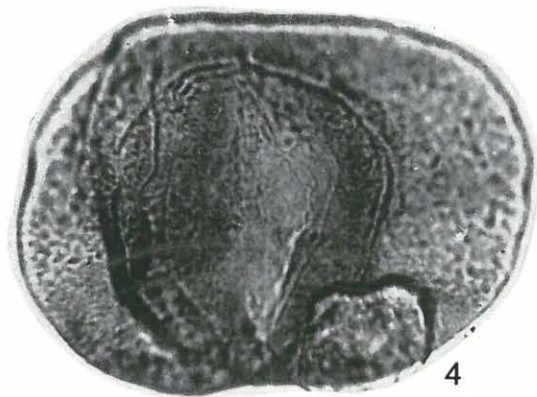
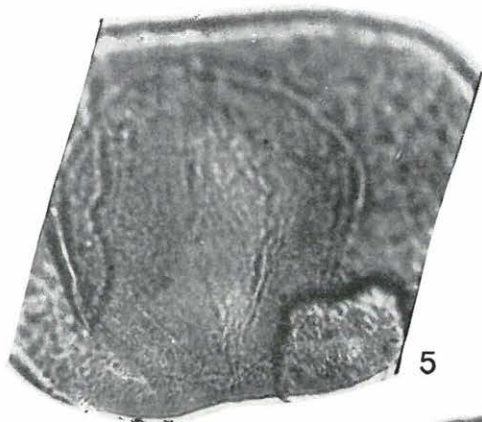
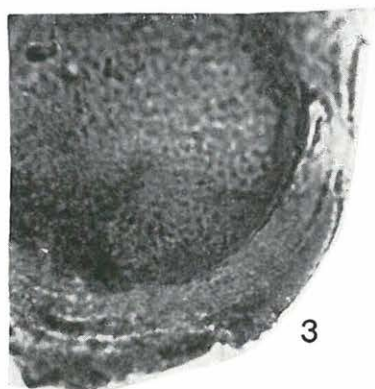
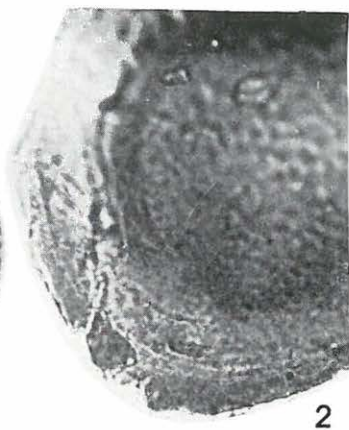
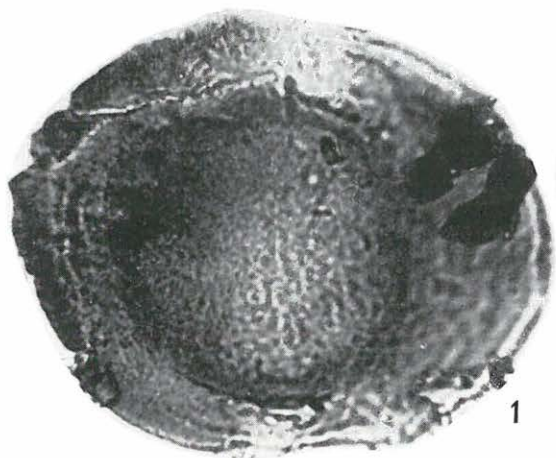


X. Tábla — Tafel X

Komló, Zobák-akna

- 1— 3. *Succinctisporites* sp. forma I., 35. sz. minta, 1. lemez. Mikr. keresztasztszám: 12,0—112,3. (2. és 3. ábrák részletek ugyanazon formáról, más mélységességben.)
- 4— 6. *Succinctisporites* sp. forma II., 7. telep, alsó pad, 1. sz. minta, 2. lemez. Mikr. keresztasztszám: 10,7—120,6. (5. és 6. ábrák részletek ugyanazon formáról, más mélységességben.)

750×

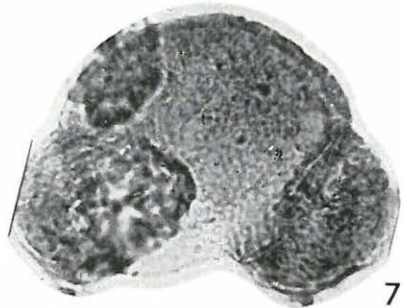
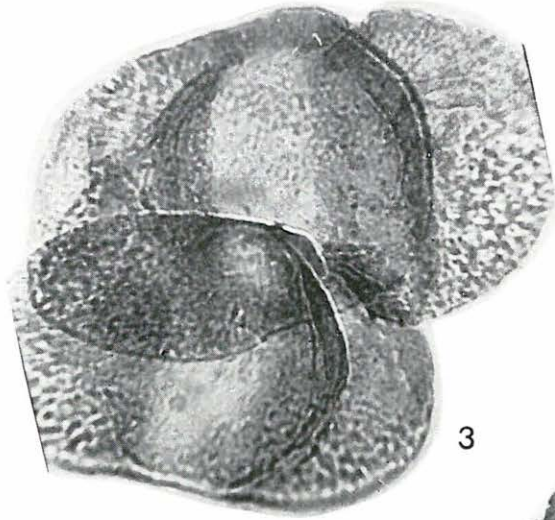
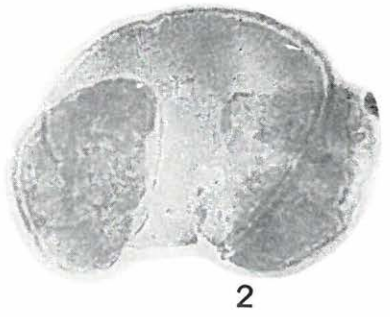
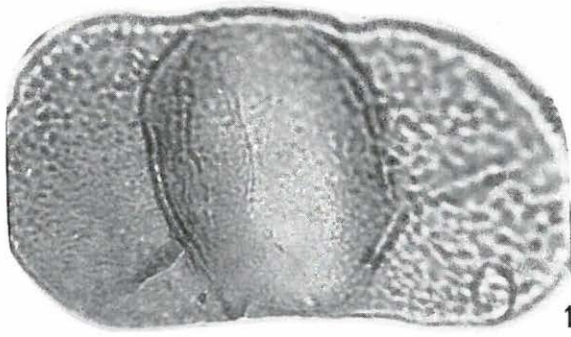


XI. Tábla — Tafel XI

Komló, Zobák-akna

1. *Alisporites robustus* NILSSON 1958, 7. telep, alsó pad, 1. sz. minta, 2. lemez. Mikr. keresztasztszám: 10,6—111,2
- 2., 6—7. *Taedaepollenites scaurus* NILSSON 1958, 2) 7. telep, alsó pad, 1. sz. minta, 7. lemez; 6) 35. sz. minta, a. lemez; 7) 7. telep, alsó pad, 1. sz. minta, 5. lemez. Mikr. keresztasztszám: 2) 9,3—111,7; 6) 22,7—129,3; 7) 13,0—115,5
3. *Alisporites robustus* NILSSON 1958. (Két egymáshoz tapadt példány.) 7. telep, alsó pad, 1. sz. minta, 5. lemez. Mikr. keresztasztszám: 7,0—125,5
- 4—5. *Sphaeripollenites psilatus* COUPER 1958, 4) 7. telep, alsó pad, 1. sz. minta, 5. lemez; 5) 110. sz. minta, 1. lemez. Mikr. keresztasztszám: 4) 22,3—112,5; 5) 18,6—115,1
8. *Taedaepollenites rotundus* n. fsp. Holotypus. 7. telep, alsó pad, 1. sz. minta, 9. lemez. Mikr. keresztasztszám: 15,4—131,1

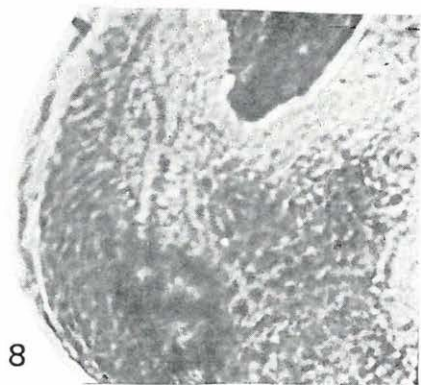
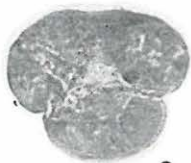
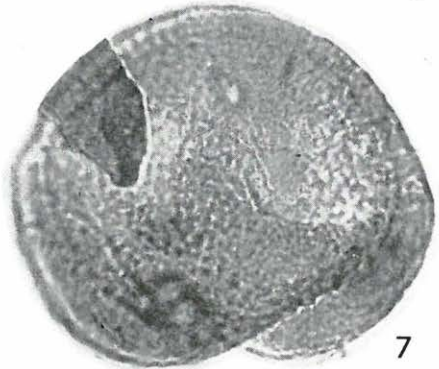
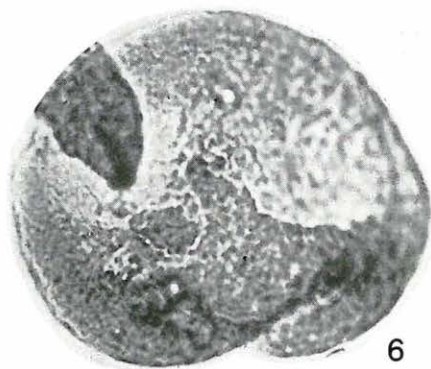
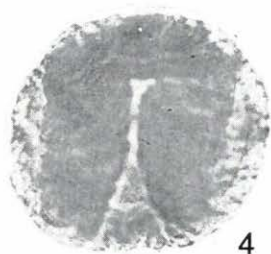
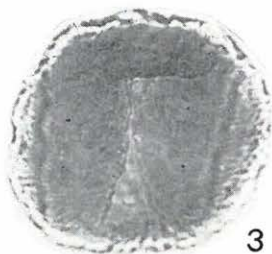
750×



XII. Tábla — Tafel XII

Komló, Zobák-akna

- 1— 2. *Parvisaccites goczani* n. fsp. Holotypus. 7. telep, alsó pad, 1. sz. minta, 7. lemez. Mikr. keresztasztszám: 8,6—114,0
 - 3— 5. *Parvisaccites goczani* n. fsp., 7. telep, alsó pad, 1. sz. minta, 3—4) 8. lemez; 5) 5. lemez. Mikr. keresztasztszám: 3—4) 6,6—122,1; 5) 17,3—111,5
 - 6— 7. *Parvisaccites rakosii* n. fsp., 7. telep, alsó pad, 1. sz. minta, 7. lemez. Mikr. keresztasztszám: 19,7—120,3
 8. Ua. (a légszák kinagyított részlete).
 9. *Podosporites estherae* n. fsp., 7. telep, alsó pad, 1. sz. minta, 1. lemez. Mikr. keresztasztszám: 8,1—122,9
 10. *Podosporites estherae* n. fsp. Holotypus. 7. telep, alsó pad, 1. sz. minta, 7. lemez. Mikr. keresztasztszám: 22,5—124,8
- 750× (a nyolcadik ábra kivételével)



XIII. Tábla — Tafel XIII

Komló, Zobák-akna

- 1— 4. *Quadraeculina bitorosa* (REISS. 1950) n. comb. 7. telep, alsó pad, 1. sz. minta, 7. lemez. Mikr. keresztasztszám: 1—2) 11,9—117,6; 3—4) 8,6—120,1
5. *Arcipites hutteri* n. fsp. Holotypus. 7. telep, alsó pad, 1. sz. minta, 5. lemez. Mikr. keresztasztszám: 16,9—124,9
6. *Arcipites hutteri* n. fsp., 35. sz. minta, e. lemez. Mikr. keresztasztszám: 6,5—117,1
- 7— 8. *Quadraeculina bitorosa* (REISS. 1950) n. comb. Holotypus. 97. sz. minta, 1. lemez. Mikr. keresztasztszám: 17,4—113,2

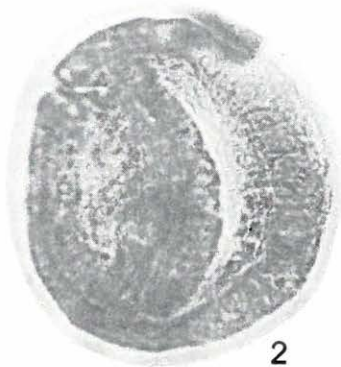
750×



1



5



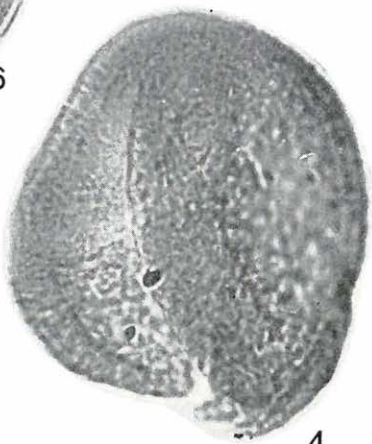
2



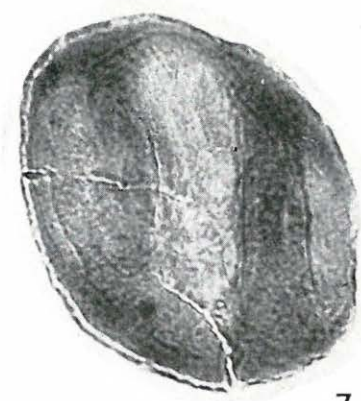
6



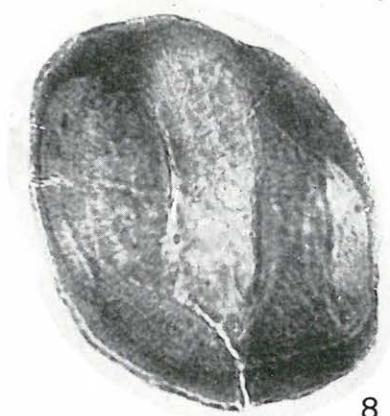
3



4



7



8

XIV. Tábla — Tafel XIV

Komló, Zobák-akna

1. *Piceapollenites* sp. forma A, 108. sz. minta, 1. lemez, Mikr. keresztasztalszám: 11,1—116,1
2. *Piceapollenites* sp. forma B, 7. telep, alsó pad, 1. sz. minta, 7. lemez. Mikr. keresztasztalszám: 14,9—111,8
3. *Piceapollenites* sp. forma C, 7. telep, alsó pad, 1. sz. minta, 9. lemez. Mikr. keresztasztalszám: 19,7—122,8

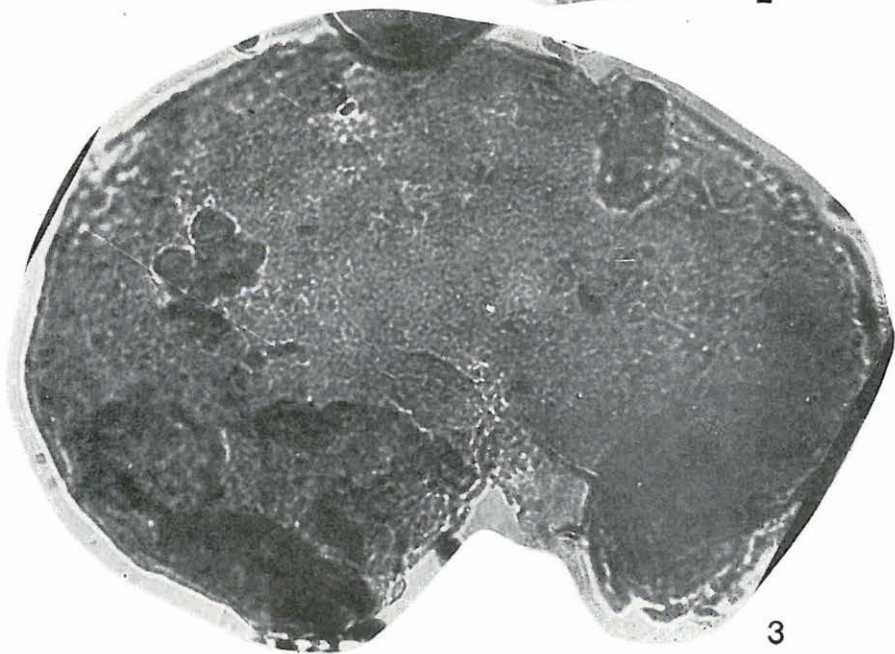
750×



1



2



3

XV. Tábla — Tafel XV

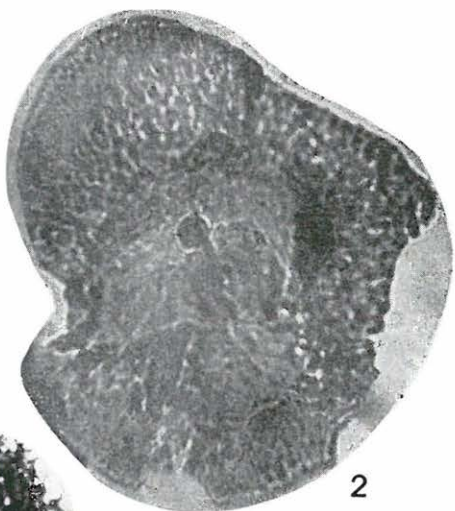
1. *Komló, Anna-akna*; 2–5. *Komló, Zobák-akna*

1. *Podocarpeapollenites trialatus* (Thierg. 1949) R. Potonié 1958, 2. szint, déli főkeresztvágat. (A felvétel nem állandósított preparátumból történt.)
2. *Podocarpeapollenites trialatus* (Thierg. 1949) R. Potonié 1958, 100. sz. minta, 2. lemez. Mikr. keresztasztszám: 17,2–115,0
- 3–4. *Cuneatisporites radialis* Leschik 1955 3) 120. sz. minta, 1. lemez; 4) 7. telep, alsó pad, 1. sz. minta, 1. lemez. Mikr. keresztasztszám: 3) 15,9–107,5; 4) 14,0–125,9
5. cf. *Cuneatisporites radialis* Leschik 1955, 108. sz. minta, 2. lemez. Mikr. keresztasztszám: 10,9–122,4

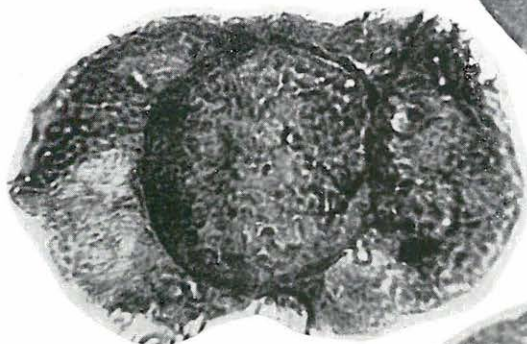
750×



1



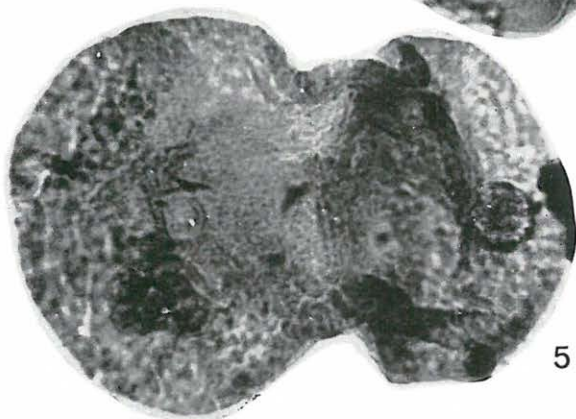
2



3



4



5

XVI. Tábla — Tafel XVI

Komló, Zobák-akna

- 1— 3. *Inaperturopollenites reissingeri* (KEDVES 1961) n. comb., 1) 95. sz. minta, 2. lemez; 2) 72/12. sz. minta, 2. lemez; 3) 100. sz. minta, 2. lemez. Mikr. keresztasztszám: 1) 20,5—107,9; 2) 18,5—123,9; 3) 8,4—117,7
4. *Inaperturopollenites* cf. *magnovelatus* WEIL. et KRIEG. 1953, 881. sz. minta. Mikr. keresztasztszám: 22,0—103,0
- 5—13. *Classopollis classoides* (PF.) POC. et JANS. 1961, 5—6) 35. sz. minta, b. lemez; 7, 8—9) 35. sz. minta, a. lemez; 10—11) 45. sz. minta, l. lemez; 12—13) 35/a. sz. minta. Mikr. keresztasztszám: 5—6) 14,5—127,8; 7) 21,6—128,0; 8—9) 12,8—116,9; 10—11) 14,2—118,2; 12—13) 20,5—125,8

750×



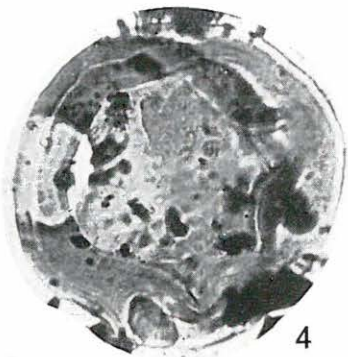
1



2



3



4



5



6



7



8



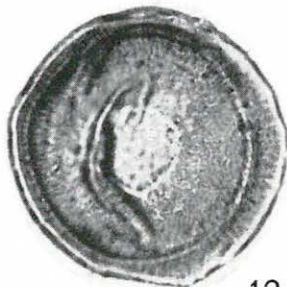
9



10



11



12



13

XVII. Tábla — Tafel XVII

1—2., 4—11. *Komló, Zobák-akna*; 3. *Komló, Anna-akna*

- 1— 2. ? *Classopollis* sp., 1) 35. sz. minta, c. lemez; 2) 883. sz. minta. Mikr. keresztasztszám: 1) 21,5—121,0; 2) 21,2—113,5
3. *Corollina meyeriana* (KLAUS 1960) VENKA.—GÓCZÁN 1964, 889/b. sz. minta, B. lemez. Mikr. keresztasztszám: 18,9—123,3
- 4— 6. *Araucariacites australis* COOKSON 1947, 4) 35. sz. minta, 2. lemez; 5) 7. telep, alsó pad, 1. sz. minta, 3. lemez; 6) 57. sz. minta, 1. lemez. Mikr. keresztasztszám: 4) 17,7—113,0; 5) 9,2—123,3; 6) 7,4—122,0
- 7—11. *Chasmatosporites apertus* (ROG. 1954) NILSSON 1958, 7—8, 11) 35. sz. minta, b. lemez; 9—10) 35. sz. minta, c. lemez. Mikr. keresztasztszám: 7) 13,5—125,0; 8) 13,1—125,8; 9—10) 10,6—119,9; 11) 8,8—127,8

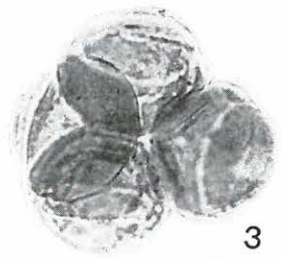
750×



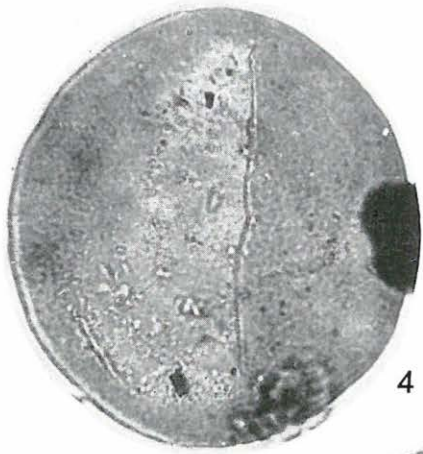
1



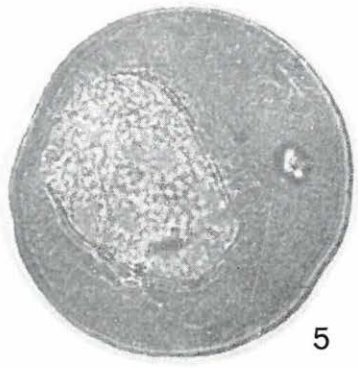
2



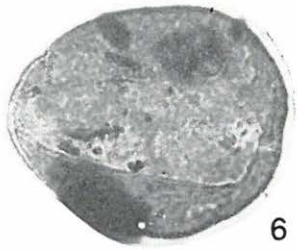
3



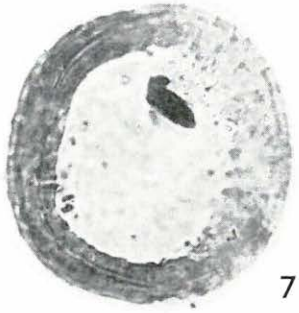
4



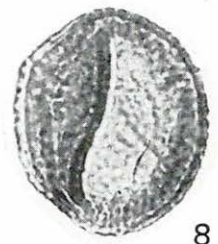
5



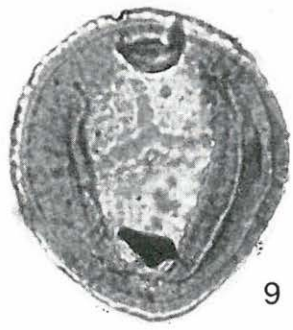
6



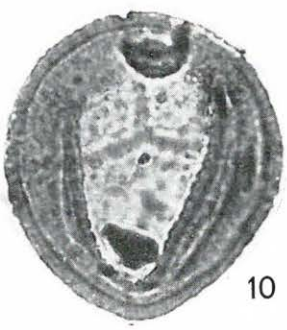
7



8



9



10



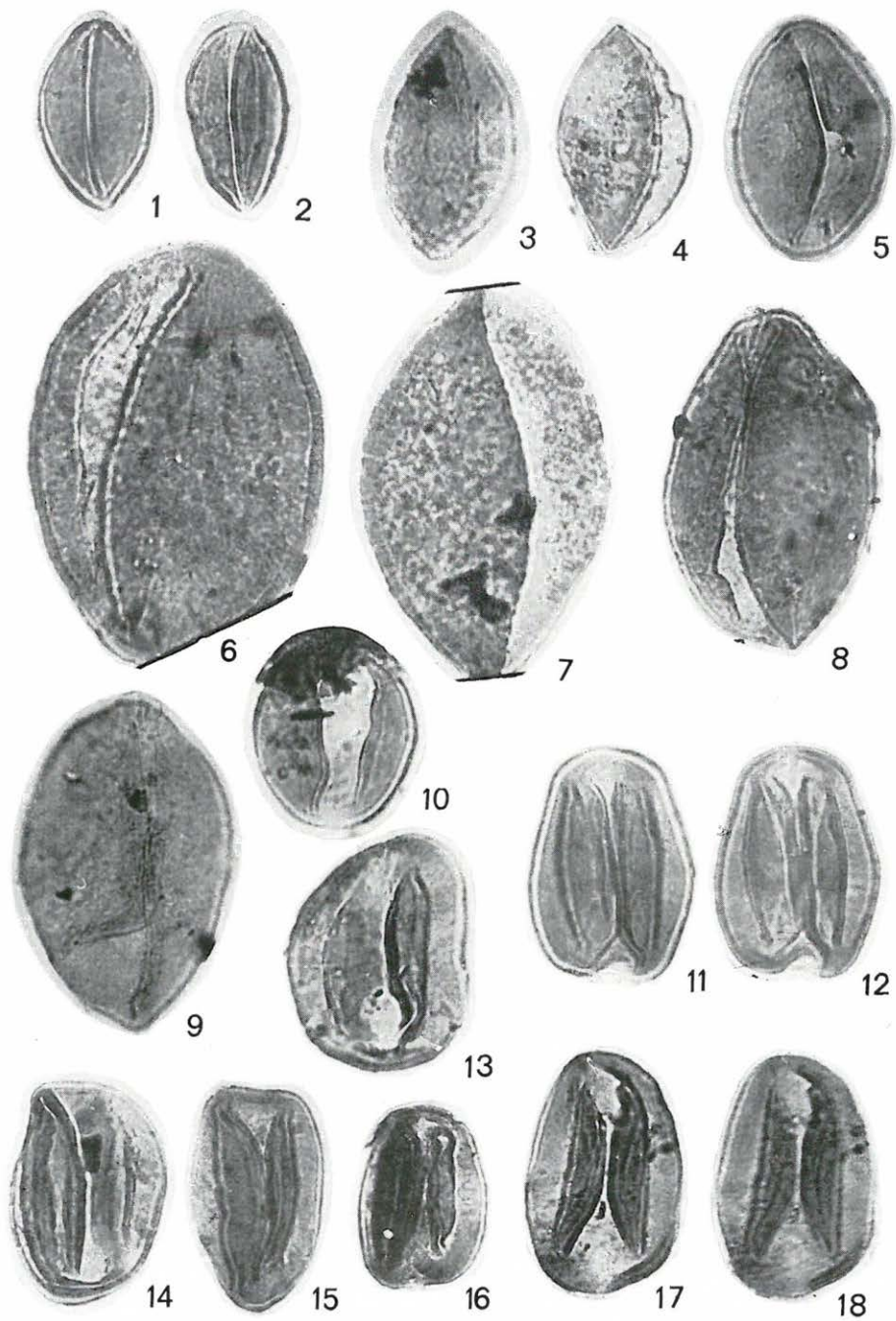
11

XVIII. Tábla — Tafel XVIII

Komló, Zobák-akna

- 1— 2. *Monosulcites minimus* COOKSON 1947, 1) 7. telep, alsó pad, 1. sz. minta, 7. lemez; 2) 66. sz. minta, 1. lemez. Mikr. keresztasztszám: 1) 22,8—114,0; 2) 6,0—115,0
- 3— 9. *Ginkgocycadophytus* sp., 3, 9) 35 sz. minta, 1. lemez; 4, 6) 35. sz. minta, a. lemez; 5) 72/3. sz. minta, 1. lemez; 7) 35. sz. minta, b. lemez; 8) 45. sz. minta, 1. lemez. Mikr. keresztasztszám: 3) 18,6—110,9; 4) 13,6—123,7; 5) 19,0—120,9; 6) 22,3—120,9; 7) 5,9—117,4; 8) 8,3—115,4; 9) 13,9—108,4
10. *Cycadaceaelagenella capertiformis* MAL. 1953, 100. sz. minta, 2. lemez. Mikr. keresztasztszám: 6,9—116,3
- 11—12. *Bennettitinaepollenites bitorosus* (BÓNA 1963) emend. BÓNA, Genotypus. 110. sz. minta, „a” lemez. Mikr. keresztasztszám: 16,2—111,8
- 13—18. *Bennettitinaepollenites bitorosus* (BÓNA 1963) emend. BÓNA, 13) 10. telep, 63. sz. minta, 1. lemez; 14) 35. sz. minta, „a” lemez; 15) 110. sz. minta, 2. lemez; 16) 83. sz. minta, 1. lemez; 17—18) 10. telep, 62. sz. minta, 1. lemez. Mikr. keresztasztszám: 13) 19,4—125,0; 14) 8,5—124,4; 15) 7,7—125,1; 16) 10,7—112,2; 17—18) 12,2—110,9

750×



XIX. Tábla — Tafel XIX

1—6., 9—14. *Komló, Zobák-akna*; 7—8. *Komló 143. sz. fűrés*

- 1— 2. *Bennettitinaepollenites bitorosus* (BÓNA 1963) emend. BÓNA, 35. sz. minta, „a” lemez. Mikr. keresztasztszám: 22,5—121,1
- 3— 4. *Bennettitinaepollenites kedvesi* n. fsp. Holotypus. 226/7. sz. minta, 1. lemez. Mikr. keresztasztszám: 22,5—119,9
- 5— 8. *Eucommiidites troedssonii* ERDTMAN 1948, 5) 10. telep, 3. sz. minta, 1. lemez; 6) 95. sz. minta, 2. lemez; 7—8) 560,40—561,40 m, 1. lemez. Mikr. keresztasztszám: 5) 8,3—122,3; 6) 16,3—117,8; 7—8) 13,4—104,3
- 9—10. *Schizosporis parvus* COOKSON et DETTMANN 1959, 9) 10. telep, 28. sz. minta, 1. lemez; 10) 97. sz. minta, 3. lemez. Mikr. keresztasztszám: 9) 17,4—121,0; 10) 13,7—110,2
11. *Schizosporis deaki* n. fsp. Holotypus. 7. telep, alsó pad, 1. sz. minta, 7. lemez. Mikr. keresztasztszám: 20,0—122,4
- 12—13. *Schizosporis deaki* n. fsp., 7. telep, alsó pad, 1. sz. minta, 12) 2. lemez; 13) 9. lemez. Mikr. keresztasztszám: 12) 6,0—110,3; 13) 19,6—131,0
14. *Michrhystridium* sp., 49. sz. minta, 1. lemez. Mikr. keresztasztszám 13,7—116,5

750×

